

RADIO

ŘADA B - PRO KONSTRUKTÉRY

ČASOPIS PRO ELEKTRONIKU
ROČNÍK XL/1991 ● ● Číslo 3

V TOMTO SEŠITĚ

NOKIA se představuje 81
INTEGROVANÉ OBODY PRO SPÍNAČE

Spínací obvody prahových úrovní 82

Spouštěcí obvody A301D, A301W 82

Doporučení pro konstruktéry 84

Typická provozní zapojení 86

Spínač prahové úrovni A302D 89

Typická provozní zapojení 91

Spínače prahové úrovni TCA105, B, G, W, BW 92

Typická provozní zapojení 93

Přiblížovací spínače TCA205, A, K 94

Příklady zapojení spínače 95

Přiblížovací spínače S0272S1, S1K 96

Spínače prahové úrovni TCA345A, W 97

Typická provozní zapojení 98

Spínače prahové úrovni B303D, B304D, B305D, B306D 98

Provozní doporučení 103

Typická provozní zapojení 105

Monolitické integrované obody pro dotekové spínače 108

SAS660, SAS670, SAS6600, SAS6700, SAS6610, SAS6710 111

Čtyřkanálové spínače UL1958N, UL1959N 113

SAS560S, SAS570S 116

SAS6800, SAS6804 117

SAS6810 118

Světelné diody jako zdroj malého referenčního napětí 119

Křemíkové diody PIN typu BA779, 779S, 885 120

AMATÉRSKÉ RADIO ŘADA B

Vydavatel: Vydavatelství MAGNET-PRESS, s. p., 113 66 Praha 1, Vladislavova 26, tel. 26 06 51.

Redakce: T13 66 Praha 1, Jungmannova 24, tel. 26 06 51. Šéfredaktor Luboš Kalousek, OK1FAC, linka 353, sekretariát linka 355.

Tiskne: Naše vojsko, tiskárna, závod 08, 160 05 Praha 6, Vlastina ul. č. 889/23.

Rozšířuje: Poštovní novinová služba a vydavatelství MAGNET-PRESS s. p. Objednávky přijímá každá administrace PNS, pošta, doručovatel, předplatitelská střediska a administrace vydavatelství MAGNET-PRESS s. p., 113 66 Praha 1, Vladislavova 26, tel. 26 06 51-9. Půlroční předplatné 29,40 Kčs. Objednávky do zahraničí výřizuje ARTIA, a. s., Ve směčkách 30, 111 27 Praha 1.

Inzerci přijímá osobně i poštou vydavatelství MAGNET-PRESS, inzertní oddělení, Vladislavova 26, 113 66 Praha 1, tel. 26 06 51-9, linka 294.

Za původnost a správnost příspěvku odpovídá autor. Nevyžádané rukopisy nevracíme.

Návštěvy v redakci ve středu od 9 do 16 hodin.

ISSN 0139-7087, číslo indexu 46 044.

Toto číslo má výjít podle plánu 24. 5. 1991.

© Vydavatelství MAGNET-PRESS 1991

NOKIA SE PŘEDSTAVUJE

Mezi záplavou nejrůznějších firem, které pronikají na náš trh, je i finský koncern NOKIA, jenž je např. výrobcem u nás známých televizních přijímačů Salora. Koncern NOKIA byl založen v roce 1865 a po celou dobu své existence je jednou z nejvýznamnějších soukromých průmyslových společností Finska. Jeho dnes více než 40 tisíc zaměstnanců ve více než 30 zemích vyrábí zboží ročně asi za 9,6 miliard DEM (1990), přitom 70 % výroby se realizuje mimo Finsko. Z celého objemu výroby je více než 90 % elektroniky, NOKIA je třetím největším výrobcem barevných TV přijímačů v Evropě, je jedním z největších výrobců strojů pro výrobu kabelů atd.

Celý koncern se dělí do těchto výrobních skupin:

NOKIA Data: největší podnik technologie pro zpracování dat ve Skandinávii (šestý největší v Evropě);

NOKIA Telecommunications: vyrábí přístroje a systémy pro telekomunikační soukromé i veřejné sítě;

NOKIA Mobil Phones: vedoucí světový výrobce mobilních telefonů všech významných systémů. Je v čele i na konkurenčně náročném americkém trhu;

Nokia Cables and Machinery: světový vedoucí výrobce strojů, výrobních linek a poskytovatel služeb pro průmysl výroby kabelů. Dále má i silnou pozici na poli průmyslových robotů, automatických systémů a výrobků pro přesnou mechaniku. Zabývá se i výzkumem a vývojem vysokonapěťových kabelů a prostředků k optickému přenosu dat;

NOKIA Basic Industries: díky účasti ve společných podnicích (joint venture) je NOKIA Paper největším výrobcem hygienického papíru. Továrny na papír a jeho zušlechtování jsou např. kromě Finska i ve Francii, Anglii a Irsku. NOKIA Rubber je jedním z předních světových výrobců pneumatik pro traktory (především pro lesní práce). Je vedoucím podnikem na skandinávském trhu prýžových bot, ochranné obuvi a hluč tlumících podlahových krytin. K této dvěma podnikům patří ještě NOKIA Chemicals, ve Finsku vedoucí výrobce chemikálií pro průmysl dřeva;

NOKIA Consumer Electronics SA: největší skupina celého koncernu sídlí v Ženevě a je třetím největším výrobcem barevných televizorů a obrazovek v Evropě. Současně je to i největší evropský výrobce monitorů a reproduktorů do motorových vozidel. Vedoucím výrobcem (v Evropě) je i v oboru družicového vysílání (výrobí přijímací zařízení). V ročním průměrném objemu výroby (asi kolem 2,5 miliardy DEM) jsou zahrnuti i videomagnetofony, radiomagnetofony, zařízení hi-fi a další výrobky spotřební elektroniky, které se prodávají pod značkami Nokia, ITT Nokia, Graetz, Schaub-Lorenz, Salora, Oceanic a Luxor. Výrobní závody jsou takřka ve všech evropských zemích od Finska až po Portugalsko. Mezi největší závody této skupiny koncernu patří především

NOKIA Unterhaltingselektronik (Deutschland) GmbH, který sídlí v Pforzheimu. Tomu přísluší řízení, právní otázky, personální záležitosti a public relations následujících závodů v Německu: NOKIA Electronics v Bochumu s roční výrobou asi jednoho milionu barevných televizních přijímačů a dále mobilních telefonů a video-magnetofonů, NOKIA Display Technics v Esslingenu, který vyrábí barevné obrazovky (včetně nejmodernějšího typu black planigon), NOKIA Audio Electronics ve Straubingu dodává do celého světa reproduktory, hi-fi boxy, transformátory pro TVP, NOKIA Kunststofftechnik v Ziemetshausenu s výrobou dílů z plastických hmot pro TVP, telekomunikační výrobky, techniku pro zpracování dat, lékařské přístroje apod., NOKIA Graetz Holzwerke v Geroldsgründu (dřevěné boxy hi-fi, dřevěné skříně pro zařízení nf techniky a další výrobky spotřební elektroniky), a konečně Graetz Strahlungsmess-technik v Alteně, který vyrábí měřicí přístroje záření, nárazu a počasí vzdorového přístroje pro petrochemii a doly, speciální přístroje pro policii, hasiče a pomocné technické provozy.

Jen pro zajímavost: NOKIA CE vyrobila za rok 1990 jeden milion šest set tisíc kusů barevných TVP, na rok 1991 je plán asi o 13 % vyšší, plán výroby videomagnetofonů je oproti roku 1990 (500 000 kusů) vyšší asi o 17 %. Kromě toho je tato skupina koncernu exportérem (pro Evropu) všech výrobků celé skupiny NOKIA Consumer Electronics International SA.

NOKIA je předním světovým koncernem i ve vývoji a výzkumu. Mezi nejpokročilejší výrobky patří ASO (Active Sideband Optimum), které tak optimalizuje zpracování kmitočtové modulovaných signálů ve videomagnetofonech, že mohly být bez zbytku vypuštěny obvody k potlačení šumu. Mezi dobré výsledky vývojové činnosti patří i hardware a software k digitálnímu ovládání přístrojů a jejich mechaniky. Navíc je NOKIA důležitým členem projektu televize s velkou rozlišovací schopností (High Definition Television) Eureka 95.

Ze vývoj i výroba výrobků NOKIA jsou skutečně promyšlené, o tom svědčí i to, že jsou vesměs označovány jako „příhodné k opravám“ (service-freundlich), u televizních přijímačů se toho dosáhlo kromě jiného i tím, že např. šasi pro monofonní TVP je vyrobeno na jedné desce s plošnými spoji (vysoce automatizovaným výrobním postupem), přitom mechanické díly představují vždy samostatnou „montážní“ skupinu (důležité pro výrobu různých typů TVP se stejným základním šasi). Totéž platí i o kompletním šasi pro TVP s možností stereofonního nebo několikanálového příjmu zvukového doprovodu — to má rozdíly odpovídající všem typům televizorů, které se v této kvalitativní třídě v koncernu NOKIA vyrábějí; navíc má základní deska konektory pro připojení nejrůznějších doplňujících modulů — teletex-

Tab. 1: Elektrické údaje spouštěcích obvodů A301D, A301W

Mezní údaje	
Napájecí napětí ¹⁾ , U_{CC} [V]	4,75 až 27
Výstupní napětí – úroveň H, U_{OH} [V]	0 až 27
Výstupní proud – úroveň L, I_{OL} [mA]	0 až 50
Proudové zatížení vnitřního stabilizovaného napětí, $-I_{13}$ [mA]	0 až 1
Rozsah pracovní teploty okolo ²⁾ , ϑ_a [°C]	-25 až +70
Rozsah skladovací teploty, ϑ_{sig} [°C]	-40 až +140
Charakteristické údaje	
Platí při $\vartheta_a = 25^\circ C \pm 5 K$, měřeno v zapojení podle obr. 2.	
Spotřeba napájecího proudu ³⁾	
$U_{CC} = 27 V$, I_{CC} [mA]	jmen. 10,7; $\leq 18,5$
Výstupní napětí – úroveň L ⁴⁾	jmen. 65; ≤ 350
výstup Q nebo \bar{Q} , U_{OL} [mV]	jmen. 195; ≤ 1150
$U_{CC} = 4,75 V$, $I_{OL} = 16 mA$	jmen. 2,9
$U_{CC} = 4,75 V$, $I_{OL} = 50 mA$	jmen. 0,5; ≤ 20
Vnitřní stabilizované napětí, U_{13} [V]	
$U_{CC} = 4,75 V$, $-I_{13} = 1 mA$	
Výstupní proud – úroveň H ⁵⁾	
výstup Q nebo \bar{Q} , I_{OH} [μ A]	
$U_{CC} = 4,75 V$, $U_{OH} = 27 V$,	
$R_3 = R_4 = 520 \Omega$	
Informativní údaje	
Připustná zatížovací kapacita výstupu stabilizovaného napětí O_{AU} , $C_{13 \max}$ [nF]	jmen. 47
Maximální spínací kmitočet f_{\max} [kHz]	
$U_{CC} = 5 V$, $C_{12} = 1,5 nF$;	jmen. 17,5
$R_3 = R_5 = 6 k\Omega$	jmen. 20,5
$R_3 = R_5 = 2,7 k\Omega$	

du z hlediska stejnosměrného proudu zkrat. Tím jsou pevně určeny prakticky všechny proudy a napětí. Protože napětí U_{int} je přibližně rovno $4U_{BE}$, můžeme ostatní napětí odhadnout.

Je-li $R_4 \ll R_3$, platí

$$U_{BT5} = U_{ET6} \sim 1U_{BE},$$

$$U_{BT5} = U_{CT5} \sim 2U_{BE},$$

$$U_{ET6} \sim 1U_{BE}.$$

Je-li poměr odporového děliče $R_6 : R_5 = 2$, platí

$$U_{CT6} \sim 3,5U_{BE},$$

$$U_{ET7} \sim 2,5U_{BE}.$$

Protože vyžávací rezistor R_V má zpravidla větší odpor než rezistor R_6 , ovlivňuje proud protékající tímto rezistorem statické vlastnosti obvodu jen nepatrne. Rezistor R_8 má odpor 500Ω a slouží jako ochranný rezistor.

Proudy jsou následující

$$I_{ET5} \sim 0,28 mA, I_{ET6} \sim 1,5 mA,$$

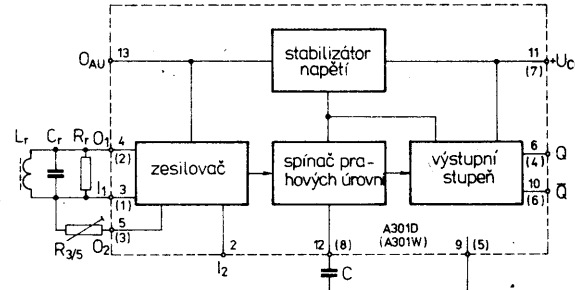
$$I_{ET7} \sim 0,35 mA.$$

Rezistor R_7 slouží k nastavení stabilního pracovního bodu tranzistoru T_7 . Po stránce dynamické představuje zapojení oscilátoru zapojení se dvěma zpětnovazebními smyčkami, jejichž signály jsou fázově pootočeny o 180° . Prakticky je to provedeno vazbou reálnými rezistory R_8 a R_V a komplexním zpětnou vazbou paralelním laděným obvodem. Tranzistorový stupeň T_7 s rezistorem R_7 působí pouze jako oddělovací stupeň a zajišťuje zpětnou vazbu s malou impedancí.

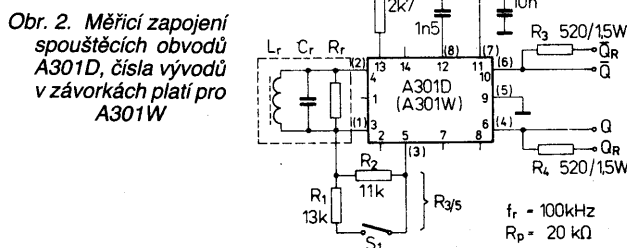
Výstup oscilátoru má malou impedanci, takže vyhodnocovací stupeň neovlivňuje funkci oscilátoru. Ze stejnosměrného pracovního bodu lze odvodit rozkmit oscilačního napětí na výstupu O_1 ($U_{O1} \sim U_{BE} \sim 0,7 V$). V důsledku malého provozního napětí oscilačního stupně byl zvolen poměr odporů $R_5 / R_6 = 0,5$, proto kladné špičky napětí na výstupu O_1 spolehlivě aktivují následující vyhodnocovací zapojení.

Jestliže se rozdělí oscilační stupeň v zesilovači a zpětnovazební smyčky, dostaneme náhradní zapojení podle obr. 6. Zesilovací činitel lze přibližně určit pomocí vztahů

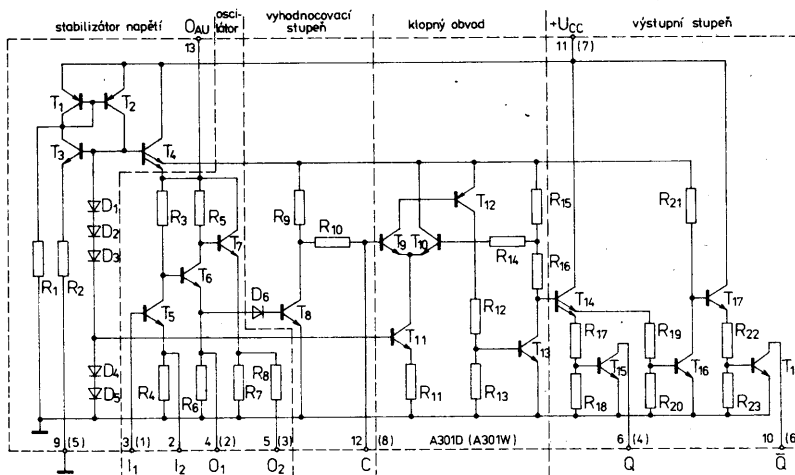
- Při napětí menším než $4,75 V$ není zaručena funkce obvodu.
- S ohledem na teplotní závislost charakteristických údajů se musí v kritických případech posoudit vhodnost použití s ohledem na spolehlivý chod v zamýšleném rozsahu pracovních teplot.
- Spínač S_1 sepnut, výstupy Q nebo \bar{Q} jsou otevřeny.
- Spínač S_1 sepnut, na výstupu Q úroveň L, popříp. S₁ otevřen, na výstupu \bar{Q} úroveň L.
- Před měřením se přepnou výstupy Q, popříp. \bar{Q} z úrovni L do úrovni H.



Obr. 1. Funkční skupinové zapojení spouštěcích obvodů A301D, čísla vývodů v závorkách pláti pro A301W



Obr. 2. Měřicí zapojení spouštěcích obvodů A301D, čísla vývodů v závorkách pláti pro A301W



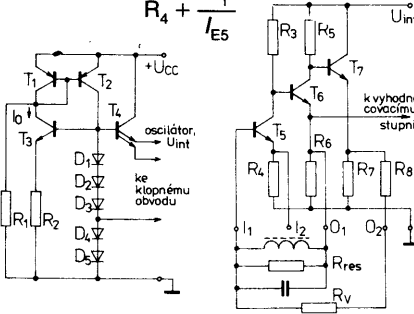
Obr. 3. Vnitřní elektrické zapojení spouštěcích obvodů A301D, čísla vývodů v závorkách pláti pro A301W

$$A_{UO1} \sim \frac{R_3 \parallel (\beta R_6)}{R_4 + \frac{U_T}{I_{E5}}}$$

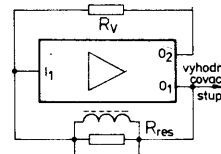
$$A_{UO2} \sim \frac{1 - R_3 \parallel (\beta R_6)}{2(R_4 + \frac{U_T}{I_{E5}})}$$

kde U_T je tepelné napětí.

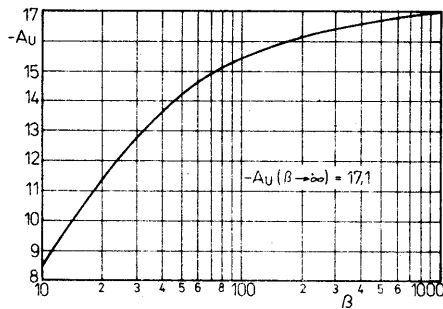
Průběh zesílení A_{UO2} v závislosti na zesilovacím činiteli β je na obr. 7. Z průběhu můžeme rozeznat, že oscilátor pracuje s menším zesílením. Zesílení určuje první stupeň s tranzistorem T_5 .



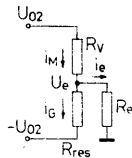
Obr. 4. Elektrické zapojení stabilizátoru napětí ve spouštěcím obvodu A301D



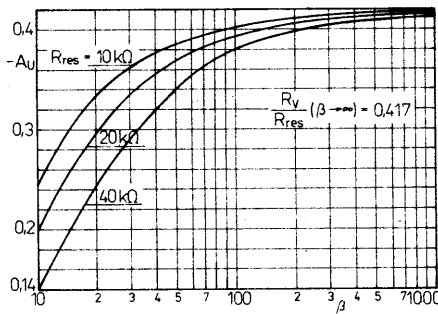
Obr. 5. Elektrické zapojení oscilátoru ve spouštěcím obvodu A301D



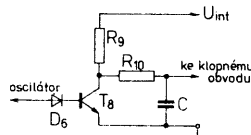
Obr. 7. Závislost napěťového zesílení v závislosti na proudovém zesílení β s malým signálem; při velmi velkém proudovém zesílení (∞) je napěťové zesílení zesilovače 17,1



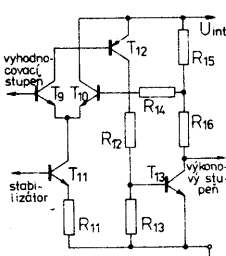
Obr. 8. Náhradní zapojení pro výpočet vyvažovacího rezistoru R_v



Obr. 9. Závislost poměru rezistoru R_v/R_{res} k proudovému zesílení β s malým signálem



Obr. 10. Elektrické zapojení vyhodnocovacího stupně spouštěcích obvodů A301D



Obr. 11. Elektrické zapojení klopného obvodu spouštěcích obvodů A301D.

Odpór rezistoru R_V s ohledem na výrobní rozptyl jednotlivých kusů obvodů A301D se může určit ze závislosti $R_V = f(\beta)$ na obr. 9. Potřebné náhradní zapojení je uvedeno na obr. 8.

Za předpokladu, že $A_U = A_{U01}$, bude

$$A_{U02} = -\frac{1}{2} A_U,$$

$f_{osc} = f_{res}$ rezonančního obvodu, R_{res} je rezonanční odpor laděného obvodu při $f_{osc} = f_{res}$; dále platí, že

$$i_M = i_e + i_G,$$

$$i_M = \frac{U_{O2} - U_e}{R_V},$$

$$i_e = \frac{U_{O1} + U_e}{R_{res}}.$$

Po úpravách dostaneme konečný vztah

$$\frac{R_V}{R_{res}} = \frac{\frac{A_U}{2} - 1}{\frac{R_{res}}{r_e} + A_U + 1}.$$

Protože vstupní odpor r_e zesilovače má konečnou velikost, je poměr R_V/R_{res} rovněž funkcí rezonančního odporu. Na obr. 9 jsou znázorneny průběhy pro rezonanční odpor $R_{res} = 10 \text{ k}\Omega$, $20 \text{ k}\Omega$ a $40 \text{ k}\Omega$.

Uvedený popis platí pro bod nasazení oscilačí. Protože však integrované spinaci obvody nepracují s přesným sinusovým napětím a vysazování oscilačí není vyloučeno, může být v praxi zpětná vazba intenzivnější, tzn. R_V popírá. R_{res} může být menší než jejich vypočtená velikost. V určitých případech bude potřeba volit odpor R_V jako dílčí nebo proměnný. Tento případ nastane, jestliže oscilátor v podstatě pracuje, avšak zpětná vazba je realizována z výstupu O_2 na vstup I_1 jako vyvažovací rezistor a pomocná vazba z výstupu O_1 na vstup I_1 jako sériový laděný obvod. Vlivem působení rezistoru R_8 je jakost sériového laděného obvodu velmi malá.

Vyhodnocovací stupeň se skládá z tranzistoru T_8 , diody D_6 , rezistorů R_9 , R_{10} a vnějšího kondenzátoru C . Jeho úkolem je spoolehlivě a jednoznačně rozpozнат, zda oscilátor kmitá či nikoli. Zapojení tohoto stupně je na obr. 10.

Na výstupu oscilátoru O_1 se v klidovém stavu oscilátoru vytvoří stejnosměrné napětí, složené z $U_{BE7} + U_{R4} \sim 1 U_{BE}$ (oscilátor nekmitá). Toto napětí není schopno překonat přípustné napětí diody D_6 a tranzistoru T_8 a vybudit jej. Jestliže oscilátor nekmitá, je tranzistor T_8 uzavřen a na vývodu C je napětí přibližně stejné jako U_{int} .

Jestliže oscilátor kmitá, bude na výstupu uvedené stejnosměrné napětí smíšené s napětím střídavým, jehož amplituda je asi $1 U_{BE}$. Tranzistor T_8 bude vybuzen kladnými špičkami střídavého napětí, neboť pro vybuzení postačí nepatrný proud báze. Tato podmínka se musí spoolehlivě dodržet v celém rozsahu provozních teplot. Proto se musí přesně vyvážit velikost proudu I_{ET5} rezistoru R_4 a proudu báze I_{BT8} , potřebného pro nasycení tranzistoru T_8 . Odpor rezistoru R_4 podstatně ovlivňuje zesílení oscilátoru, s čímž se musí počítat za všech okolností.

Není-li k vývodu C připojen kondenzátor, vznikne na kolektoru T_8 napětí pravoúhlého průběhu, neboť klopny obvod bude řízen v rytmu kmitočtu oscilátoru. Na výstupech Q a Q' bude signál s kmitočtem oscilátoru a s pravoúhlým průběhem.

Při normálním provozu postačí jeden kondenzátor, připojený k vývodu C . Rezistor R_{10}

pracuje jako ochranný prvek tranzistoru T_8 , omezuje vybíjecí proud a současně tvorí s vnějším kondenzátorem C vybíjecí časovou konstantu, danou vztahem

$$t_{vyb} = R_{10} C.$$

Je-li rezistor $R_9 = 8,2 \text{ k}\Omega$ a $R_{10} = 1 \text{ k}\Omega$, je poměr vybíjení a nabíjení

$$\frac{t_{vyb}}{t_{nab}} = 0,11.$$

Odtud je možné odvodit, že tranzistor T_8 musí být otevřen déle než 11 % trvání periody, aby se překonala dolní spouštěcí úroveň.

Zapojení celého výkonového klopného obvodu se skládá z vlastního klopného obvodu (obr. 11) a výkonového stupně. Výkonový stupeň pracuje podle běžných zvyklostí. Je však třeba upozornit, že tranzistor T_{14} vyrábí „antivaleční“ signály, výstupy je možné zatěžovat proudem do 50 mA, kolektory tranzistorů T_{14} a T_{15} jsou připojeny přímo na napájecí napětí U_{CC} , takže těmito součástkami není přetěžován vnitřní stabilizátor.

Jestliže oscilátor nekmitá (tranzistor T_8 je uzavřen), jsou tranzistory T_9 , T_{12} a T_{13} vodiče. Tranzistory T_9 a T_{10} tvoří diferenční zesilovač. Zatímco napětí báze T_9 je poněkud menší než vnitřní napětí U_{int} , bude napětí na bázi tranzistoru T_{10} určeno v podstatě odporu rezistorů R_{15} a R_{16} . Zanedbáme-li vliv odporu rezistoru R_{14} a saturačního napětí T_{13} , platí vztah

$$U_{BT10} = U_{int} \frac{R_{16}}{R_{16} + R_{15}} \sim 1,7 \text{ V}.$$

Vypočtené napětí odpovídá prahovému napětí, které musí být menší, aby se klopny obvod překlápal. Proto musí být tranzistor T_{10} vodič, tranzistory T_9 , T_{12} a T_{13} uzavřeny. Napětí na bázi T_{10} je o několik desetin voltu menší než napětí U_{int} , tím je určeno horní prahové napětí klopného obvodu. I tady se musí počítat s vlivem proudu báze T_{14} . Ostatní součástky D_4 , D_5 , T_{11} a R_{11} tvoří zapojení konstantního proudu diferenčního zesilovače.

Doporučení pro konstruktéry

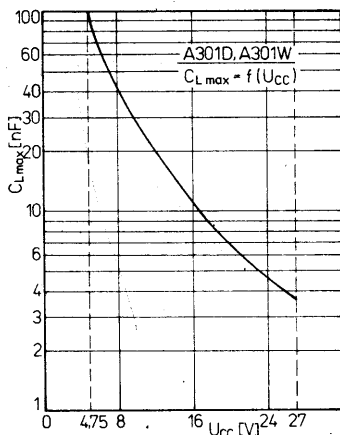
Deska s plošnými spoji má mít co nejvíce měděné plochy kolem obvodu A301D, A301W. Přívod napájecího napětí U_{CC} se musí blokovat kvalitním kondenzátorem 10 až 100 nF vůči zemi. Vývody kondenzátoru musí být co nejkratší, kondenzátor se musí umístit co nejbližše k vývodům integrovaného obvodu. Uvedeným opatřením se zabrání nežádoucímu rušení.

Vývod vnitřního stabilizovaného napětí O_{AU} se smí zatěžovat proudem nejvýše 1 mA. Blokování vývodu je dovoleno, pokud je kapacita použitého kondenzátoru menší než 47 nF.

Maximální přípustná zatěžovací kapacita výstupů Q , popírá. Q se musí volit podle použitého napájecího napětí (podle diagramu na obr. 12).

Zpětnovazební rezistor, potřebný k vybuzení oscilací (R_r), se připojuje mezi vývody I_1 a O_2 . Jeho odpor se vypočte podle přibližného vztahu $R_r \sim 0,3$ až $0,5 R_s$, kde R_s je rezonanční odpor použitého paralelního laděného obvodu. Odpor rezistoru R_r má být větší než $3 \text{ k}\Omega$. Nedodrží-li se tato podmínka, může se nevhodně posunout pracovní bod oscilátoru.

Použije-li se obvod A301 jako Schmittův klopny obvod, musí být napětí na výstupu C v rozsahu $-0,7 \text{ V} \leq U_{12} \leq O_{AU}$. V uvedeném provozu se zkratují vývody I_1 a O_1 , čímž se uvede mimo provoz funkční část oscilátoru. Jestliže se při provozu jako klopny obvod použije i část oscilátoru, slouží vývod I_1 jako vstup a obvod A301 se může používat jako citlivý spouštěcí obvod s mezními údaji:



Obr. 12. Závislost maximální zatěžovací kapacity výstupu C_L na napájecím napětí spouštěcích obvodů A301D

$$I_{1 \max} = 2 \text{ mA}, U_{11 \min} = -5 \text{ V}$$

Uvedená doporučení platí rovněž pro obvod A301W, jestliže se vývody příslušně přečísly.

Zapojení vstupu – vývod 3

Použije-li se obvod A301D jako spínač prahových úrovní v zapojení podle obr. 13, využije se funkční skupina oscilátoru jako předesilovač. Musí se však dodržet mezní údaj proudu vývodu 3 max. 2 mA a napětí min. -5 V. Tím se zabrání přetížení nebo zničení tranzistoru T_5 .

Rezistor R slouží k nastavení velikosti hysterese spínače prahových úrovní. Jeho odpor se má pohybovat v rozmezí $1 \text{ k}\Omega < R < \infty$. K odhadu minimálního odporu rezistoru použijeme vnitřní zapojení integrovaného obvodu podle obr. 14a. Aby byl tranzistor T_8 vodivý a mohl ovlivňovat následné funkční skupiny obvodu, je zapotřebí napětí na emitoru tranzistoru T_6 (U_{ET6}) přibližně $2U_{BE}$, asi 1,4 V. Při nekonečném odporu rezistoru R to bude tehdy, bude-li T_5 v nevodivém stavu. S přihlédnutím k náhradnímu zapojení (obr. 14b) platí v tomto případě vztah

$$I = \frac{U_{int} - U_{CE\text{ sat}}}{250 \Omega + 500 \Omega II (R + 200 \Omega)}$$

Bude-li R' rovno $500 \Omega II (R + 200 \Omega)$, $U_{int} = 2,9 \text{ V}$, $U_{CE\text{ sat}} = 0,3 \text{ V}$ a zanedbáme-li proud báze tranzistoru T_8 , což je přípustné až do prahové úrovni $U_{E6} = 2U_{BE}$, dostaneme

$$U_{E6} = \frac{2,6 \text{ V} \cdot R'}{250 \Omega + R'}.$$

Pro napětí $U_{E6} = 2U_{BE}$ budou odpory rezistorů $R' = 290 \Omega$, $R_{\min} = 500 \Omega$. Volí-li se odpor $R_{\min} = 1 \text{ k}\Omega$, zohlednují se tím případné tolerance integrovaného obvodu, vliv teplosti na jeho vlastnosti a navíc spolehlivost funkce.

Napětí hysterese $U_H = U_{E5H} - U_{E5L}$ se při rezistoru $R_{\min} = 1 \text{ k}\Omega$ zvětší na velikost asi 100 mV. Potřebné napětí na vývodu 3 se vztahuje k $U_{E5} + U_{BE}$, teplotní součinitel je obvykle jako u napětí báze-emitor od -2 mV do +2,6 mV/K, pro napětí $U_l < 0,7 \text{ V}$ je na výstupu Q úroveň H, na výstupu Q úroveň L, pro $U_l > 0,8 \text{ V}$ je na výstupu Q úroveň L, na výstupu Q úroveň H.

Vývod 12 – vývod pro připojení kondenzátoru C

Na obr. 15 je obvod A301D zapojen jako Schmittův klopný obvod s velkou hysterezí. Zkratováním vývodů 3 a 4 se výrádí z činnosti části oscilátoru, tranzistor T_8 je uzavřen.

Prahové napětí U_{12L} , popříp. U_{12H} se získá použitím odporového děliče R_{15} a R_{16} , popříp. z vnitřního napětí U_{13} . Výrobce uvádí reprezentativní naměřené napětí

$$U_{12L} = 1,54 \text{ až } 1,63 \text{ V (střed } 1,6 \text{ V),}$$

$$U_{12H} = 2,62 \text{ až } 2,74 \text{ V (střed } 2,7 \text{ V).}$$

Teplotní závislost prahového napětí je -4 mV/K při napětí U_{12H} a $-2,2 \text{ mV/K}$ při U_{12L} . Výstupní napětí U_{12} je omezeno na rozsah od $-0,7 \leq U_{12} \leq U_{13}$. Průchozí charakteristika napětí U_{12} , vztažena k výstupnímu napětí Q, je na obr. 16. Maximální pracovní kmitočet obvodu A301D (při provozu jako Schmittův klopný obvod) je dán vztahem

$$f_{\max} = \frac{1}{t_{DLHQ} + t_{DHQ}}$$

a je přibližně 200 kHz. Při návrhu pracovního zapojení se musí respektovat, že je vstup C (vývod 12) zatižen sériově zapojenými vnitřními rezistory R_9 a R_{10} (asi $10 \text{ k}\Omega$) vůči stabilizovanému napětí U_{13} .

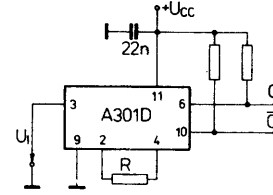
Zapojení výstupu Q a \bar{Q} – vývody 6 a 10

Výstupním tranzistorům hrozí nebezpečí poškození při kapacitním nebo indukčním přetížení. Kondenzátor, připojený mezi vývod 6 (popříp. 10) a zem (obr. 17a), se během závěrného cyklu nabije přes zatěžovací rezistor R_L na napětí U_{CC} , během vodivého cyklu se náboj kondenzátoru vybije přes tranzistory T_{15} (popříp. T_{16}). V průběhu nabíjecího a vybíjecího pochodu není ve vybíjecím obvodu zapojena žádná součástka, která by omezovala protékající proud s výjimkou malých vnitřních odporů tranzistorů. Při kapacitní zátěži se ve výstupních tranzistorach podstatně zvětší proudy a tím též ztrátový výkon až na nebezpečnou velikost, která může ohrozit funkci tranzistorů. S ohledem na geometrii systému a tepelnou časovou konstantu tranzistorů T_{15} , popříp. T_{16} je na obr. 12 zobrazena krivka maximálně přípustné zatěžovací kapacity C_L v závislosti na napájecím napětí obvodu A301D.

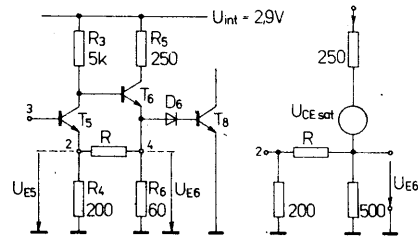
U indukční zátěže se musí výstupy opatřit náběhovými diodami, paralelně připojenými k indukčnosti (cívka relé apod.) podle obr. 17b, kterým se omezí napětí ve zpětném směru při vypínání na velikost $U_{CC} + U_D$, kde U_D je propustné napětí použité diody. Účinná ochrana je možná jen tehdy, použijí-li se k ochraně rychlé diody. Diody musí mít kratší spinaci časy než chráněný tranzistor. Proto se doporučuje používat k ochraně rychlé křemíkové diody, např. TESLA KA206, KA207, 1N4148 apod.

Výstup stabilizovaného napětí O_{AU} – vývod 13

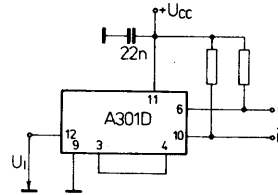
Protože z výstupu O_{AU} je dovoleno odebírat proud nejvýše 1 mA, je v mnoha případech nutné připojit mezi vývod 13 a zem kondenzátor C_S podle zapojení na obr. 18, který slouží jako krátkodobý proudový akumulátor. Po připojení napájecího napětí na integrovaný obvod se kondenzátor C_S nabije přes tranzistor T_4 , přičemž vznikají v tranzistoru špičkové ztrátové výkony okolo 2,6 W (při napájení napětím 27 V). S ohledem na tepelnou časovou konstantu se musí vypočítat největší kapacita $C_{S \max}$ kondenzátoru tak, aby se tranzistor T_4 nepretížil a nepoškodil. Zapnutí napájecího napětí se přitom posuzuje jako jednorázový pochod. Největší paměťová kapacita se připouští bez zvláštních opatření max. 47 nF. Kapacitu kondenzátoru C_S je možné zvětšit na libovolnou velikost, splní-li se podmínka $R_V C \geq 12C_S$. To znamená, že náběh napájecího napětí přivedeného na vývod 11 musí být podstatně pomalejší než na vývodu 13. Odpor rezistoru R_V se proto musí volit tak, aby bylo napětí U_{11} vždy spolehlivě větší než 4,75 V. Koncový stupeň obvodu se může připojit jako obvykle přímo na napájecí napětí.



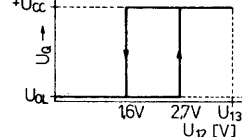
Obr. 13. Základní zapojení obvodu A301D jako spínač prahové úrovně



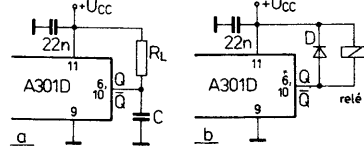
Obr. 14. Zapojení slouží k odhadu minimálního odporu rezistoru R; a – elektrické zapojení, b – náhradní zapojení



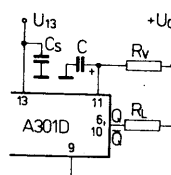
Obr. 15. Integrovaný obvod A301D zapojený jako Schmittův klopný obvod s velkou hysterezí



Obr. 16. Charakteristika hystereze Schmittova klopného obvodu s obvodem A301D



Obr. 17. Způsob připojení zátěže k výstupům obvodu A301D; a – kapacitní zátěž; b – indukční zátěž



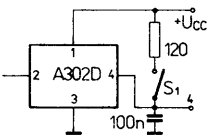
Obr. 18. Způsob připojení paměťového kondenzátoru C_S a zapojení odporových prvků k omezení špičkových proudů obvodu A301D

Tab. 2. Elektrické údaje spínače prahové úrovňě A302D

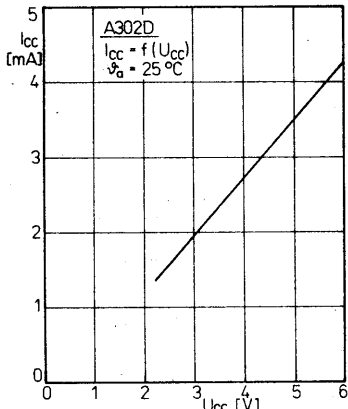
Mezní údaje	
Napájecí napětí ¹⁾ , U_{CC} [V]	2,3 až 6,3
Vstupní proud, I_i [mA]	≤ 1
Výstupní zatěžovací proud, I_{OL} [mA]	≤ 60
Zatěžovací indukčnost, L_L [H]	≤ 2
Přepočítané napájecí napětí, U_{CC} [V]	
$R_L \geq 100 \Omega$	
$t \leq 20 \text{ min}$	≤ -5
$t \leq 10 \text{ s}$	$\leq -6,3$
Rozsah provozní teploty okolí ²⁾ , ϑ_a [$^{\circ}\text{C}$]	-10 až +55

Charakteristické údaje
Plati při $\vartheta_a = 25^{\circ}\text{C} \pm 5\text{ K}$, měřeno v zapojení na obr. 38

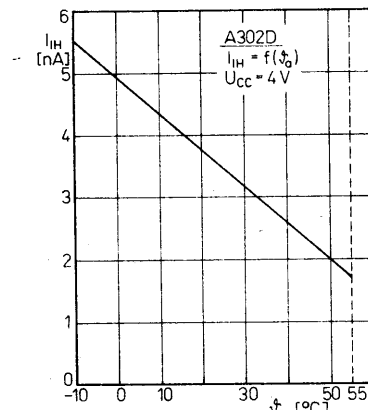
Spotřeba napájecího proudu, I_{CC} [mA] $U_{CC} = 4 \text{ V}$, $U_i = 0 \text{ V}$, S_1 otevřen	jmen. 2,7; ≤ 5
Spínací úroveň ve vypnutém stavu, a_O $U_{CC} = 4 \text{ V}$, $R_L = 120 \Omega$, S_1 sepnut ³⁾	jmen. 0,587; 0,57 až 0,6
$U_{CC} = 2,3 \text{ až } 6 \text{ V}$, $R_L = 120 \Omega$, S_1 sepnut, $\vartheta_a = -10 \text{ až } +55^{\circ}\text{C}$ ³⁾	0,559 až 0,612
Spínací úroveň v zapnutém stavu, a_I $U_{CC} = 4 \text{ V}$, $R_L = 120 \Omega$, S_1 sepnut	jmen. 0,518; 0,5 až 0,535
Vstupní proud – úroveň L, $-I_{IL}$ [nA] $U_{CC} = 4 \text{ V}$, $U_{IL} = 0 \text{ V}$, $R_L = 120 \Omega$, S_1 sepnut	jmen. 1; ≤ 25



Obr. 38. Zapojení pro měření charakteristických údajů obvodu A302D



Obr. 39. Spotřeba napájecího proudu v závislosti na velikosti napájecího napětí obvodu A302D



Obr. 41. Vstupní proud obvodu A302D v úrovni H jako funkce teploty okolí

V nejpřínivějším případě je tento údaj asi 0,1, závisí však na použité technologii (obvykle je 0,2, popříp. i horší).

U Darlingtonova stupně T₁, T₂ platí pro vstupní proud I_i

$$\log I_i = (\alpha x - 1)^2 \log \frac{I_k}{I_o} + \log I_o + (\alpha - 2) \log B(I_o),$$

kde výraz $B(I_o)$ je proudové zesílení tranzistorů (jsou stejného druhu) při proudu kolektoru I_o (např. 1 mA), proud $I_k = I_{ET2} \sim I_{CT2}$ je nastavený konstantní proud.

Při konstantně nastaveném proudu 10 μA , který nesmí být menší s ohledem na teplotní vlastnosti obvodu, je pro vstupní proud 3 nA zapotřebí proudové zesílení 120 (při proudu 1 mA) pro $\alpha = 0,1$. Splnění tohoto požadavku je zaručeno použitou vertikální strukturou tranzistoru a vhodnou výrobní technologií.

Elektrické údaje integrovaného obvodu A302D jsou v tab. 2. Plati pro měření v zapojení na obr. 38. Dynamické údaje jsou měřeny pomocí vzorkovacího osciloskopu ve speciálním zapojení.

Předností obvodu A302D je velmi malá spotřeba proudu z napájecího zdroje (okolo 2,7 mA) při napájecím napětí 4 V. Závislost spotřeby proudu v celém rozsahu napájecího napětí je na obr. 39. Plati pro střední teplotu okolí +25 °C. Teplotní závislost spotřeby napájecího proudu při konstantním napájecím napětí 4 V je na obr. 40. V intervalu

Vstupní proud – úroveň H, I_{IH} [nA]	jmen. 3; ≤ 25
$U_{CC} = 4 \text{ V}$, $I_{IH} = 4 \text{ V}$, $R_L = 120 \Omega$	
Relativní změna spínací úrovni ⁴⁾ , $\Delta a_O/a_O$	
$U_{CC} = 2,3 \text{ až } 6 \text{ V}$, $R_L = 120 \Omega$	
$\vartheta_a = -10 \text{ až } +55^{\circ}\text{C}$	
Výstupní napětí – úroveň L, U_{OL} [mV]	
$U_{CC} = 4 \text{ V}$, $I_{IL} = 0 \text{ V}$, $I_o = 40 \text{ mA}$	
S_1 otevřen	
Výstupní proud závěrný, I_{OH} [μA]	jmen. 225; ≤ 300
$U_{CC} = U_{IH} = U_{OH} = 6 \text{ V}$, S_1 otevřen	jmen. 1,5; ≤ 100

Dynamické údaje

Plati při $\vartheta_a = 23^{\circ}\text{C} - 5 \text{ K}$, $U_{CC} = 4 \text{ V}$, $U_{IL} = 0 \text{ V}$, $U_{IH} = 2,6 \text{ V}$, pravoúhlé impulsy s $t_{ip} = 10 \mu\text{s}$, $t_{ip}/T = 0,2$, $R_L = 120 \Omega$, $Z_O = 50 \Omega$.

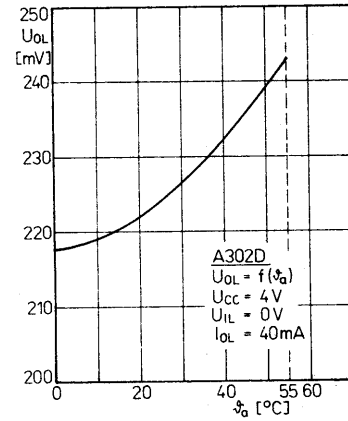
Doba zpoždění při vypnutí, t_{V1} [μs]	jmen. 1,3
Doba zpoždění při zapnutí, t_{V2} [μs]	jmen. 0,9
Doba nábehu výstupního impulsu, t_r [ns]	jmen. 45
Doba týlu výstupního impulsu, t_f [ns]	jmen. 45

1) Při napěti menším než 2,3 V není zaručena funkce obvodu.

2) Integrované obvody se mohou používat v celém rozsahu provozních teplot. V předpokládaném zapojení se však musí respektovat teplotní závislost charakteristických údajů.

3) Úroveň je vztázena vůči napájecímu napětí.

4) Údaj spínací úrovni a_O platí při $U_{CC} = 4 \text{ V}$, $\vartheta_a = 25^{\circ}\text{C}$.

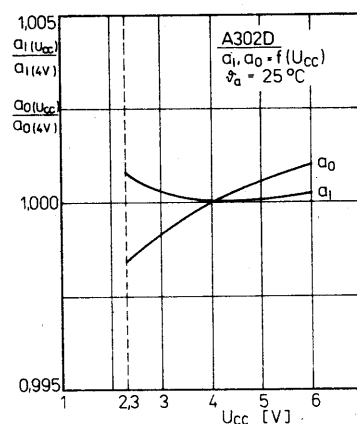


Obr. 42. Výstupní proud obvodu A302D v úrovni L jako funkce teploty okolí

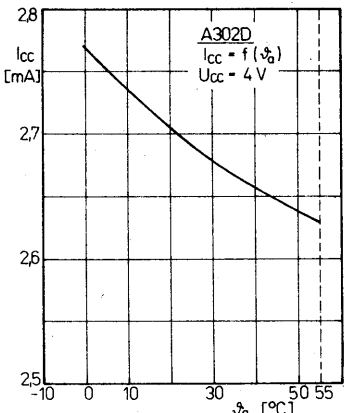
teploty od -10 do +55 °C je změna proudu asi 150 μA (což je velmi malá teplotní závislost).

Lineárně se zmenšující vstupní proud v úrovni H v dovoleném rozsahu provozních teplot okolí je na obr. 41, průběh saturačního napětí výstupního tranzistoru na obr. 42.

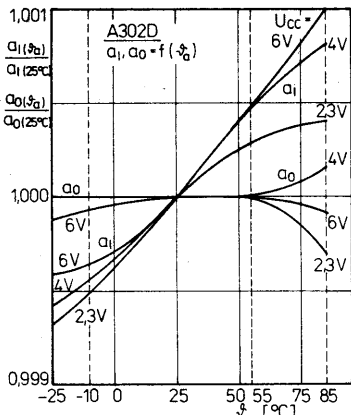
Vlastnosti spínací úrovni v závislosti na napájecím napětí, popříp. na teplotě okolí vyjadřují grafické závislosti na obr. 43 až 44.



Obr. 43. Spínací úroveň v sepnutém (a_0) a rozpojeném stavu (a_1) v závislosti na napájecím napětí obvodu A302D při teplotě okolí 25 °C



Obr. 40. Spotřeba napájecího proudu v závislosti na teplotě okolí obvodu A302D



Obr. 44. Spínací úroveň v sepnutém (a_0) a rozpojeném stavu (a_1) v závislosti na teplotě okolí obvodu A302D při napájecím napětí 2,3 V, 4 V a 6 V

Spínací úrovnejsou normovány jako vstupní napětí U_i včetně napájecímu napětí U_{CC} takto:

$$\text{spínací úroveň } I_{O\text{ OFF}} = a_0 \frac{U_{O\text{ OFF}}}{U_{CC}},$$

$$\text{spínací úroveň } I_{O\text{ ON}} = a_0 \frac{U_{O\text{ ON}}}{U_{CC}},$$

Závislosti jsou vztaheny vždy včetně spínací úrovni při doporučeném napájecím napětí 4 V a teplotě 25 °C, takže odchylky v jiných provozních rozsazích jsou dobré patrné.

Integrovaný obvod A302D je obdobou součástky MCC102 amerického výrobce Microcomponents Corp., která má téměř stejně elektrické vlastnosti (mimo maximální povolený provozní proud). Porovnáním se starším obvodem A902D z výroby RFT v NDR vyzačuje se A302D mimo větší vstupní odpory i vnitřní ochranou proti přepěrování napájecího napětí, větší stálostí pravohého napětí, lepšími spínacími časy, strméjšími náběhovými hranami spínacích impulsů a menším příkonem.

Hojně používaný obvod TCA345A z výroby firmy Siemens, který má dolní hranici povoleného napájecího napětí o 0,3 V menší, se může obvodem A302D bez problémů nahradit. Všechny ostatní hlavní veličiny má A302D o něco lepší. Je třeba podotknout, že všechny ostatní prahové spínače nejsou využity ochranou proti přepěrování napájecího napětí.

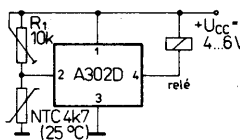
Provozní spolehlivost obvodu A302D udává výrobce jako $\lambda_p = 5.10^{-6} h^{-1}$ při provozu se středním elektrickým zatížením, střední teplotou okolo 40 °C a při zanedbatelném mechanickém zatížení. Uvedená spolehlivost se vztahuje na funkční vady přístrojů, způsobené vestavěným obvodem A302D během provozní doby nejméně 1000 h v časovém období 12 měsíců.

Typická provozní zapojení

Popsaná zapojení využívají velmi dobrých vlastností obvodu A302D ve velmi přesných, časově řízených funkciích jako jsou astabilní a monostabilní multivibrátory, spínače s vysokým vstupním odporem apod. Přemyslivý konstruktér jich může adaptovat a navrhovat celou řadu dalších. Výhodou popsáncích zapojení je možnost jednoduché realizace a dostupnost součástek u nás i našich sousedů.

Regulátor teploty

Zapojení na obr. 45 představuje jednoduchý regulátor teploty s obvodem A302D. K jeho vstupu je připojen rezistorový dělič složený z odporového trimru 10 kΩ a rezistoru 4,7 kΩ se záporným teplotním činitelem.



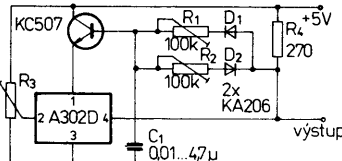
Obr. 45. Zapojení regulátoru teploty s integrovaným obvodem A302D a reléovým výstupem

lem. Bude-li na vstupu 2 vstupní napětí z napěťového děliče (rezistory R_1/R_2) menší než $0,5U_1$ (zvýšená teplota), relé na výstupu se rozpojí (odpadne). Funkce spínače je v širokých mezech nezávislá na velikosti napájecího napětí, takže k napájení popsaného regulátoru se nemusí používat stabilizované napětí. Hystereze spínání regulátoru závisí na použitém teplotném závislém rezistoru. Průměrně činí asi 3 °C.

Integrovaný obvod v zapojení jako

všeestranný impulsní generátor

je navržen na obr. 46. Výstupní impulsy mají pravoúhlý tvar, jejich kmitočet se může nastavit v rozsahu od 0 do 50 kHz. Integrovaný obvod pracuje ve spojení s křemíkovým tranzistorem KC507 s poměrně velkým zesilova-

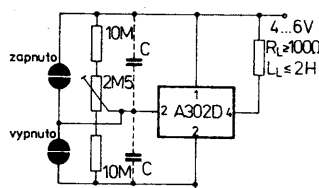


Obr. 46. Univerzální generátor obdělníkových impulsů s kmitočtem v rozsahu 0 až 50 kHz, osazený obvodem A302D

cím činitelem, v jehož obvodu báze jsou zapojeny regulační diodo-odporové členy D_1, R_1 a D_2, R_2 . Pomocí proměnných rezistorů R_1, R_2 se nastavuje klíčovací poměr výroběných impulsů. Potenciometr R_3 slouží k nastavení napětí na vstupu na takovou velikost, aby bylo těsně před dolním prahovou úrovní spínáče A302D. Doba náběhu a dobu pravoúhlých impulsů je kratší než 0,1 μs. Použité diody D_1, D_2 jsou rychlé křemíkové diody KA206 nebo dovolávané typy 1N4148, SAY17 s dobou zotavení 4 až 6 ns.

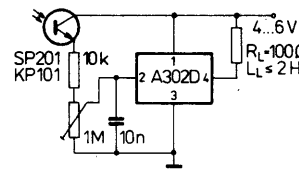
Senzorové spínače

se mohou konstruovat s obvodem A302D tehdy, bude-li na vývodu 2 vstupní napětí ze zdroje s velkým vnitřním odporem mezi úrovni zapnutí a vypnutí. Této podmínky využije zapojení podle obr. 47. Potřebný spínač pochod se vyvolá dotykem jednoho ze senzorových tlačítek buď dotykem prstu nebo



Obr. 47. Senzorový spínač se samostatnými tlačítky zapnuto a vypnuto, osazený obvodem A302D

připojením rezistoru s velkým odporem. Přiložením prstu k tlačítku „zapnuto“ bude na výstupu obvodu úrovně L, k tlačítku „vypnuto“ úrovně 0. Kondenzátor C tvoří v okamžiku připojení napájecího napětí zkrat a určuje po zapnutí počáteční stav spínače. Jako záťaze se může použít cívka relé s maximální indukčností 2 H, popř. rezistor nebo jiná součástka s minimálním činným odporem 100 Ω.

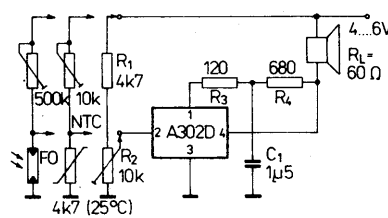


Obr. 48. Spínací obvod A302D s fototransistorom na vstupu slouží jako stmívací spínač

Integrovaný obvod A302D v zapojení jako

stmívací spínač

je na obr. 48. Na vstupu (vývod 2) obvodu je připojen přes rezistor 10 kΩ emitor fototransistoru SP201, jehož kolektorový vývod je spojen s kladným napájecím napětím. Mezi výstup (vývod 4) a kladný pól napájecího napětí je připojen pracovní odpór (cívka relé) s odporem nejméně 100 Ω, popříp. s indukčností menší než 2 H. Při dopadu světla na fotokatodu fototranzistoru se zvýší fotoelektrický proudem vyvoláný úbytek napětí na vstupních rezistorech. Po dosažení nastaveného prahové úrovně způsobi uvedené napětí vypnutí zátěže. Prahová spínací úroveň se nastavuje potenciometrem P_1 , připojeným ke vstupu integrovaného obvodu a zem. Kondenzátor C zabraňuje případnému zakmitávání v prahovém spínacím bodě. Použije-li se jako pracovní zátěž vhodné relé, mohou se popsaným spínačem automaticky zapínat při setmění osvětlovací tělesa a podob.



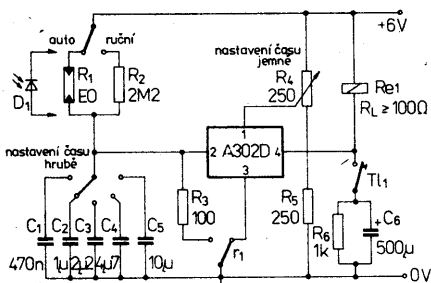
Obr. 49. Jednoduchý tónový generátor – zdroj akustického signálu s obvodem A302D

Jednoduchý tónový generátor,

jehož zapojení je na obr. 49, se může použít jako levný zdroj akustického signálu. K tomuto účelu se použije místo indukční zátěže na výstupu přímo kmitačí cívka reproduktoru s impedancí 60 Ω. Generátor začne kmitat v okamžiku, kdy bude vstupní napětí, přiváděné z odpornového děliče R_1/R_2 na vstup integrovaného obvodu, těsně před dolním prahovou úrovní obvodu. Zapojení je skutečně všeestranné. Použije-li se místo rezistoru R_1 (nebo R_2) teplotně závislý rezistor s kladným teplotním součinitelem, může se toto zapojení používat jako hlídac teploty. Použije-li se fotorezistor, může zapojení sloužit jako světelné hradlo s akustickou návěští. Tónový kmitočet určuje odpór rezistorů R_3, R_4 a kapacita kondenzátoru C.

Spínací hodiny

s obvodem A302D pro použití ve spojení s fotografickými zvětšovacími přístroji je na obr. 50. Další potřebné osvětlovací časy zpravidla vyžadují v časovém členu mimo jemný odporový regulátor pro jemně nastavení času přepinatelné kondenzátory s různými kapacitami (hrubé nastavení spínacích časů). Doba spínání hodin se nastavuje ručně nebo automaticky.

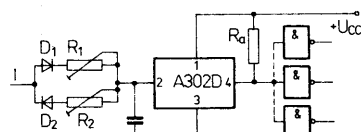


Obr. 50. Osvětlovací spínací hodiny s obvodem A302D pro zvětšovací přístroje v temné komoře

Hrubě se spínací časy nastaví přepínačem Př., kterým se ke vstupu obvodu A302D připojí kondenzátor s potřebnou kapacitou. Stiskem tlačítka Tl₁ se krátkodobě sepne relé Re₁, čímž se nabije kondenzátor C₂. Spínací kontakt relé re₁ spojí vývod 3 obvodu se zemním potenciálem a relé zůstává dále sepnuto. Nyní se nabije kondenzátor C₂ přes fotorezistor R₁, popříp. rezistor R₂. Dosáhnout napětí na vývodu 2 přes rezistor R₃ určité prahové úrovni, relé odpadne a kondenzátor C₂ se vybije přes rezistor R₃.

Při automatickém spínání času je fotorezistor (popříp. fotodioda) zapojen v závěrném směru, připojen mezi vstup a kladné napájecí napětí. Fotoelektrická součástka se vloží obvyklým způsobem do cesty světelnému paprsku ze zvětšovacího přístroje, který osvětlí fotokatodou fotoelektrického prvku. Intenzita dopadajícího světla, která je závislá na intenzitě vykrytí negativní kresby na filmu, světlosti objektivu, cloně a citlivosti použitého fotopapíru, způsobuje větší či menší vnitřní odpor fotoelektrického prvku. V důsledku toho se kondenzátor C₁ nabije rychleji nebo pomaleji na určité prahové napětí integrovaného spínače, při němž odpadne relé a vypne se žárovka ve zvětšovacím přístroji. Popsanými spínacími hodinami s uvedenými součástkami je možné dosáhnout spínacích časů až do 100 s.

Příznivé napájecí napětí, stejně jako vstupní a výstupní napětí integrovaného obvodu A302D umožňuje jej používat ve spojení s logickými obvodami TTL, může totiž sloužit ke zvětšení vstupního odporu logických členů TTL (jako časový člen, monostabilní klopný obvod, pracující v sekundovém rozsahu apod.). Praktický příklad podle zapojení na obr. 51 je

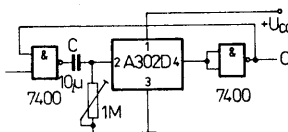


Obr. 51. Zapojení pro zvětšení vstupního odporu logických členů TTL pomocí obvodu A302D

zpožďovací obvod,

který má odděleně nastavitelné zpoždění záporné, popříp. kladné hrany impulsů. Při pracovním odporu $R_a = 1 \text{ k}\Omega$ mezi výstupem a kladným pólem napájecího zdroje má integrovaný obvod A302D výstupní zatěžovací činitel 35. K výstupu se mohou přímo připojit vstupy logických členů NAND. Statická odolnost proti rušení pro oba výstupní stavů sepnutí je lepší než 0,5 V. Doba náběhu se určí podle vztahu $t_r = 0,87 R_1 C$, doba poklesu $t_f = 0,65 R_2 C$.

Zapojení na obr. 52 představuje návrh



Obr. 52. Zapojení monostabilního multivibrátoru v kombinovaném zapojení obvodu A302D s logickými členy NAND

monostabilního multivibrátoru

s obvodem A302D, na jehož vstupu a výstupu pracují logické členy NAND základní logiky 7400. Zapojení se vyznačuje velkou dobou zpoždění spínání.

Spínače prahové úrovně TCA105, TCA105B, TCA105G, TCA105W, TCA105BW

Integrované obvody řady TCA105 jsou spínače prahové úrovně, určené především pro použití ve spojení s indukčními a světelnými senzory jako přiblížovací spínače, hradla a jiné bezkontaktní spínače. Obvody sdružují na čipu oscilační stupeň, vlastní spínač prahové úrovně a výstupní zesilovač s „doplňkovými“ výstupy. Výrobcem téhoto součástek je firma Siemens AG.

Vnitřní elektrické zapojení všech jmenovaných obvodů je na obr. 53. Obvody se vyznačují širokým rozsahem dovoleného napájecího napětí podle typu od 4,75 V do 30 V, popříp. 20 V u obvodu TCA105B a TCA105BW. Zatěžovat se mohou výstupním proudem až do 50 mA, což postačuje k buzení cívek malých relé. Spínače se spouštějí stejnosměrným napětím, přivedeným na vstup I₁ (vývod 2). Pokud se při provozu s indukčním senzorem nepoužije vstup I₂ (vývod 3) k aktivnímu řízení spínače, spojí se se zemním potenciálem. Spínače jsou slučitelné s logikou TTL.

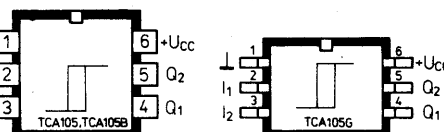
Popsané součástky se dodávají ve třech druzích pouzder, určených pro běžná použití, v rozmezí malých použdrců jsou vhodné pro miniaturní spínače. Obvody

TCA105, TCA105B jsou v plastovém pouzdře DIP-6 s 2 × třemi vývody v rastru 2,54 mm a odstupem řad vývodů 7,6 mm,

TCA105G jsou v miniaturním plastovém pouzdru SO-6 s 2 × třemi vývody v rastru 1,27 mm a odstupem řad vývodů 4,7 mm, vhodné pro povrchovou montáž SMT,

TCA105W, TCA105BW jsou v miniaturním plastovém pouzdru s 2 × třemi páskovými vývody dlouhými asi 7 mm rozloženými v rastru 1,27 mm.

Součástky v miniaturním pouzdru jsou značeny barevně podle kódu: TCA105G

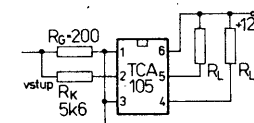


Obr. 54. Zapojení vývodů spolu se schématickým znakem obvodu TCA105

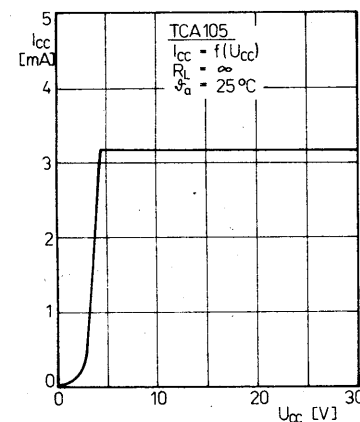
– oranžová a bílá, TCA105W – oranžová a bílá, TCA105BW – oranžová a červená.

Zapojení vývodů spolu se schematickým znakem je uvedeno na obr. 54. Funkce vývodů: 1 – zemníci bod; 2 – vstup I₁; 3 – vstup I₂; 4 – výstup O₁; 5 – výstup O₂; 6 – přípoj napájecího napětí U_{CC}.

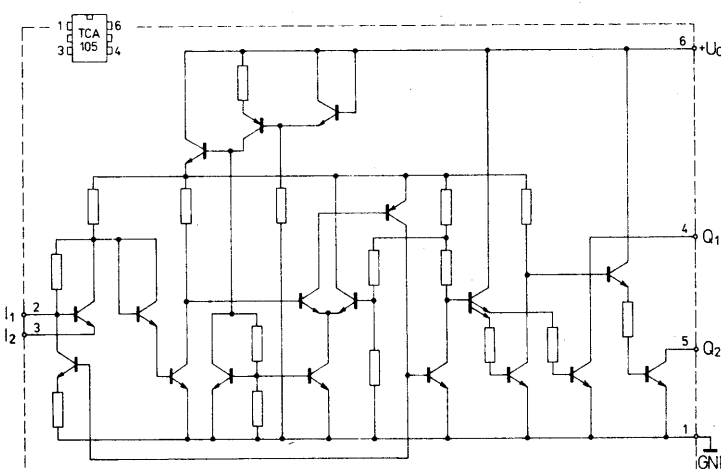
Elektrické vlastnosti spínačů řady TCA105 jsou uvedeny v tab. 3. Údaje platí při statickém měření v zapojení podle obr. 55. Všechny součástky řady mají zaručenou



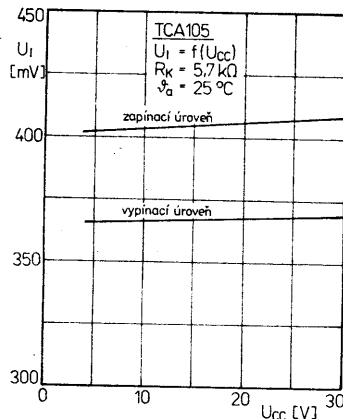
Obr. 55. Zapojení pro měření statických údajů integrovaného obvodu TCA105



Obr. 56. Závislost spotřeby napájecího proudu na napájecím napětí spínacích obvodů řady TCA105



Obr. 53. Vnitřní elektrické zapojení spínačů prahové úrovně řady TCA105

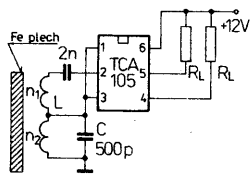


Obr. 57. Zapínací a vypínací úroveň vstupního napětí na napájecím napětí spínacích obvodů řady TCA105

funkci při minimálním napájecím napěti alespoň 4,75 V. Při napěti menším než je funkce zaručována. Dokládaje to grafická závislost napájecího proudu na napájecím napěti na obr. 56; při napěti menším než 4,75 V se proud prudce zmenší. Průběh spínací úrovni pro sepnutí a vypnutí se s napájecím napětím mění jen velmi zvolna. Tato závislost je graficky znázorněna na obr. 57.

Typická provozní zapojení

Přibližovací spínač nebo indukční drážkový spínač s obvodem řady TCA105, který je nejvíce používán, je na obr. 58. Ke vstupům I₁ a I₂ je připojen rezonanční obvod LC, jehož čívka L má vinutí rozděleno do dvou částí, n₁ a n₂. Střed čívky je spojen se vstupem I₂. Při provozu jako drážkový indukční spínač má čívka 2 × 25 závitů navinutých na hřížkových jádrech s průměrem 9 mm. Šířka drážky může být v rozmezí od 2,5 do 3,5 mm.

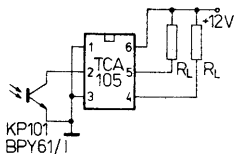


Obr. 58. Zapojení indukčního nebo přibližovacího spínače s obvodem TCA105

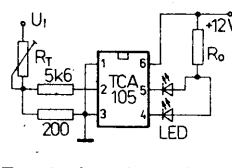
V zapojení jako přibližovací spínač má čívka n₁ 8 závitů, n₂ 40 závitů drátu. Vzdáenosť pro sepnutí je 2 až 3 mm. V obou případech se používá k útlumu oscilaci ocelový plech, který se vloží do drážky čívky nebo přiblíží k čívce.

Zapojení světelného hradla s obvodem TCA105, které pracuje s křemičitým foto-tranzistorem na vstupu (např. KP101, BPY61/1 apod.), je navrženo na obr. 59. Podmírkou správné funkce hradla je použití správného typu fototranzistoru a správné nasnímrování světelného paprsku na fotokatodu.

Ke kontrole úrovně napětí je možné použít zapojení podle obr. 60, kde TCA105 pracuje jako spínač napěťové úrovně s indikací minimální a maximální úrovně napětí světelními



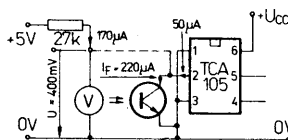
Obr. 59. Světelné hradlo s integrovaným obvodem TCA105



Obr. 60. Zapojení pro kontrolu minimálních a maximálních napěťových úrovní s obvodem TCA105 s optickou indikací diodami LED

diodami, zapojenými ve výstupech O₁ a O₂. Odpor srážecího rezistoru R_o, který je sériově zapojen se svítivými diodami, se musí volit podle pracovního proudu použitých svítivých diod. Velikost kontrolovaného napěti se nastavuje odporovým trimrem R_T ve vstupním odporovém děliči.

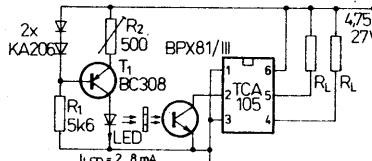
Základními součástkami světelného hradla jsou světelná dioda GaAs, fototranzistor (např. BPX81) a integrovaný obvod TCA105. Zapojení hradla podle obr. 61 může pracovat v širokém rozsahu napájecího napěti od 4,75 do 27 V. Aby bylo možné využívat tento široký rozsah napájecího napěti, napájí se světelná dioda nutněm



Obr. 61. Zapojení světelného hradla s obvodem TCA105 se vstupní úpravou fototranzistoru BPX81 a zdrojem světla

proudem. K tomuto účelu slouží zdroj konstantního proudu, vytvořený tranzistorem T₁, diodami D₁, D₂ a oběma rezistorů R₁, R₂. Působením obou diod vzniká na bázi tranzistoru přibližně konstantní napětí, které je nezávislé na napájecím napěti. Konstantní proud tranzistoru se může nastavit na potřebnou velikost rezistorem R₂. Změny vlastnosti součástek vlivem působení teploty okolí a stárnutí se spolehlivě zachytí, bude-li fotelektrický proud fototranzistoru asi 4× větší než je prahová úroveň vstupního proudu obvodu TCA105 (asi 200 μA). Integrovaný obvod je schopen pracovat v plánovaném rozsahu napájecího napěti. Na obou výstupech (vývody 4 a 5) je k dispozici normální a invertovaný výstupní signál.

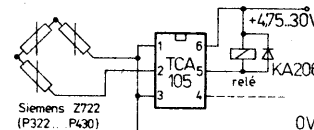
Světelné hradlo se využívá nastavením proudu svítivé diody ve zkoušebním zapojení na obr. 62. Průdu svítivé diody se nastaví tak, aby mezi vývody 1 a 2 integrovaného



Obr. 62. Návrh vyvažovacího postupu světelného hradla podle zapojení na obr. 61

vývodu bylo napětí 400 mV. Dosažené technické údaje hradla: Při napájecím napěti 4,75 až 27 V je celková spotřeba napájecího proudu 5,3 až 11,3 mA, proud svítivé diody je 2 až 8 mA, spotřeba integrovaného obvodu 3,3 mA, rozsah teploty v provozu -25 až +70 °C.

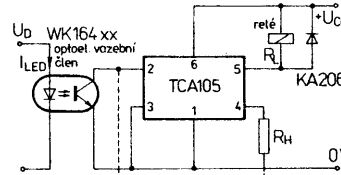
Tepelně závislé rezistory s velkou vodivostí za studena, jejichž odpor se zvětšuje se zvyšováním teploty (tzv. PTC, s kladným teplotním součinitelem), jsou součástky vhodné pro teplotní čidla k hledání teploty. Velmi jednoduché zapojení obvodu TCA105 bez nároků na vnější součástky na obr. 63 slouží např. k ochraně elektromotoru před



Obr. 63. Ochranné zapojení motoru s tepelně závislými rezistory a prahovým spínačem TCA105

tepelným přetížením. Ke vstupu spínače prahové úrovni TCA105 je připojeno několik tepelně závislých rezistorů PTC. Jejich malý odpor za studena udržuje zesilovač prahové úrovni v klidovém stavu. Jakmile se zvětší odpor jednoho nebo několika rezistorů v důsledku zvýšení teploty okolí, překlopí se spínač prahové úrovni do opačné polohy. Protože oba výstupy obvodu TCA105 jsou invertující, může se k nim připojit pracovní nebo klidové relé. Oba výstupy se mohou rovněž používat současně. K měření teploty vnitř elektromotoru jsou vhodné teplotně závislé rezistory typu Z722 firmy Siemens. Jejich mechanická pevnost a izolace vyhovuje požadavkům bezpečnostních norem pro vestavění do měděného vinutí motoru. Dosažené technické údaje ochranného zapojení: Při napájecím napěti 4,5 až 30 V je spotřeba napájecího proudu max. 50 mA (závisí na zátěži), rozsah teploty okolí při provozu -25 až +85 °C, celkový odpor za studena teplotně závislého rezistoru max. 2 kΩ, bod sepnutí při celkovém odporu za tepla teplotně závislého rezistoru max. 6 kΩ. Každý z výstupů Q a Q̄ se může zatížit proudem až do 50 mA.

Velmi zajímavé řešení světelné závory s optoelektronickým vazebním členem TESLA WK 164 12 až WK 164 16 na vstupu prahového spínače TCA105 je navrženo na obr. 64. Pokud světelný paprsek svítivé di-



Obr. 64. Zapojení světelné závory s obvodem TCA105 a optoelektronickým vazebním členem na vstupu

dy optoelektronického člena osvětluje katom fototranzistoru, je závora v klidovém stavu. Jakmile se světelný paprsek přeruší, spínač sepne relé.

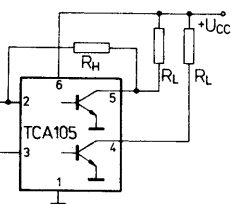
Ke konstrukci zapojení není zapotřebí mimo optoelektronický člen, relé na výstupu a paralelně k němu připojenou zhášecí diodu KA206 žádných dalších součástek. Teplotní závislost fotelektrického proudu svítivé diody je téměř kompenzována vstupním zpěvácem proudu obvodu TCA105. Spínací bod je konstantní v celém rozsahu napájecího napěti od 4,5 V do 30 V. Rezistor R_H slouží ke zvětšení hysterese, pokud je to žádoucí.

Předností popsané světelné závory je galvanické oddělení dvou elektrických obvodů. Optoelektronický vazební člen zaručuje dokonalé galvanické oddělení s velkou izolační pevností, která závisí na použité součástce. Izolační napětí mezi vstupem a výstupem optoelektronického vazebního člena z výroby podniku TESLA v Blatné typu WK16412 je 4000 V, WK16413, WK16414, WK16415 je 2500 V, u WK16416 je izolační napětí jen 500 V, proto se hodí jen pro nenáročné účely.

Svitivá dioda vazebního člena se může řídit např. logikou TTL, TTL ALS nebo mikropočítacovým obvodem. Spotřeba napájecího proudu diody je dána použitou součástkou a bývá v rozmezí 1 až 10 mA.

Stejně účinné zapojení se může konstruovat i s diskrétními součástkami – nejlépe s infračervenou diodou TESLA např. WK16402 a fototranzistorem KP101. Zapojení je však složitější a paprsek se musí soustředit na fotokatodu fototranzistoru vhodnou optikou.

V mnoha případech je nutné použít prahový spínač TCA105 s menší hysterese, než je u něj vnitřně nastavena. Velikost hystereze obvodu je možné změnit pomocí vnějšího rezistoru R_H , který se zapojí podle obr. 65.



Obr. 65. Způsob zmenšení hysterese spínání pomocí vnějšího rezistoru R_H mezi neinvertujícím výstupem a vstupem obvodu TCA105

Rezistorem R_H s velkým odporem se nastavuje zpětná vazba z neinvertujícího výstupu (vývod 5) na vstup (vývod 2), čímž se zmenší hysterese. Velikost odporu zpětnovazebního rezistoru je závislá na tom, zda rezistorem zatěže, připojeným mezi výstup a napájecí napětí, právě protéká proud či nikoli.

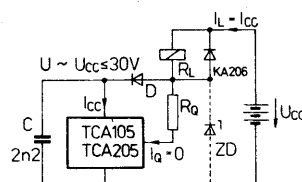
Jestliže je na vstupu vstupní napětí, které překročí prahovou úroveň, je zpětnovazební rezistor spojen výstupním tranzistorem na zemní potenciál, proto ze vstupu je odebírána takový proud, aby se kompenzovalo vnitřní hysterézni zapojení. Bude-li vstupní napětí menší než prahová úroveň, výstup se uzavře, vstup není zatěžován. Tato kompenzace je nezávislá na napájecím napětí. Odpor rezistoru R_H v rozsahu několika desítek $k\Omega$ ovlivňuje velikost hysterese.

Jinak je třeba postupovat, chceme-li využít invertujícího výstupu ke spínání zátěže. Jakmile je výstupní tranzistor uzavřen, je zpětnovazební rezistor R_H spojen přes zátěž R_L s napájecím napětím, takže nyní protéká do vstupu přidavný proud. Odpor rezistoru R_H se musí volit podstatně větší (rádové $M\Omega$). Mimoto je hystereze závislá na napájecím napětí.

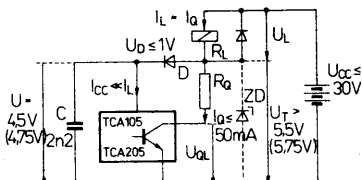
V obou případech se musí volit zpětnovazební rezistor tak, aby nenastalo překompensování hystereze, tzn. aby změny zatěžení vstupu při sepnutí byly tak velké, aby vstup měl úroveň opět pod nebo nad prahovou úrovni. Důsledkem překompensování je nízkofrekvenční rozkládání výstupu.

V některých případech je žádoucí nahradit mechanické spínače v elektronických přístrojích a systémech spínači elektronickými, aniž by bylo nutné zavést třetí vodič pro napájení spínače. Vhodný způsob řešení navrhoje zapojení na obr. 66 s integrovaným obvodem TCA105, popř. TCA205. Široký rozsah dovoleného napájecího napětí od 4,5 V u TCA105 (popř. od 4,75 V u TCA205) až do 30 V postačuje k dobré funkci prahového spínače v zapnutém i vypnutém stavu.

Rozdělením napěti mezi zátěž (v našem případě vinutí relé) a rezistor R_Q bude integrovaný obvod s výstupem v sepnutém stavu napájen dostatečně velkým napájecím na-



Obr. 66. Zapojení prahového spínače TCA105 nebo TCA205 jako spínací prvek s připojkou se dvěma vodiči



Obr. 67. Rozdělení napěti a proudů v zapojení podle obr. 66

pětim. Rozdělení všech napěti a proudů obvodu je na obr. 67. V uzavřeném stavu protéká zátěži základní proud okolo 3 mA (viz obr. 66).

Protože při přepnutí výstupu se napájecí napětí integrovaného obvodu velmi rychle změní, nemusí vždy stabilizační napětí do足atečně rychle reagovat na tuto změnu. Výsledkem mohou být silné záklmy na výstupu. Změny napěti se však mohou změnit připojením keramického kondenzátoru 2200 pF paralelně k napájení přímo na obvod, jak je patrné z obou obrázků.

Jestliže se použije zátěž indukčního charakteru (např. vinutí relé), musí se paralelně k indukčnosti připojit ochranná dioda (např. rychlá keramická dioda KA206) nebo Zenerova dioda s příslušným Zenerovým napětím paralelně k integrovanému obvodu, jak ukazuje zapojení na obr. 67.

Při návrhu zapojení platí pro sepnutý stav následující provozní podmínky:

$$\text{Napájecí napětí: } U_{CC} \leq 30 \text{ V.}$$

$$\begin{aligned} \text{Napětí na děliči: } U_R &= U_{CC} + U_D, \\ &U_T = (U_{CC} - U) = \end{aligned}$$

$$5,5 \text{ V (5,75 V u TCA205).}$$

$$\text{Zatěžovací proud: } I_L = U_L / R_L \leq 50 \text{ mA.}$$

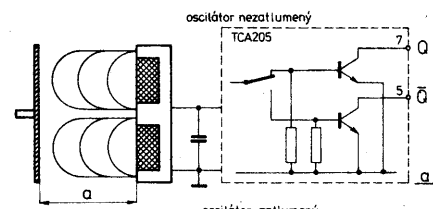
$$\text{Napěťový dělič: } \frac{R_Q}{R_L} = \frac{U_T - U_{QL}}{U_L},$$

kde U_{QL} závisí na velikosti proudu I_L (viz obr. 67).

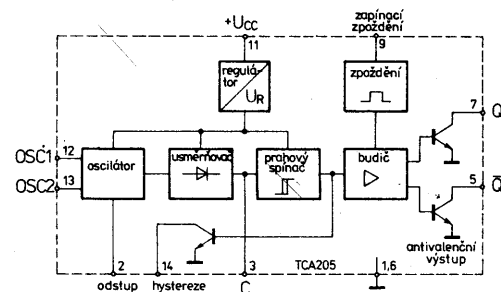
Přibližovací spínače TCA205A, TCA205K

Monolitické bipolární integrované obvody TCA205A, TCA205K jsou určeny speciálně ke konstrukci indukčních přiblížovacích spínačů s otevřeným kolektordvorným výstupem, jejichž funkční princip je zobrazen na obr. 68a a 68b. Spínače pracují s indukčním čidlem na vstupu. Při normálním provozu, kdy indukční čidlo není ničím ovlivňováno, je spínač sepnut a na výstupu Q obvodu je výstupní signál. Jakmile se přiblíží k cívce laděného obvodu na výstupu spínače např. kovový předmět, přepne se výstupní signál na výstup Q v důsledku útlumu kmitání oscilátoru.

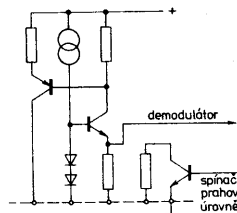
Oba spínači obvody se vyznačují širokým rozsahem napájecího napětí od 4,75 do 30 V, velkým dovoleným výstupním proudem, doplňkovými výstupy, nastavitelným odstupem spínání, nastavitelnou hysterezí a zpozděním při zapínání. Funkční skupino-



Obr. 68. Funkční princip přiblížovacího obvodu TCA205; na obr. a je stav oscilátoru v nezatlumeném stavu, na obr. b oscilátor utlumen přiblíženou kovovou destičkou



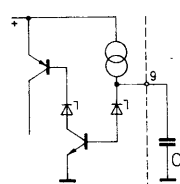
Obr. 69. Funkční skupinové zapojení obvodů TCA205A, TCA205K



Obr. 70. Vnitřní elektrické zapojení funkční skupiny oscilátoru obvodu TCA205

vé zapojení obvodu TCA205 je na obr. 69, z něhož je patrná úplná funkce spínače. Pro lepší názornost je na obr. 70 základní elektrické zapojení funkční skupiny oscilátoru, na obr. 71 zapojení skupiny zapoždění, na obr. 72 obvodu pro připojení integračního kondenzátoru a na obr. 73 doplňkových výstupů Q a \bar{Q} .

Popisované součástky dodává výrobce Siemens AG ve dvou typech pouzdra. TCA205A je v plastovém pouzdru DIP-14 s 2x sedmi vývody v rastru 2,54 mm a odstupem řad vývodů 7,6 mm, zapojení vývodů je patrné z obr. 74. Spínač TCA205K je v pouzdru MIKROPACK s vývody rozdělenými podle obr. 75 do dvou řad okolo čipu, který je připojen na nosné destičce. Zapojení vývodů je uvedeno na obrázku. Délka nosné destičky je 8 mm, šířka 4,2 mm. Vlastní čip je umístěn uprostřed nosné destičky, jejíž tloušťka včetně čipu je pouze 0,6 mm.

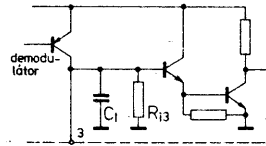


Obr. 71. Vnitřní elektrické zapojení funkční skupiny zapínacího zpozdění obvodu TCA205

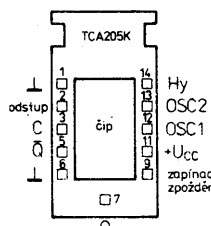
Tab. 3. Elektrické údaje spínačů prahové úrovně řady TCA105

Mezní údaje	
Napájecí napětí, U_{CC} [V]	≤ 30
TCA105, TCA105G, TCA105W	≤ 20
TCA105B, TCA105BW	≤ 30
Výstupní napětí – vývod 4 a 5, U_Q [V]	≤ 20
TCA105, TCA105G, TCA105W	≤ 30
TCA105B, TCA105BW	≤ 20
Výstupní proud, I_Q [mA]	50
Výstupní napětí ¹⁾ , U [V]	0
Spínací kmitočet, f_S [kHz]	40
Teplota přechodu, ϑ_t [°C]	125
Rozsah skladovací teploty, ϑ_{stg} [°C]	$= -55$ až $+125$
Tepelný odpad systém–okolí, R_{thsa} [K/W]	≤ 115
TCA105, TCA105B	≤ 200
TCA105G, TCA105BW, TCA105W	
Funkční rozsah	
Napájecí napětí, U_{CC} [V]	4,75 až 30
TCA105, TCA105G, TCA105W	4,75 až 20
TCA105B, TCA105BW	1 až 4,5
Oscilační kmitočet, f_{osc} [MHz]	-25 až $+85$
Rozsah teploty okolí v provozu, ϑ_a [°C]	
Charakteristické údaje	
Platí při $U_{CC} = 12$ V, $\vartheta_a = 25$ °C, $R_K = 5,6$ kΩ, statické měření v zapojení podle obr. 55, vývod 3 spojen s vývodem 1	
Spotřeba napájecího proudu, I_{CC} [mA]	jmen. 3,4; ≤ 5
Zapínací napětí s kompenzačním rezistorem $R_K = 5,6$ kΩ, U [mV]	jmen. 400; 300 až 480
Prahová úroveň vstupního proudu, I [μ A]	jmen. -60
Hystereze, U_{Hy} [mV]	jmen. 35; 20 až 50
Zbytkové napětí – úroveň L, U_{QL} [V]	jmen. 0,25; $\leq 0,35$
$I_Q = 16$ mA	$= U_{CC}$
Výstupní napětí – úroveň H, U_{QH} [V]	≤ 60
Závěrný proud – úroveň H, I_{QH} [μ A]	≤ 60
$U_{CC} = 30$ V, TCA105, TCA105G, TCA105W	
$U_{CC} = 20$ V, TCA105B, TCA105BW	
Zbytkové napětí – úroveň L, U_{QL} [V]	jmen. 0,7; $\leq 1,15$
$I_Q = 50$ mA	
Doba přepnutí v provozu TTL, t [μ s]	jmen. 3
$I_Q = 16$ mA	

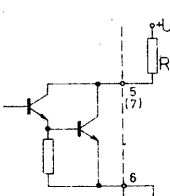
1) Záporné vstupní napětí se nesmí přivést na vstup obvodu.



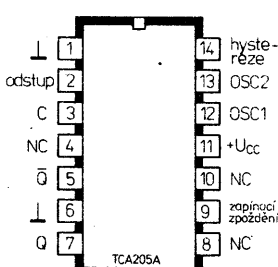
Obr. 72. Vnitřní elektrické zapojení funkční skupiny pro připojení integračního kondenzátoru C obvodu TCA205



Obr. 75. Zapojení vývodů integrovaného obvodu TCA205K



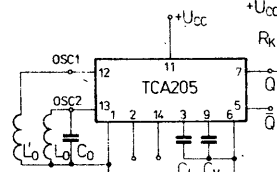
Obr. 73. Vnitřní elektrické zapojení funkční skupiny antivalentených výstupů Q a Q obvodu TCA205



Obr. 74. Zapojení vývodů TCA205A

Tab. 4. Elektrické údaje přiblížovacího spínače TCA205A, TCA205K

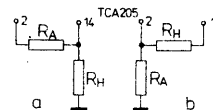
Mezní údaje	
Napájecí napětí, U_{CC} [V]	≤ 30
Výstupní napětí, U_Q [V]	≤ 20
Výstupní proud, I_Q [mA]	≤ 50
Teplota přechodu, ϑ_t [°C]	≤ 150
Rozsah skladovací teploty, ϑ_{stg} [°C]	$= -40$ až $+125$
Teplenný odpad systém–okolí, R_{thsa} [K/W]	≤ 85
Doporučené pracovní podmínky	
Napájecí napětí, U_{CC} [V]	4,75 až 30
Teplota okolí v provozu, ϑ_a [°C]	-25 až +85
Charakteristické údaje	
Platí při $U_{CC} = 12$ V, $\vartheta_a = 25$ °C	
Spotřeba napájecího proudu naprázdnou vývodu nezapojeny, I_{CC} [mA]	jmen. 1; ≤ 2
Výstupní napětí – úroveň L, U_{QL} [V]	jmen. 0,8; $\leq 1,0$
$I_{QL} = 5$ mA	jmen. 1,25; $\leq 1,5$
$I_{OL} = 50$ mA	≤ 10
Výstupní proud závěrný – úroveň H, I_{QH} [μ A]	jmen. 10
$U_{QH} = 30$ V	jmen. 350; 200 až 660
Integrační kondenzátor, C_2 [nF]	jmen. 1,3; $\leq 1,5$
Vnitřní odpor vývodu 3, R_{13} [kΩ]	≥ 6
Napájecí úroveň na vývodu 3, U_3 [V]	≥ 0
Odpor rezistoru pro nastavení odstupu zapojení obr. 77, R_A [kΩ]	≥ 6
Odpor rezistoru pro nastavení hysterese zapojení obr. 77, R_H [kΩ]	≥ 6
Odpor rezistoru pro nastavení odstupu zapojení obr. 77, R_A [kΩ]	≥ 6
$R_H \rightarrow \infty$ ¹⁾	≥ 6
Odpor rezistoru pro nastavení hysterese zapojení obr. 77, R_H [kΩ]	≥ 6
$R_A \rightarrow \infty$ ¹⁾	≥ 6
Doba zpozdění při zapnutí, t_V [ms/ μ F]	jmen. 200
Kmitočet oscilátoru, f_{osc} [MHz]	0,015 až 1,5
Spínací kmitočet bez kondenzátoru C_2 , f_S [kHz]	jmen. 0,015; ≤ 5

1) Paralelní zapojení rezistorů R_H a R_A musí mít odpor větší než 6 kΩ.

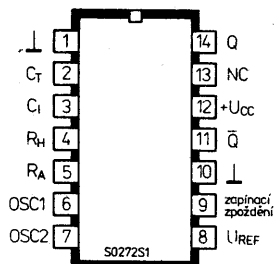
Obr. 76. Příklad zapojení obvodu TCA205 jako přiblížovací nebo drážkový spínač

a OSC_2 (vývody 12 a 13), pracuje obvod jako drážkový spínač.Rezistory pro nastavení odstupu, R_A , a hysterese spínání, R_H , se připojují u přiblížovacího zapojení s obvodem TCA205 podle požadovaného způsobu sériové nebo paralelní hysterese podle obr. 77a a 77b. Kapacita C_1 znamená v zapojení integrační kondenzátor 1 nF, C_V je zpozdovací kondenzátor. Jeho kapacita v μ F se volí podle požadované doby zpozdění podle vztahu.

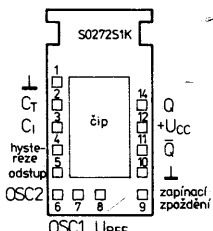
$$C_V = 4 \times \text{doba zpozdění} \quad [\mu\text{F}; \text{ms}]$$



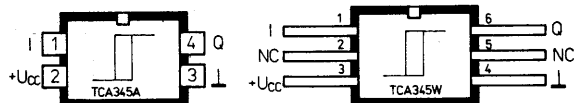
Obr. 77. Připojení rezistoru RA pro nastavení odstupu a rezistoru RH pro hysterese spínacího obvodu TCA205; a – pro sériovou hysterese; b – pro paralelní hysterese



Obr. 83. Zapojení vývodů S0272S1



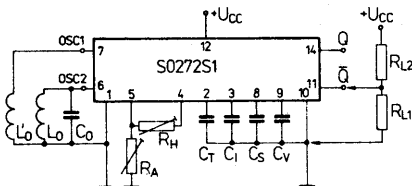
Obr. 84. Zapojení vývodů integrovaného obvodu S0272S1K



Tab. 6. Elektrické údaje přiblížovacího spínače S0272S1, S0272S1K

Mezní údaje	
Napájecí napětí, U_{CC} [V]	≤ 35
Výstupní proud, I_Q [mA]	≤ 120
Teplota přechodu, ϑ_a [$^{\circ}$ C]	≤ 150
Rozsah skladovací teploty, ϑ_{stg} [$^{\circ}$ C]	-55 až +125
Tepelný odpor systém-okolí, R_{lhsa} [kW]	
S0272S1	≤ 85
Doporučené pracovní podmínky	
Napájecí napětí, U_{CC} [V]	4,5 až 30
Teplota okolí v provozu, ϑ_a [$^{\circ}$ C]	-25 až +85
Charakteristické údaje	
Platí při $U_{CC} = 12$ V, $\vartheta_a = 25$ $^{\circ}$ C	
Spotřeba napájecího proudu naprázdno, vývody nezapojeny, I_{CC} [mA]	jmen. 2; $\leq 3,1$
Výstupní napětí - úroveň H, U_{QH} [V]	$\geq U_{CC} - 1,8$
$I_{QH} = 1$ mA	$\geq U_{CC} - 2,0$
$I_{QH} = 10$ mA	$\geq U_{CC} - 2,3$
$I_{QH} = 50$ mA	
Výstupní napětí - úroveň L, U_{QL} [V]	$\leq 0,9$
$I_{QL} = 1$ mA	$\leq 2,3$
$I_{QL} = 10$ mA	
Referenční napětí, U_{REF} [V]	jmen. 3,35; 3,0 až 3,7
$I_R = 0$	$\leq 0,5$
Zatížitelnost referenčního napětí, I_{REF} [mA]	60 až 120
Výstupní proud - úroveň H, $-I_{QH}$ [mA]	$-I_{QH}$ až 200
při zkratu hodinového signálu	10 až 30
Výstupní proud zkratový, $-I_{QK}$ [mA]	20 až 50
$U_Q = 0$ V	jmen. 1 : 20
$U_Q = U_{CC}$	jmen. 33; 20 až 40
Doba působení po zkratování, t_k [μ s]	≥ 100
$C_T = 22$ nF	0 až 10
Klikovací poměr signálu pro zjištění zkratu, P/P	≥ 6
Vnější kondenzátor hodinového signálu, C_T [n F]	jmen. 60
Integrační kondenzátor, C_I [p F]	$0,015$ až 1,5
Podpůrný kondenzátor, C_S [μ F]	
Odporník rezistoru pro nastavení odstupu (R_A) [k Ω]	
Odporník rezistoru pro nastavení hystereze spínání (R_H) [k Ω]	
Doba zpoždění při zapnutí, t_V [ms/ μ F]	
Kmitočet oscilátoru, f_{osc} [MHz]	

1) Paralelní zapojení rezistorů R_H a R_A musí mít odpor větší než 6 k Ω .



Obr. 85. Doporučené provozní zapojení int. obvodu S0272S1; s jednou cívkou připojenou ke vstupu OSC2 (vývod 6) pracuje jako přiblížovací spínač, se dvěma cívками jako drážkový spínač

tu s délkou 8 mm a šírkou 4,2 mm. Tloušťka substrátu včetně čipu je 0,4 mm. Zapojení vývodů tohoto obvodu je na obr. 84. Vývody jsou umístěny po stranách destičky.

Funkce vývodů: 1 – zemnicí bod; 2 – přípoj vnějšího kondenzátoru hodinového generátoru C_T ; 3 – přípoj vnějšího kondenzátoru hodinového generátoru C_I ; 4 – přípoj vnějšího rezistoru pro nastavení hystereze R_H ; 5 – přípoj vnějšího rezistoru pro nastavení odstupu R_A ; 6 – vstup oscilátoru OSC_1 ; 7 – vstup oscilátoru OSC_2 ; 8 – výstup referenčního napětí U_{REF} ; 9 – přípoj vnějšího

kondenzátoru pro nastavení zapínacího zpoždění C_V ; 10 – zemnicí bod; 11 – výstup Q ; 12 – přípoj kladného napájecího napětí; 13 – volný vývod; u typu SO272S1K je vývod vyhechán; 14 – výstup \bar{Q} .

Příklad zapojení obvodu S0272S1 je na obr. 85. S jednou cívkou laděného obvodu, připojenou mezi vstup OSC_2 a zem pracuje zapojení jako přiblížovací obvod, se dvěma cívками připojenými k vývodům OSC_1 a OSC_2 a zem jako drážkový spínač. Odpovědným trimrem R_H se nastavuje žádaná hystereze spínání, trimrem R_A se nastavuje spínací odstup mezi přiblížujícím se předmětem a laděným obvodem. Kondenzátor C_T slouží k nastavení požadovaného kmitočtu hodinového generátoru. C_I je integrační kondenzátor, C_S je podpůrný kondenzátor pro vyhlazení referenčního napětí. Příslušné údaje těchto součástek jsou uvedeny v tabulce elektrických údajů (tab. 6). Kapacita kondenzátoru C_V (v μ F) se stanoví jako čtyřnásobek požadované doby zpoždění (v ms). K nastavení správné vzdálenosti pro spínání je možno využít grafické závislosti na obr. 78, která platí pro spínač TCA205.

Spínače prahové úrovne TCA345A, TCA345W

Monolitické integrované obvody TCA345A, TCA345W jsou spínače prahové úrovne, jejíž velikost je lineárně závislá na použitém napájecím napětí. K výstupu spínače se může připojit odpovídající indukční

Obr. 86. Zapojení vývodů spínačů prahové úrovne TCA345A, TCA345B

Tab. 7. Elektrické údaje spínače prahové úrovne TCA345A, TCA345W

Mezní údaje	
Napájecí napětí, U_{CC} [V]	≤ 10
Výstupní proud, I_Q [mA]	≤ 70
Vstupní napětí, I [V]	0 až U_{CC}
Zatěžovací indukčnost, L_Q [mH]	≤ 500
Teplota přechodu, ϑ_j [$^{\circ}$ C]	≤ 125
Rozsah skladovací teploty, ϑ_{stg} [$^{\circ}$ C]	-55 až +125
Tepelný odpor systém-okolí, R_{lhsa} [kW]	
TCA345A	≤ 140
TCA345W	≤ 200
Doporučené provozní podmínky	
Napájecí napětí, U_{CC} [V]	2 až 10
Teplota okolí v provozu, ϑ_a [$^{\circ}$ C]	-25 až +85
Charakteristické údaje	
Platí při $\vartheta_a = 25$ $^{\circ}$ C	
Spotřeba napájecího proudu, I_{CCH} [mA]	jmen. 0,55; $\leq 0,8$
$U_{CC} = 2$ V, $I_Q = 0$ mA	jmen. 1,35; $\leq 2,0$
$U_{CC} = 5$ V, $I_Q = 0$ mA	
Spotřeba napájecího proudu, I_{CCL} [mA]	jmen. 1,85; $\leq 3,0$
$U_{CC} = 2$ V, $I_Q = 40$ mA	jmen. 7,00; $\leq 9,0$
$U_{CC} = 5$ V, $I_Q = 40$ mA	
Zbytkové napětí výstupu, U_{QL} [mV]	jmen. 150; ≤ 300
$U_{CC} = 2$ V, $I_Q = 40$ mA	
Závěrný proud výstupu, I_{QH} [μ A]	≤ 30
$I_Q = 10$ V	
Spínací prahová úroveň, U_I [V]	jmen. 0,66 U_{CC}
$U_{CC} = 2$ až 10 V	$0,63 U_{CC}$ až 0,69 U_{CC}
jinak	
Chyba linearity spínací prahové úrovne (vztaženo na $U_{CC} = 2$ V), a [%]	≤ 3
Hystereze ΔU_I (v % napájecího napětí U_{CC})	
$U_{CC} = 2$ V	jmen. 10; 6 až 15
$U_{CC} = 5$ V	jmen. 20; ≥ 6
$U_{CC} = 10$ V	jmen. 20; ≥ 6
Vstupní proud, I [nA]	jmen. 10; ≤ 30
Zenerovo napětí na výstupu [V]	jmen. 13,6; 11 až 15
Teplotní závislost spínací prahové úrovne [ppm/K]	jmen. 30

1) Měřeno při zvětšujícím se vstupním napětí

záťěž bez ochranné diody. Spínače se využívají velmi velkou vstupní impedancí, výstup se může zatěžovat velkým proudem až do 70 mA, optimálně volená hystereze zajišťuje dobrou stabilitu spínače. Obvody jsou slučitelné s logickými členy logiky TTL. K provozu spínače je zapotřebí minimální počet vnějších součástek, a co je nejdůležitější, k napájení postačí napětí jíž od 2 V.

Součástky se dodávají ve dvou typech miniaturních pouzder. TCA345A je v pouzdru DIP-4 s 2x dvěma vývodami v rastru 2,54 mm a odstupem řad vývodů 7,6 mm, TCA345W v miniaturním pouzdru s 2x třemi páskovými vývodami s odstupem 1,27 mm na dvou protilehlých stranách pouzdra, délka vývodů asi 6,5 mm. Zapojení vývodů je na obr. 86,

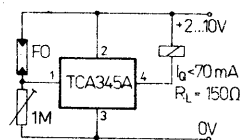
Funkce vývodů:

TCA345A: 1 – vstup I; 2 – přípoj kladného napájecího napětí U_{CC} ; 3 – zemnici bod: 4 – výstup Q.

TCA345W: 1 – vstup I; 2 – nezapojený vývod; 3 – přípoj kladného napájecího napětí U_{CC} ; 4 – zemnici bod; 5 – nezapojený vývod; 6 – výstup Q. Součástka je na pouzdro barevně značena žlutou a hnědou tečkou.

Typická provozní zapojení

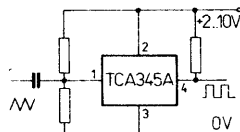
Nejjednodušší stmívací spínač s obvodem TCA345 je navržen na obr. 87. Mezi vstupem obvodu a napájecím napětím je připojen fotorezistor FO. Urovní spínání se nastaví odporovým trimrem R_T s odporem 1 M Ω . K výstupu je připojeno relé (jako



Obr. 87. Stmívací spínač s obvodem TCA345

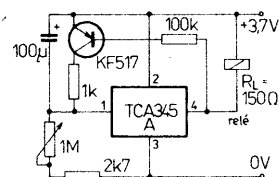
pracovní odpor), které spíná v závislosti na osvětlení fotorezistoru připojeného spotřebiče.

Princip převodníku napětí pilovitého průběhu na výstupní pravoúhlé signály, který pracuje se spínačem TCA345, ukazuje zařazení na obr. 88.



Obr. 88. Základní zapojení převodníku pilovitého signálu na výstupní signál s pravoúlým průběhem s obvodem TCA345

Generátorem pomalých impulsů s obvodem TCA345 v zapojení na obr. 89 je možno



Obr. 89. Generátor pomalých impulsů s obvodem TCA345

spínat připojené zátěže jako např. blikající reklamy, neonová osvětlení apod. Obvod pracuje s vnějším tranzistorem p-n-p (např. KF517) a tantalovým kondenzátorem 100 μ F, které určují kmitočet blikání. Potenciometrem P_1 se řídí vstupní úroveň klopného obvodu.

telnou diodou. Funkční skupinová zapojení popisovaných obvodů jsou na obr. 90 pro B303D, B304D, na obr. 91 pro B305D, na obr. 92 pro B306D.

Integrované obvody B303D, B304D, B305D jsou v plastovém pouzdru DIL-14 s 2x sedmi vývody, B306D ve zkráceném plastovém pouzdru DIL-8 s 2x čtyřmi vývody v rastru 2,54 mm ve dvou řadách s odstupem řad vývodů 7,5 mm.

Funkce vývodů: B303D, B304D, B305D: 1 – emitor tranzistoru T_1 E_{T1}; 2 – kolektor tranzistoru T_1 C_{T1}; 3 – vstup zesilovače I_1 ; 4 – výstup zesilovače O_1 ; 5 – výstup zesilovače O_2 ; 6 – výstup koncového stupně Q; 7 – vývod pro nastavení hystereze odstupu spinání H u B303D, B304D; pripoj napájecího napětí U_{CC} u B305D; 8 – programovací vstup I_P ; 9 – zemnicí bod GND; 10 – výstup koncového stupně Q; 11 – přípoj napájecího napětí U_{CC} u typů B303D, B304D; vývod pro připojení světelné diody LED u B305D; 12 – přípoj integračního kondenzátoru C; 13 – výstup stabilizovaného napětí U_{AU} ; 14 – báze tranzistoru T_1 , B_{T1}.

B306D: 1 – výstup zesilovače I_1 ; 2 – výstup zesilovače O_1 ; 3 – výstup zesilovače O_2 ; 4 – výstup koncového stupně Q; 5 – zemnicí bod GND; 6 – výstup koncového stupně Q; 7 – přípoj napájecího napětí U_{CC} ; 8 – přípoj integračního kondenzátoru C.

Popis funkce

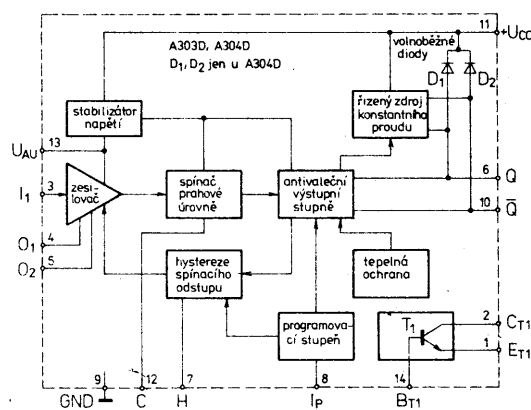
Vnitřní elektrické zapojení obvodů B303D, B304D je na obr. 93, B305D na obr. 94, B306D na obr. 95. K této zapojení se vztahuje následující popis funkce. Vnitřní stabilizované napětí, které zajišťuje zapojení s tranzistory T_2 až T_{11} , rezistory R_2 až R_4 , dovoluje používání spínačů s napájecím napětím od 4,75 do 30 V, popříp. od 9 do 30 V u typu B305D. Připojené funkční skupiny jsou napájeny vnitřně stabilizovaným napětím asi 3 V. Toto napětí je vyvedeno též na vývod U_{AU} (mimo B306D), odkud se může odebrat proud nejvýše 3 mA při napájení obvodu napětím do 20 V. Vývod U_{AU} se může v případě potřeby zatižit kapacitou až do 100 nF.

Konstantní proud 250 μ A, který protéká rezistorem R_3 , se dělí na tranzistory T_2 až T_3 a vytváří na řadě diod T_6 až T_{10} konstantní napětí, které je vyvedeno tranzistorem T_5 .

Ke spuštění funkce popsané síťové částí je nutný malý náběhový proud, který se vyrábí na rezistoru R_2 , připojeném mezi emitor tranzistoru T_4 a propojené báze T_2 a T_3 . Síťová část nemá proto ohmický charakter a zaručuje v celém rozsahu napájecího napětí malou, přibližně konstantní spotřebu napájecího proudu. Tranzistorem T_{11} je spojen s rezistorem R_4 se nastavuje konstantní proud programovacího stupně a spínače prahové úrovni.

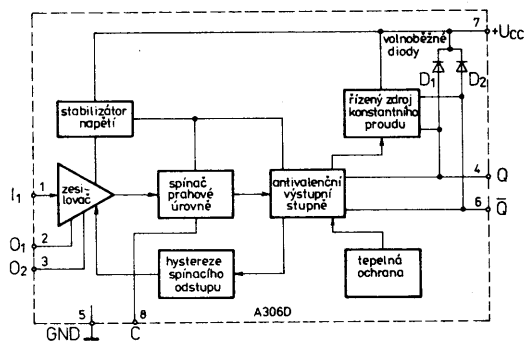
Vstupní zesilovač, vytvořený tranzistory T_{12} až T_{14} a rezistory R_5 až R_{12} , je hlavní funkční skupinou obvodu viz obr. 96. Ve spojení s indukčním čidlem se může zesilovač používat jako oscilátor. Oscilátor pracuje

Obr. 90. Funkční skupinové zapojení spínačů prahové úrovni B303D, B304D

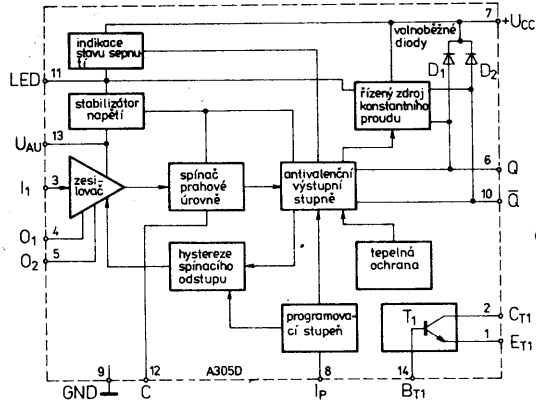


Tab. 8. Přehled funkcí spinacích obvodů prahové řady B303D

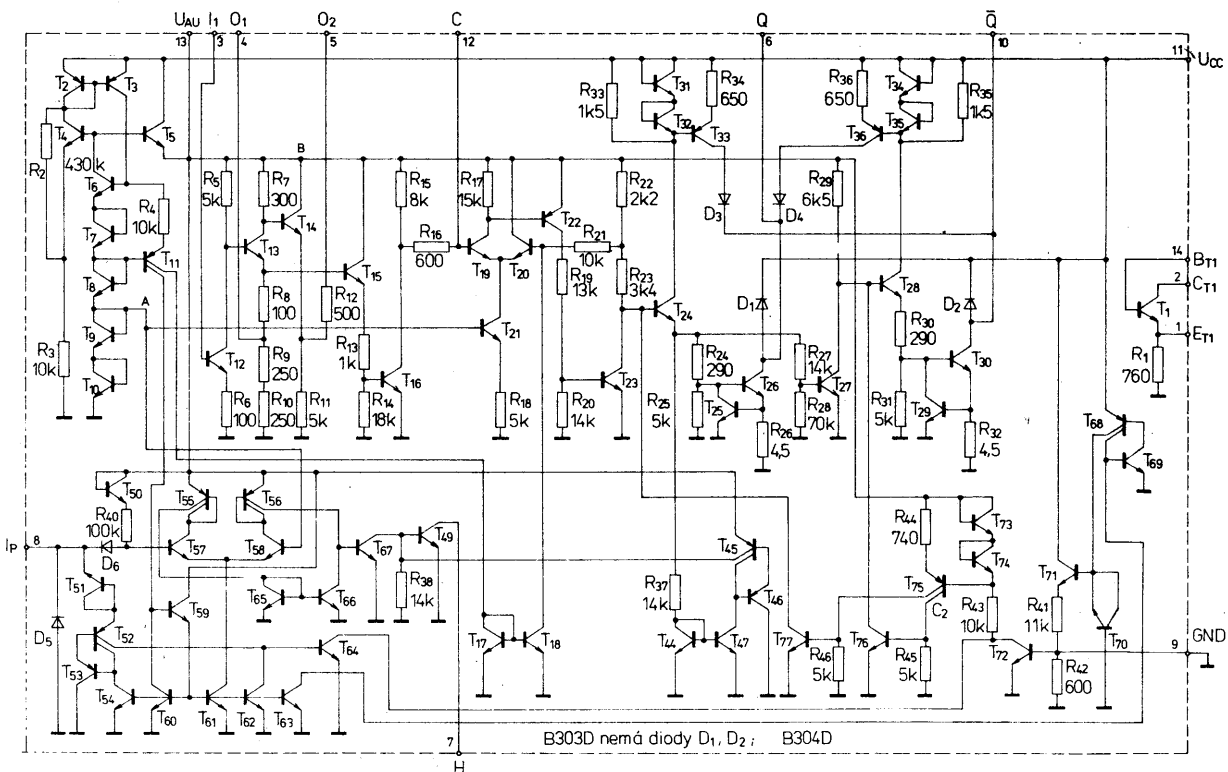
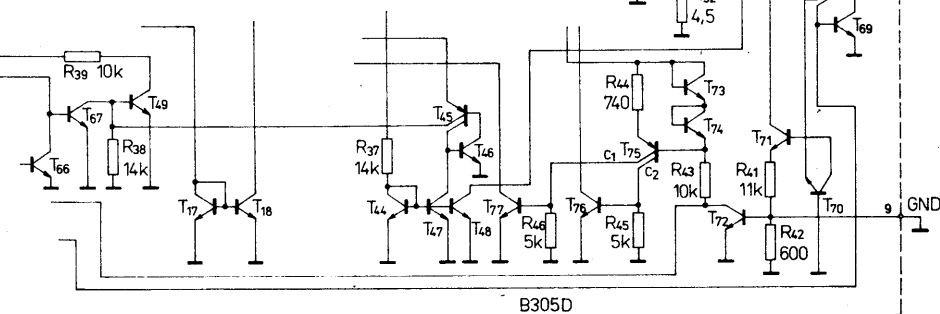
Typ	B303D	B304D	B305D	B306D
Hystereze spinacího odstupu programovatelná	ano	ano	ano	ne
plynule nastavitelná	ano	ano	ne	ne
pevně nastavitelná	ne	ne	ne	ano
Zobrazení sepnutého stavu	ne	ne	ano	ne
Přídavný tranzistor T ₁	ano	ano	ano	ano
Volnoběžné diody	ne	ano	ano	ano



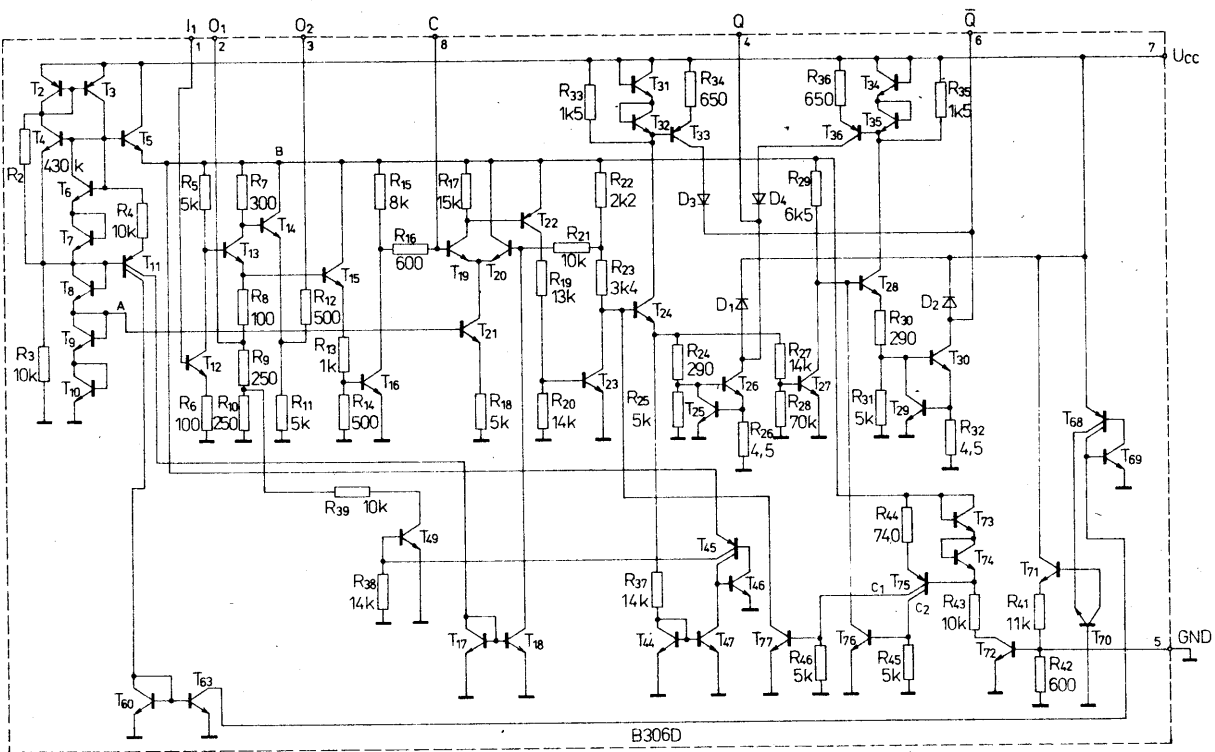
Obr. 92. Funkční skupinové zapojení spínače prahové úrovni B306D



Obr. 94. Vnitřní elektrické zapojení obvodu B305D



Obr. 93. Vnitřní elektrické zapojení obvodů B303D, B304D

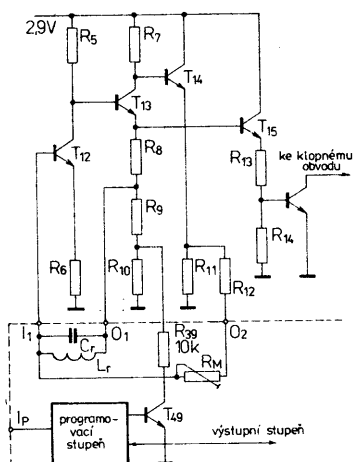


Obr. 95. Vnitřní elektrické zapojení obvodů B306D

pouze se dvěma součástkami – cívkou a kondenzátorem, které vytvoří stabilní oscilátor. K různým typům čidél se mohou tyto součástky snadno přizpůsobit.

K zesilovacímu stupni s tranzistorem T_{12} je připojen obraceč fáze s tranzistorem T_{13} se dvěma zpětnými vedeními. K zajištění vazby s malou impedanci slouží oddělovací stupeň s tranzistorem T_{14} , zapojeným jako emitorový sledovač.

Zpětná vazba působí přes paralelní rezonanční obvod CrLr. Pracovní bod zesilovacího stupně se nastavuje přes cívku přímo, takže nejsou zapotřebí žádné přídavné stabilizační prvky. Uvedený způsob nastavení pracovního bodu působí rovněž stabilizuujícím vlivem na pracovní bod obraceče fáze. Následující připojené integrační zapojení je proto možné přímo galvanicky připojit k předcházejícímu obraceči fáze. Pomocí vnějšího zpěnovazebního rezistoru R_M



Obr. 96. Elektrické zapojení zesilovače, programovacího a integračního stupně obvodů řady B303D

a vnitřního sériového ochranného rezistoru R_{12} se nastavují podmínky kmitání oscilátoru. Rezistor má splňovat podmínu

$$2 \text{ k}\Omega \leq R_M \leq 12 \text{ k}\Omega.$$

V typickém zapojení se pracuje se středním odporem $8 \text{ k}\Omega$. Přerušení kmitání oscilátoru útlumem kovovým okolím dodává na výstupu zpětné vazby příslušný signál pro integrační zapojení.

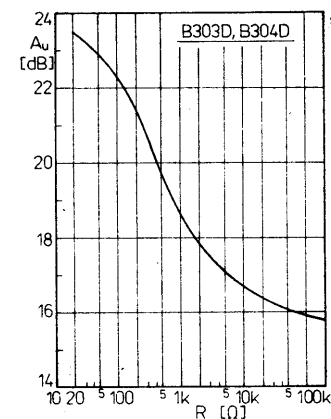
Odpor emitoru a tím zesílení prvního stupně nelze měnit zvenku. Emitorový rezistor v obraceči fáze je rozdělen do tří dílčích rezistorů proto, aby bylo možno měnit hysterezi spínacího odstupu změnou zesílení. Zesílení této funkční skupiny mezi vývody I_1 a O_2 je typicky 14 dB . Programovacím zapojením, které tvoří tranzistory T_{50} až T_{67} a diody D_5 , D_6 , je možné u obvodů B303D, B304D a B305D ovlivňovat v určitých stupních zesílení. Diferenční zesílovač s tranzistory T_{57} , T_{58} pracuje s konstantním průtokem proudu, přičemž báze tranzistoru T_{58} má pevně předpřetí o velikosti $2U_{BE}$. Jestliže se vstup I_P připojí na zemní potenciál, budou tranzistory T_{58} , T_{56} , T_{67} vodivé, T_{49} bude uzavřen. Při otevřeném vstupu I_P je tranzistor T_{57} vodivý, T_{58} , T_{56} , T_{67} uzavřený takže T_{49} bude vodivý. Tím je rezistor R_{39} připojen paralelně k R_{10} a zesílení se zvětší. Velikost změny zesílení činí asi $0,2 \text{ dB}$. Toto řešení slouží k programování hysterezy odstupu spinání v případě používání induktivních senzorů.

U integrovaných obvodů B303D, B304D je kolektor tranzistoru T_{49} vyuveden na vnější vývod H. Jestliže se mezi vývod O₁ a vývod H připojí vnější rezistor, je možné plynule nastavovat zesílení a hysterezi odstupu spinání. Závislost zesílení na vnějším rezistoru R je znázorněna na obr. 97. Zesílení je možné zvětšit asi o 8 dB . Vývod H se může zatížit kapacitou nejvyšši $6,8 \text{ nF}$.

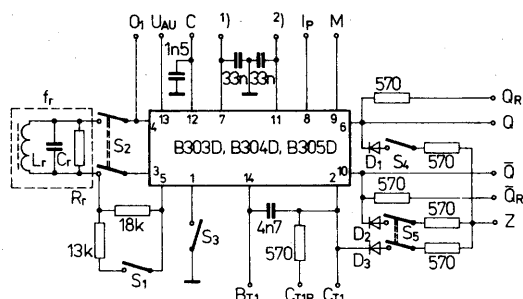
Účinek programování je závislý na tranzistoru T_{24} , tj. na výstupu Q. Je-li na výstupu Q napěťová úroveň L, sepne vodivý tranzistor T_{24} proudovou banku (tvoří ji tranzistory T_{44} až T_{48} , rezistor R_{37}), která umožní zvýšení tranzistoru T_{49} vstupem I_P . Je-li na výstupu úroveň H, je tranzistor T_{49} uzavřen ať je jakákoli napěťová úroveň na vstupu I_P .

Připojíme-li na vstup I_P napětí od 10 do 30 V , připojené sériové zapojení se Zenerovou diodou T_{54} a proudové zrcadlo T_{52} otevře tranzistor T_{54} a sepne přes nasycený tranzistor T_{64} oba výstupy stavu velké impedance. Tím se může kdykoliv přesně určit začátek a konec pracovního stavu spínače. Před zápornými napěťovými špičkami je třístavový programovací vstup I_P chráněn záchrannou diodou.

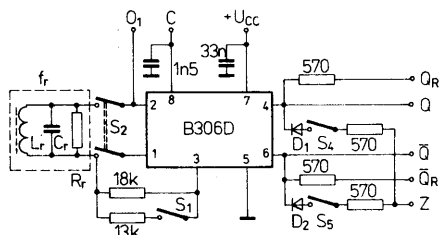
V integračním zapojení, které tvoří tranzistory T_{15} , T_{16} , rezistory R_{13} až R_{16} , pracuje tranzistor T_{15} . Podstatně velký vstupní odpor nezatěžuje oscilační napětí a neprojevuje se žádné skoky při spinání. Kondenzátor připojený k vývodu C integruje napětí příslušnou časovou konstantou. Kondenzátor se při uzavřeném tranzistoru T_{16} nabije přes rezistory R_{15} a R_{16} . Špičky kladné půlvlny oscilačního napětí nasytí tranzistor T_{16} a integrační kondenzátor se „přebije“ přes rezistor R_{16} . Kmitání, popř. klidový stav oscilátoru vysílá na výstup integračního zapojení dvě definované napěťové úrovně, které vyhodnocuje následující spínač prahové úrovni a vytváří řídicí signál pro antivenční koncový stupeň.



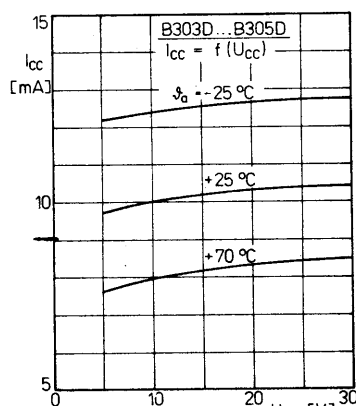
Obr. 97. Závislost zesílení obvodů řady B303D a B304D na odporu rezistoru R, připojeného mezi vývody O₁ a H



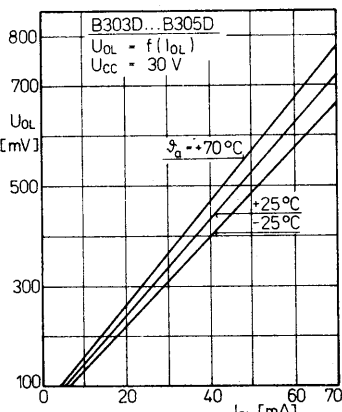
Obr. 100 Měřicí zapojení obvodů B303D, B304D, B305D



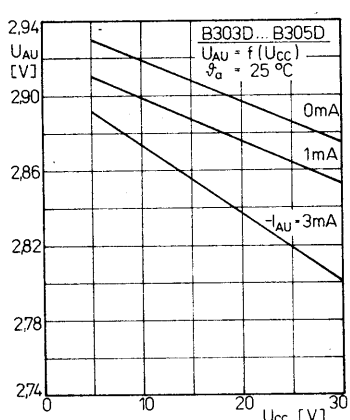
Obr. 101. Měřicí zapojení obvodu B306D



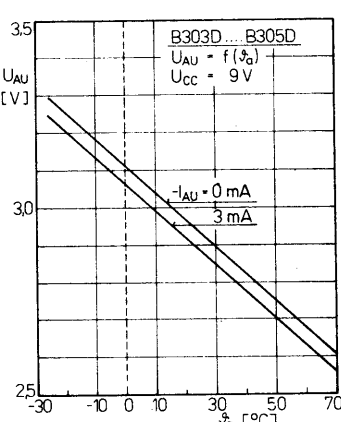
Obr. 102. Spotřeba napájecího proudu obvodu B303D v závislosti na napájecím napětí



Obr. 103. Výstupní napětí v úrovni L obvodu B303D v závislosti na výstupním proudu v úrovni L



Obr. 104. Vnitřní stabilizované napětí na vývodu UAU na napájecím napětí obvodů B303D až B305D při zatěžovacích proudech 0,1 a 3 mA



Obr. 105. Vnitřní stabilizované napětí na vývodu UAU na teplotě okolí v provozu obvodů B303D až B305D

Tab. 9. Elektrické údaje spínačů prahové úrovně B303D, B304D, B305D, B306D

Mezní údaje		
Napájecí napětí B303D, B304D, B306D B305D	$U_{CC} = 4,75 \text{ až } 30 \text{ V}$	V
Výstupní napětí – úroveň H B303D B304D, B305D, B306D	$U_{OH} = 0 \text{ až } 30 \text{ V}$	V
Výstupní proud – úroveň L Napětí na programovacím vstupu I_P B303D, B304D, B305D	$I_{OL} = 0 \text{ až } 70 \text{ mA}$	mA
Proudové zatížení stabilizovaného napětí ¹⁾ B303D, B304D, B305D ¹⁾	$I_{IP} = 0 \text{ až } 30 \text{ mA}$	V
Napětí kolektor-emitor tranzistoru T_1 , B303D, B304D, B305D	$-I_{AU} = 0 \text{ až } 3 \text{ mA}$	mA
Proud báze tranzistoru T_1 , B303D, B304D, B305D	$I_{BT1} = 0 \text{ až } 5 \text{ mA}$	mA
Ztrátový výkon tranzistoru T_1 ²⁾ B303D, B304D, B305D	$P_{T1} \leq 300 \text{ mW}$	mW
Ztrátový výkon celkový $\theta_a = 25^\circ \text{C}$	$P_{tot} \leq 700 \text{ mW}$	mW
Rozsah provozní teploty okolí Teplota přechodu	$\theta_a = -25 \text{ až } +70^\circ \text{C}$	°C
	$\theta_j \leq 150^\circ \text{C}$	°C

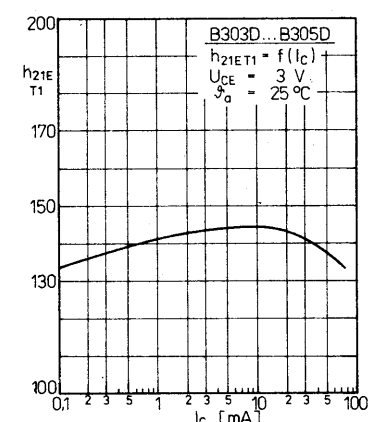
Charakteristické údaje

Platí pro B303D, B304D, B306D při $U_{CC} = 4,75 \text{ až } 30 \text{ V}$, B305D při $U_{CC} = 9 \text{ až } 30 \text{ V}$, měřeno v zapojení na obr. 101, $\theta_a = 25^\circ \text{C} - 5 \text{ K}$, není-li uvedeno jinak.

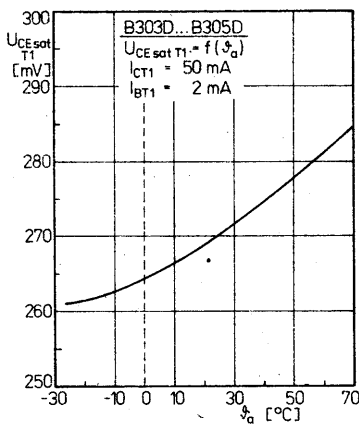
Spotřeba napájecího proudu $U_{CC} = 30 \text{ V}$, S_1, S_2 sepnut, S_3, S_4, S_5 otevřen	$I_{CC} \leq 15 \text{ mA}$	mA
Výstupní napětí na výstupech Q a \bar{Q} $U_{CC} = 30 \text{ V}$, napětí na $Q_R, Q_R = 30 \text{ V}$, úroveň L, S_2 sepnut, S_3, S_4, S_5 otevřen, S_1 sepnut nebo otevřen	$U_{OL} \leq 1,15 \text{ V}$	V
Výstupní proud výstupu Q a \bar{Q} $U_{CC} = 30 \text{ V}$, napětí na $Q_R, Q_R = 30 \text{ V}$, úroveň H, S_2 sepnut, S_3 otevřen, S_4, S_5 sepnut jen na měřený výstup, S_1 sepnut – otevřen, popříp. otevřen – – sepnut	$I_{OH} \leq 20 \mu\text{A}$	μA
Konstantní proud výstupu Q, \bar{Q} úroveň H, S_2 sepnut, S_3, S_4, S_5 otevřen, S_1 otevřen nebo sepnut	$-I_{OK} = 0,3 \text{ až } 1,5 \text{ mA}$	mA
Výstupní proud vývodu I_p $U_{CC} = 30 \text{ V}, I_{IP} = 0 \text{ V}, S_1 \text{ až } S_5$ otevřen, úroveň L, B303D, B304D, B305D	$-I_{IP} \leq 100 \mu\text{A}$	μA
Vstupní proud vývodu I_p $U_{CC} = 30 \text{ V}, I_{IP} = 30 \text{ V}, S_1 \text{ až } S_5$ otevřen, úroveň H, B303D, B304D, B305D	$I_{IP} \leq 500 \mu\text{A}$	μA
Saturační napětí kolektor-emitor tranzistoru T_1 , $I_{BT1} = 2 \text{ mA}, U_{CT1} = 30 \text{ V}, S_3$ sepnut, S_1, S_2, S_4, S_5 otevřen	$U_{CE sat} T_1 \leq 400 \text{ mV}$	mV

1) Proudové zatížení stabilizovaného napětí závisí na velikosti napájecího napětí.

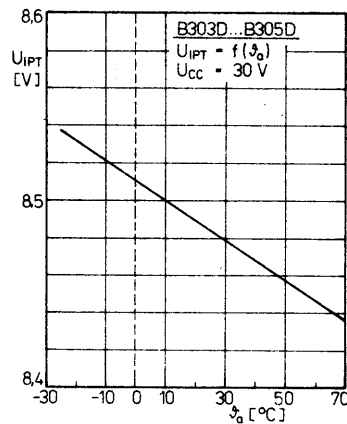
2) Ztrátový výkon tranzistoru T_1 je závislý na napájecím napětí.



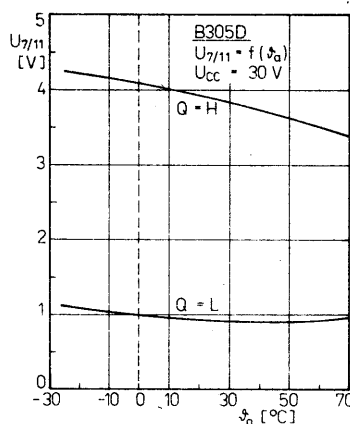
Obr. 106. Průběh proudového zesílení jednotlivého tranzistoru T_1 v závislosti na proudu kolektoru při malém napětí kolektor-emitor 3 V



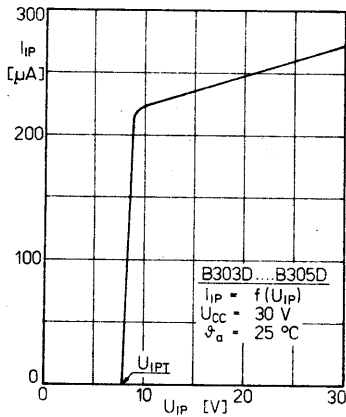
Obr. 107. Závislost průběhu saturačního napětí kolektor-emitor jednotlivého tranzistoru T_1 na teplotě okolí



Obr. 110. Závislost působení napětí na programovacím vstupu obvodů B303D až B305D na teplotě okolí



Obr. 113. Napětí mezi vývodom LED a napájecím napětím v úrovni H a L v závislosti na teplotě okolí obvodu B305D

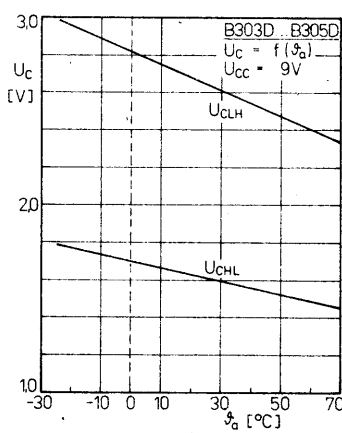


Obr. 108. Průběh vstupního proudu v úrovni H programovacího vstupu obvodů B303D až B305D v závislosti na napětí přivedeném na programovací vstup

v závislosti na proudu kolektoru znázorňuje obr. 106, průběh saturačního napětí kolektor-emitor v závislosti na teplotě v celém dovoleném rozsahu obr. 107.

Další důležitou vlastností obvodů B303D až B305D je vstupní proud programovacího vstupu I_P (vývod 8). Průběh vstupního proudu v úrovni H v závislosti na přivedeném vstupním napětí na programovací vstup je uveden na obr. 108 při napájecím napětí 30 V, průběh vstupního proudu v úrovni L je znázorněn na obr. 109.

Nejdůležitější teplotní závislost prahové úrovne na vývodu C obvodů B303D až



Obr. 111. Napětí spouštěcích bodů na vývodu C v úrovni H a L v závislosti na teplotě okolí obvodů B303D až B305D

B305D na obr. 110 platí v celém rozsahu dovolených teplot při napájecím napětí 30 V. Na obr. 111 je znázorněn průběh spínacích bodů prahové úrovne v úrovni H a L na vývodu C v závislosti na teplotě okolí v provozu při napájecím napětí 9 V.

Nakolik se mění maximální proudové zatížení vývodu C u všech typů spinacích obvodů B303D až B306D na teplotě okolí v provozu ukazuje obr. 112. Při vyšších teplotách se musí počítat s klesajícím zatěžovacím proudem.

Elektrické vlastnosti obvodu B305D do- plňuje grafická závislost průběhu napěti

mezi vývodom LED pro připojení světelné diody (vývod 11) a vývodom 7 pro připojení napájecího napětí a to v nízké a vysoké úrovni v závislosti na teplotě, znázorněna na obr. 113.

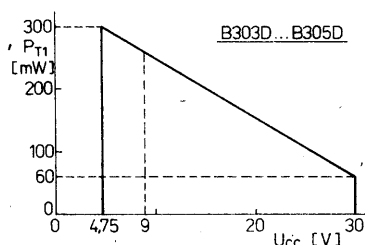
Obr. 114 definuje dovolený rozsah ztrátového výkonu samostatného tranzistoru T_1 u obvodů B303D až B305D v závislosti na napájecím napětí, na obr. 115 je graficky znázorněno dovolené proudové zatížení stabilizovaného napětí na vývodu U_{AU} v závislosti na napájecím napěti.

Provozní doporučení

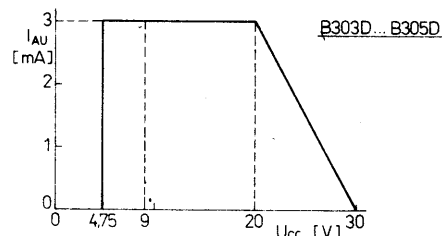
Přívod napájecího napětí se musí blokovat kondenzátorem s kapacitou od 10 do 100 nF co nejtěsněji k integrovanému obvodu.

Vnitřní stabilizované napětí (asi 2,9 V) na vývodu 13 se může zatěžovat proudem nejvíce 3 mA a to do napájecího napětí 20 V. Při vyšším napájecím napětí se musí zatěžovací proud lineárně snížit podle obr. 115.

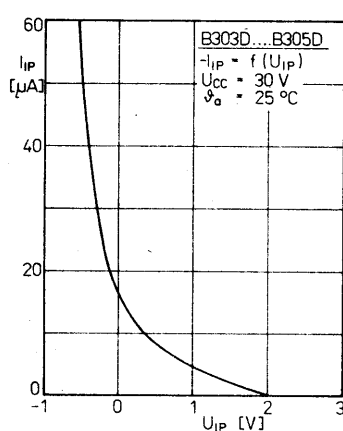
Výstupy integrovaných obvodů B304D až B306D jsou chráněny vnitřními volnoběžnými diodami proti působení indukčních napěťových špiček. Výstupní stupeň těchto



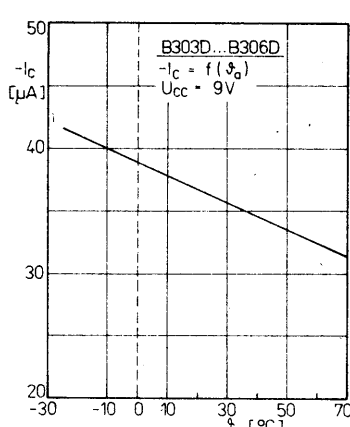
Obr. 114. Oblast dovoleného ztrátového výkonu tranzistoru T_1 obvodů B303D až B305D v závislosti na napájecím napětí



Obr. 115. Oblast dovoleného proudového zatížení stabilizovaného napětí v závislosti na napájecím napětí obvodů B303D až B305D



Obr. 109. Průběh vstupního proudu v úrovni L programovacího vstupu obvodů B303D až B305D v závislosti na malém napětí přivedeném na programovací vstup



Obr. 112. Maximální proudové zatížení vývodu C v závislosti na teplotě obvodů B303D až B306D

obvodů se proto nemůže napájet vyšším napětím než je napájecí napětí. Pro obvod B303D toto omezení neplatí, neboť nemá integrovanou volnoběžnou diodu.

Maximální zatěžovací proud výstupů je u všech typů obvodů 70 mA. Výstupy jsou opatřeny proudovým omezováním při zkratu výstupu, které začíná působit při zkratovém proudu asi 130 mA.

Všechny čtyři spínací obvody jsou vybaveny tepelnou ochranou, která začíná působit při dosažení teploty čipu 150 °C tak, že na obou výstupech se projeví napěťová úroveň H.

Jestliže je na jednom výstupu napěťová úroveň H, může se z tohoto výstupu odebírat konstantní proud okolo 1 mA.

Vhodným zapojením programovacího vstupu je možné měnit zesílení předzesilovače. Je-li vstup I_P nezapojen, zesílení předzesilovače je velké, je-li vstup I_P připojen na zemní potenciál, je zesílení malé.

Použije-li se na vstupu spínacích indukční čidlo, provádí se programování na vývodu 8 takto: Je-li vstup I_P spojen se zemí, je malá hysterese spínání, je-li vstup I_P nezapojen, je hysterese spínání velká.

Jestliže se připojí na vstup I_P napětí od 10 do 30 V, bude na obou výstupech napěťová úroveň H.

U integrovaných obvodů B303D a B304D se může zesílení nastavovat plynule a to rezistorem s odporem mezi 200 Ω a 200 kΩ mezi vývody 4 a 7. Přepínáním odporu se může zesílení programovat, použitím kvalitního potenciometru plynule nastavovat.

K vývodu C se může připojit jako integrační kapacita též elektrolytický kondenzátor, ten ovšem nesmí mít zbytkový poroud větší než 20 μA.

Mezi vývody 7 a 11 u obvodu B305D se může připojit jakákoliv světelná dioda, která se rozsvítí, jakmile je na výstupu Q potenciál s úrovní H.

Všechny spínací obvody se mohou zatěžovat kapacitně. Připojený kondenzátor na jednotlivých dale k jmenovaných vývodech má mit kapacitu dále uvedenou:

Vnitřní stabilizované napětí $U_{AU} = 100$ nF, výstup Q, popříp. \bar{Q} při napájecím napětí 30 V kapacitu 560 pF, při napětí 4,75 V kapacitu 22 nF.

Vývod pro nastavení hysterese spínání (H) kapacitu 6,8 nF.

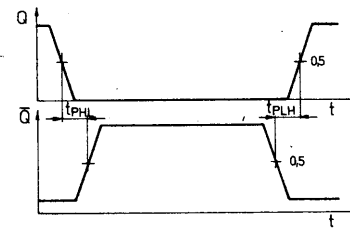
Jestliže se využije samostatný tranzistor T_1 , musí se vývod 9 vždy spojit se zemí. Předzesilovač a spouštěcí obvod se mohou používat samostatně, neboť jsou na sobě nezávislé, což dovoluje využití obvodů pro nejrůznější zapojení.

Spínací časy

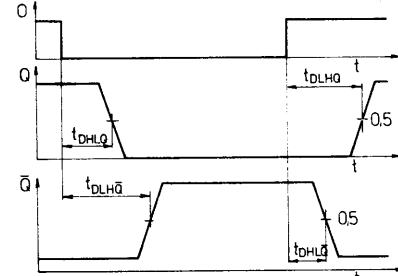
Klopného obvodu všech spínacích obvodů řady B303D se může využít odděleně od ostatních funkčních skupin, integrovaných na čipu. K využití klopného obvodu ve spojení s výstupními stupni je potřebná informace o spínacích časech tohoto stupně. Základní definice spínacích časů mezi výstupy Q a \bar{Q} a definice doby zpoždění klopného obvodu jsou znázorněny na obr. 116 a 117. Uvedené průběhy platí za podmínky měření v zapojení podle obr. 118.

Spínací doby obvodů závisí především na použité vnější zatěžovací kapacitě výstupu. Pro dobu přechodu z vysoké úrovni do nízké a z nízké do vysoké je znázorněna závislost spínací doby na použité zatěžovací kapacitě na obr. 119 a 120. Z doby zpoždění můžeme vypočít maximální kmitočet překlápání klopného obvodu podle vztahu

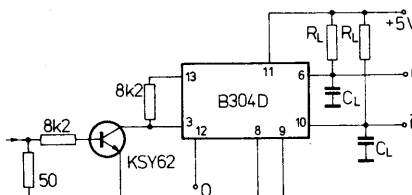
$$f_{\max} = \frac{1}{t_{DLHQ} + t_{DHLQ}}, \text{ popříp.}$$



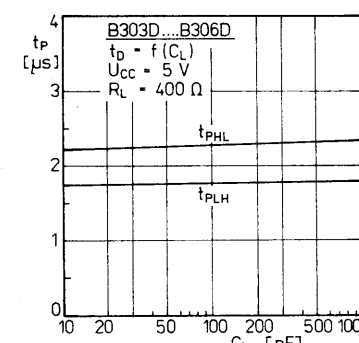
Obr. 116. Definice přepínacích časů mezi výstupy Q a \bar{Q} spínacích obvodů řady B303D.



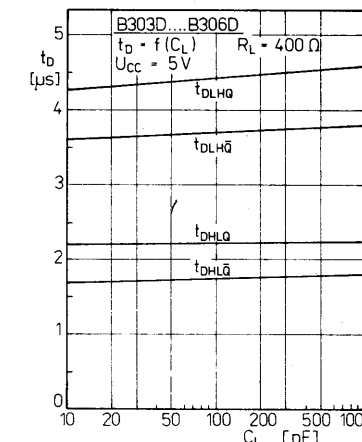
Obr. 117. Definice doby zpoždění průchodu signálu spínacími obvody řady B303D



Obr. 118. Měřicí zapojení pro měření spínacích časů obvodů řady B303D



Obr. 119. Závislost doby přepínání výstupů Q a \bar{Q} na zatěžovací kapacitě výstupu C_L obvodů řady B303D

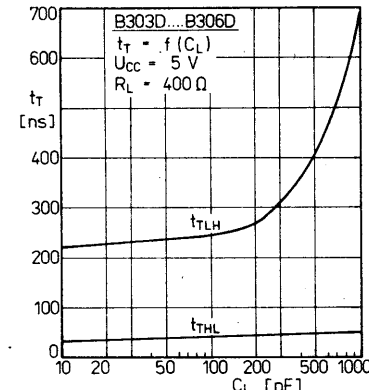


Obr. 120. Závislost doby zpoždění průchodu signálu obvody řady B303D na zatěžovací kapacitě výstupu C_L

$$f_{\max} = \frac{1}{t_{DLHQ} + t_{DHLQ}}$$

Při střední zatěžovací kapacitě 15 pF zjistíme maximální kmitočet přepínání klopného obvodu mezi výstupu Q a \bar{Q} a vývodem C asi 160 kHz.

K zajištění slučitelnosti prahových spínacích řady B303D s logikou TTL musí být doba náběhu a poklesu impulsu maximálně 1 μs. K tomuto účelu můžeme využít grafickou závislost na obr. 121, kde je vyjádřena doba



Obr. 121. Doba náběhu a doba poklesu výstupního signálu spínacích obvodů řady B303D v závislosti na zatěžovací kapacitě výstupu C_L

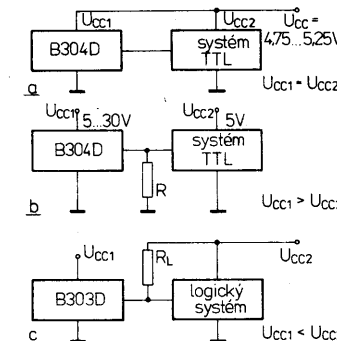
náběhu a poklesu v závislosti na zatěžovací kapacitě všech obvodů řady B303D, která platí v již uvedených měřicích podmínkách.

Slučitelnost se systémy TTL

Příznivá doba náběhu a doběhu výstupních impulsů spínacích obvodů prahové úrovni B303D řady dovoluje řídit připojené obvody logiky TTL, DTL a CMOS. Výstupy integrovaných obvodů se mohou osetřit podobně jako otevřené kolektorové výstupy, takže je možné přímé řízení systémů TTL.

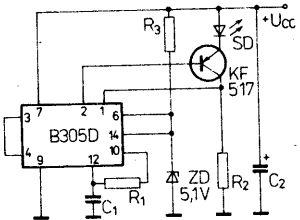
Ve srovnání se spínacím obvodem prahové úrovni A301D mají stejně velké napájecí napětí jako připojený řízený systém TTL, se mohou výstupy připojit přímo ke vstupům systému TTL podle zapojení na obr. 122a. Potřebný vstupní proud v úrovni H pro obvody TTL dodává proudový zdroj, který je součástí výstupů, proto nejsou potřebné žádaté další přidavné součástky.

Jestliže je napájecí napětí spínacího obvodu prahové úrovni vyšší než napětí systému TTL



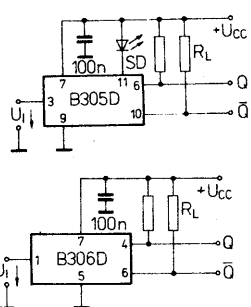
Obr. 122. Slučitelnost spínacích obvodů prahové úrovni řady B303D s logickými systémy TTL: a - zapojení obou systémů pracujících se stejně velkým napájecím napětím; b - zapojení obou systémů, je-li napájecí napětí B304D větší než systému TTL; c - zapojení obou systémů, je-li napájecí napětí obvodu B303D menší než systému TTL

Možnost jednoduchého rozšíření vlastnosti kapacitního spínače nabízejí i zde vývody I₁ a C, kterými se přímo určuje pracovní funkce jako spínač prahové úrovni nebo Schmittův klopný obvod. S obvodem B303D až B306D je možné sestavit fotoelektrické vysílače podle základního zapojení na obr. 129. Integrovaný obvod B305D je zapojen jako generátor, jehož kmitočet a prahová úroveň klopného obvodu jsou určeny členem R₁, C₁. Výstupní impulsy na výstupu Q se přivádějí přes zesilovač na světelnou diodu, vyzařující infračervené záření (např. Tesla WK 164 02, WK 164 05 apod.). Přidavný zesilovač je osazen tranzistorem p-n-p (např. KF517).



Obr. 129. Zapojení fotoelektrického vysílače infračerveného paprsku, který pracuje s integrovaným obvodem B305D

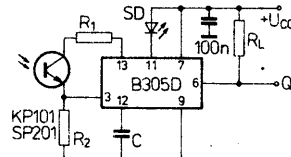
Protože se některé funkční skupiny spínačů obvodů prahové úrovni řady B303D mohou používat odděleně, mohou se tyto integrované obvody používat též výhradně jako spínače prahové úrovni, kdy se funkční skupina oscilátoru používá jako předzesilovač. Základní zapojení obvodu B305D je uvedeno na obr. 130a, obvodu B306D na obr. 130b. Vhodným zavedením zpětné vazby mezi vývody O₁ a I₁ se může ovlivňovat zesílení předzesilovače. Změna zesílení se může u obvodů B303D a B304D provést též rezistorem připojeným mezi vývody H a O₁.



Obr. 130. Integrované obvody řady B303D jako spínače prahové úrovni; a - osazené obvodem B305D; b - osazené obvodem B306D

Vstupní napětí, potřebné pro vstup I₁, se získává složením napětí U₁₂ a U_{BE}, které se vyznačuje typickým teplotním součinitelem $-2 \mu\text{V/K}$. Při vstupním napětí do 0,7 V je na výstupu Q napěťová úroveň L, na výstupu Q H, při vstupním napětí větším než 0,7 V se napěťová úroveň změní na opačnou (Q = H, Q = L).

Spínač prahové úrovni se může používat ve spojení s fotoelektrickým nebo kapacitním čidlem, připojeným ke vstupu. Příklad na obr. 131 naznačuje fotoelektrický přijímač se spínačem prahové úrovni, který se může použít ve světelných hradlech. Fototranzistor, např. KP101, se napájí z vnitřního zdroje napětí. Proudová zatížitelnost vnitřního napěťového zdroje je dána odporem rezistoru R₁, který musí být větší než 1 kΩ. Citlivost



Obr. 131. Zapojení fotoelektrického přijímače s obvodem B305D, který je vhodný pro světelná hradla

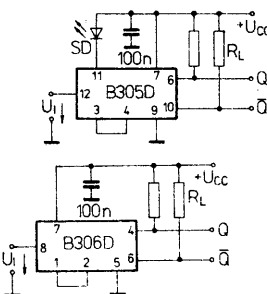
přijímače závisí na proudovém zesílení vstupního tranzistoru T₁₂ a čini 2 až 5 μA, pokud je odporník rezistoru R₂ nekonečně velký. Konečnou velikost odporu R₂ je možné libovolně zmenšovat, čímž se zhorší zesílení. Připojením kondenzátoru C se může nastavit doba zpoždění při zapnutí. Doba zpoždění je dáná vztahem

$$t_{ON} = 0,6 \cdot 9 \text{ k}\Omega \cdot C$$

Současně s dobou zapínání zpoždění se ovlivňuje doba zpoždění při vypnutí podle

$$t_{OFF} = 2,8 \cdot 600 \text{ }\Omega \cdot C$$

U popisovaných spínačích obvodů řady B303D se může samostatně využívat rovněž klopný obvod. Základní zapojení obvodu B305D jako Schmittův klopný obvod je na obr. 132. Propojením výstupu O₁ a vstupu I₁,

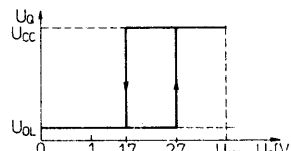


Obr. 132. Zapojení spínačů obvodů prahové úrovni řady B303D jako Schmittův klopný obvod; a - s obvodem B305D; b - s obvodem B306D

se výřadí z provozu funkční skupina oscilátoru. Prahová úroveň U_{CL} a U_{CH} je dána rezistoru R₂₂ a R₂₃ (viz vnitřní elektrické zapojení) a vnitřním napětím U_{AU}. Dolní bod překlopení klopného obvodu se pohybuje okolo 1,7 V, horní bod překlopení okolo 2,7 V. Hystereze překlápnání činí asi 1 V. Vstupní napětí U_C je omezeno v rozsahu

$$-0,7 \text{ V} \leq U_C \leq U_{AU}$$

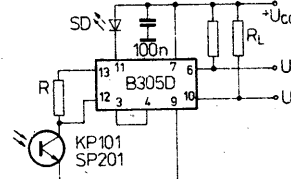
Funkční charakteristika klopného obvodu je na obr. 133. Nejvyšší pracovní kmitočet Schmittova klopného obvodu je dán



Obr. 133. Funkční charakteristika Schmittova klopného obvodu s integrovanými obvody řady B303D

$$f_{max} = \frac{1}{t_{DLHQ} + t_{DHQ}} = 160 \text{ kHz}$$

Jedno z mnoha praktických řešení využití Schmittova klopného obvodu je ve spojení s fototranzistorem KP101 podle obr. 134, který se může využít jako přijímač světelné závory. Vnitřní rezistory R₁₅ a R₁₆ (mají odporník 9 kΩ, viz vnitřní elektrické zapojení) tvoří pracovní odpory fototranzistoru. Spínací body



Obr. 134. Zapojení jednoduchého optického přijímače s obvodem B305D a fototranzistorem na vstupu, který je vhodný pro světelné závory

přijímače jsou dány velikosti fotoelektrického proudu I_F podle vztahů:

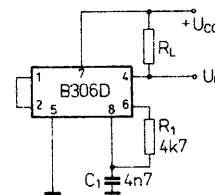
$$I_{FH} = \frac{U_{AU} - U_{CH}}{9 \text{ k}\Omega II R}$$

$$I_{FL} = \frac{U_{AU} - U_{CL}}{9 \text{ k}\Omega II R}$$

Odpor rezistoru R musí být vždy větší než 1 kΩ.

Jestliže se nahradí fototranzistor termistorem, může se popsané zapojení upravit na teplotní spínač s velkou hysterezí. Použijeme-li v zapojení obvod B305D, může se využít výstup pro indikaci stavu spínání a připojit podle dřívě uvedených informací k obvodu svítivou diodu. Tato možnost odpadá, jestliže se použijí obvody B303D nebo B304D.

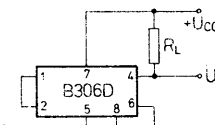
Jednoduchý generátor impulsů s obvodem B306D je možné vytvořit pomocí zapojení na obr. 135. Známým způsobem, propo-



Obr. 135. Generátor impulsů s obvodem B306D s výstupním signálem s kmitočtem 30 kHz

jením vstupu I₁ s výstupem O₁, se výřadí z provozu funkční skupina oscilátoru a vytvoří se stav, kdy je uzavřen řídící stupeň klopného obvodu. V okamžiku připojení napájecího napětí je komplementární výstup Q uzavřen. Kondenzátor C₁ se přes vnitřní rezistorovou kombinaci nabije konstantním výstupním proudem tak dlouho, až se dosáhne horní prahové úrovni klopného obvodu. Popsané zapojení s uvedenými součástkami odevzdává na výstupu Q signál s kmitočtem 30 kHz. Použijeme-li se v tomto zapojení integrovaný obvod B305D s optickou indikací spínáního stavu, je možné sestavit jednoduchý blíkač.

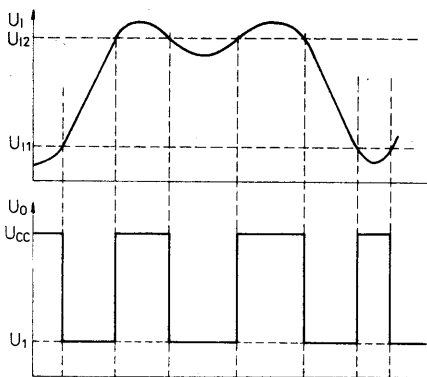
Spojíme-li vývod C s komplementárním výstupem Q podle obr. 136, vznikne generátor doby průletu. Jeho funkce spočívá na konečné době zpoždění signálu mezi vývodem C a výstupem Q. Za předpokladu, že výstup Q a vývod C mají potenciál s úrovní L, změní se tento stav po uplynutí doby zpož-



Obr. 136. Generátor doby průletu s obvodem B306D, vhodný k testování rychlosti a kmitočtu překlápnání klopného obvodu

dění, neboť při $U_C = L$ je na výstupu Q potenciál s vysokou úrovní H. I tento stav však není stabilní, protože U_C je větší než U_{CH} , proto se na výstupu Q pak změní potenciál na úroveň L. Popsaný generátor kmitá s maximálním kmitočtem klopného obvodu, proto se tento generátor může používat jako testovací zapojení k určení maximálního kmitočtu klopného obvodu.

Základní zapojení obvodu B304D jako Schmittův klopný obvod může pracovat jako tepelný spínač, připojí-li se k němu teplotně závislý rezistor nebo cesta báze-emitor křemíkového tranzistoru podle zapojení na obr. 137. Mimo klopný obvod se z integrovaného



Obr. 139. Napěťový průběh vstupního a výstupního napětí okénkového diskriminátoru podle obr. 138

výstupního napětí okénkového diskriminátoru je na obr. 139.

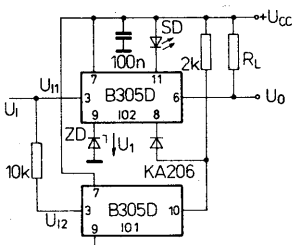
Napájecí napětí popsaného zapojení musí být větší než součet napětí $U_1 + 10$ V, aby působil programovací vstup druhého integrovaného obvodu. V každém případě se musí vložit zatežovací rezistor mezi výstup Q druhého obvodu a napájecí napětí. Připojí-li se relé přímo k výstupu, nesmíme zapomenout, že Zenerova diodou protéká celý proud cívky relé. Zenerova dioda musí propouštět maximální pracovní proud integrovaného obvodu (asi 15 mA).

Jednoduché zapojení ke kontrole hladiny kapalin je možné vytvořit pomocí dvou spínacích obvodů prahové úrovni B306D, kte-

Obr. 137. Integrovaný obvod B304D v zapojení jako tepelný spínač

obvodu využije pouze samostatný tranzistor a programovací vstup I_P . Oba výstupy jsou v normálním stavu uzavřeny. Při zvýšení teploty se zmenší prahové napětí samostatného tranzistoru až na velikost nastaveného předpěti báze. Podmínka uzavření výstupů je tím splněna a výstup Q se stane vodivým. Zapojení s danými součástkami spiná při teplotě asi 50 °C.

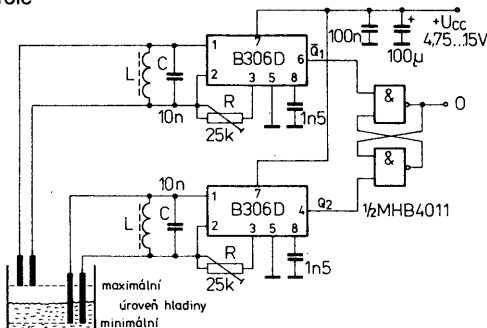
Velmi málo známé zapojení okénkového diskriminátoru se dvěma obvody B305D podle obr. 138 se může používat ke kontrole



Obr. 138. Zapojení okénkového diskriminátoru se dvěma integrovanými obvody B305D, který je vhodný ke kontrole dvou různých stavů (teplot, hladin kapaliny apod.)

dvou teplot, k zobrazení stavu kapaliny apod. Jako spínací napětí se využívají jedné prahové úrovny pro spinání integrovaného obvodu. Druhá prahová úroveň se vytvoří navršením napětí druhého integrovaného obvodu. Vstupní napětí prvního obvodu je dáno $U_1 = 0,7$ V, druhého obvodu $U_2 = U_1 + 0,7$ V. Uvedenou podmíinku je možné splnit vložením Zenerovy diody do zemnicího vývodu integrovaného obvodu.

Bude-li vstupní napětí U_1 menší než napětí U_1 , bude výstup Q prvního integrovaného obvodu vodivý a bude na něm napěťový signál s úrovní H. Tím budou přes vývod 8 uzavřeny výstupy druhého integrovaného obvodu. Bude-li vstupní napětí U_1 větší než U_1 , bude na komplementárním výstupu Q potenciál s úrovní L a oba výstupy druhého integrovaného obvodu se uvolní. Na výstupu Q druhého integrovaného obvodu bude vynucen potenciál s úrovní L, neboť vstupní napětí U_1 bude menší než U_2 . Teprve bude-li vstupní napětí U_1 větší než U_2 , sepne výstup Q opět na potenciál s úrovní H. Indikace stavu sepnutí svítivou diodou signalizuje stav výstupu Q druhého integrovaného obvodu B305D. Svítelná dioda svítí, je-li vstupní napětí U_1 mimo rozsah U_1 a U_2 . Průběh



Obr. 140. Regulační zapojení ke kontrole úrovně (výšky) hladiny kapaliny, které pracuje se dvěma obvody B306D

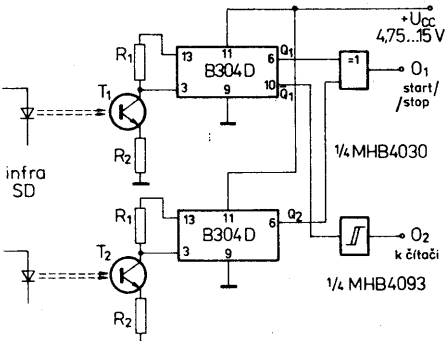
ré jsou zapojeny jako indukční čidla podle obr. 140. Oba integrované obvody pracují s laděným obvodem LC, připojeným ke vstupu, a se zpětnovazebním rezistorem R. K laděným obvodům je paralelně připojeno čidlo, které rozděluje laděný obvod během přítomnosti kontrolované kapaliny mezi elektrodami čidla. Jako snímače se může použít dvou kovových desek nebo dvou vodivých drah na desce s plošnými spoji. Použije-li se jako čidlo deska s plošnými spoji, nesmí se kontrolovat kapalina, která naruší nebo přímo leptá jak základní materiál desky, tak vlastní měděné spoje.

Popsané zapojení slouží nejen ke kontrole stavu (výšky) hladiny kapaliny. Jestliže se např. dosáhne nejnižší nastavené úrovni, může zapojení sepout např. čerpadlo, které dcérkou do nádoby kapaliny (vodu apod.). Čerpadlo se opět vypne, jakmile se dosáhne nejvyšší úrovně hladiny, dané druhým čidlem.

Jestliže kapalina poklesne pod dolní úroveň hladiny, kmitají oba oscilátory a na komplementárním výstupu Q1 bude signál s úrovní H, na výstupu Q2 potenciál s úrovní L. Klopný obvod, složený ze dvou systémů logického členu CMOS 4011 (např.

MHB4011), který je připojen k výstupům obou spínacích obvodů prahové úrovni, bude mít proto na výstupu O signál s úrovní L a sepne čerpadlo. Jestliže se zvýší hladina kapaliny nad dolní úroveň, utlumí se oscilace oscilátoru 2 a na výstupu Q1 a Q2 bude signál s úrovní H. Tato úroveň nezpůsobí žádnou změnu funkčního stavu klopného obvodu. Teprve po dosažení horní nastavené úrovně, kdy na výstupu Q1 bude úroveň L a na výstupu Q2 úroveň H, změní klopný obvod svůj stav a čerpadlo se vypne. Jakmile hladina kapaliny opět poklesne na dolní nastavenou úroveň, čerpadlo se opět zapne. Bude-li hladina kapaliny mezi oběma nastavenými úrovněmi, bude klopný obvod v klidovém stavu a čerpadlo bude vypnuto.

V automatizovaném výrobním procesu se obvykle přemisťují výrobky na další pracoviště dopravním pásem. Přitom může být předepsána poloha přepravovaného předmětu na pásu. Proto je nutná kontrola uložení přepravovaného předmětu. K tomuto účelu je vhodné kontrolní zapojení podle obr. 141 se dvěma samostatnými fotoelektrickými



Obr. 141. Zapojení ke kontrole pozice předmětu nebo počítání balených výrobků na páse, které pracuje se dvěma obvody B304D a fototranzistory na vstupech

mi přijímači. Polohu přepravovaného předmětu hladí dva světelné paprsky, vysílané dvěma světelnými zdroji, které jsou umístěny ve dvou výškách tak, aby zachytily kontrolovaný předmět v předepsané poloze. Jestliže se přeruší oba světelné paprsky, předmět je na pásu ve správné poloze. Jestliže se přeruší jen níže položený světelný paprsek, je předmět v nesprávné poloze. V tomto případě se zastaví běh dopravníku.

Fotoelektrické přijímače jsou osazeny dvěma integrovanými obvody B304D, k jejichž vstupům jsou připojeny fototranzistory vhodného typu. Pokud dopadá světelný paprsek ze světelného zdroje na fototranzistor, je napětí na vývodu 3 obvodu B304D menší než 0,7 V. Na výstupech Q bude signál s úrovní L. Jakmile se světelný paprsek přeruší, sepnou se výstupy na potenciál H. K výstupům Q1 a Q2 je připojen logický člen Exclusive-OR CMOS 4030 (např. MHB4030). Pokud bude na jeho vstupech signál se stejnou úrovní, bude na výstupu logického členu stejný potenciál.

Komplementární výstup Q1 je připojen ke vstupu invertujícího Schmittova klopného obvodu (MHB4093), který slouží ke zvětšení strmosti výstupních impulsů. Tyto impulsy mohou sloužit k dalšímu vyhodnocování (např. v čítači apod.). Je-li kontrolovaný předmět v nenormální poloze, přeruší se světelný paprsek níže položeného světelného zdroje, výše položeného zdroje však nikoli. Na výstupech logického členu Exclusive-OR budou rozdílné výstupní signály, proto logický člen přepne výstupní signál. Přepnutý signál se může využít např. k automatické-

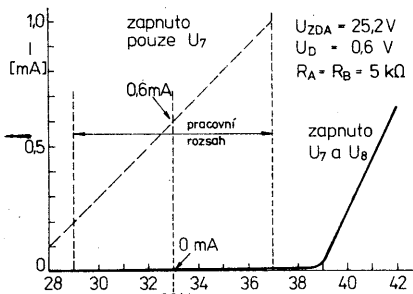
dvě sériově zapojené diody D_C vůči zemi. Jestliže se připojí napájecí napětí, protékají diodami D_C proud, a na diodách vznikne napětí 1,2 V. Protože ještě není připojen žádný z paměťových stupňů, není ani na rezistoru R_H žádné napětí, proto je cesta báze-emitor tranzistoru T_A vodivá.

Je-li nebo bude-li připojeno ladící napětí (33 V), protékají proudem cestou báze-emitor tranzistoru T_6 a přes tranzistor T_5 sepnou první stupeň, který zůstane sepnut. Na přidržném odporu R_H tím vzniká napětí 5,1 V, proto tranzistor T_A zůstane uzavřen pro všechny další funkční stavky, stupeň přednostního spínání je neúčinný.

Obě další diody D_A a D_B , na hřich vzniká úbytek napětí 0,6 V v propustném stavu, zabráňují průtoku nežádoucích proudů mezi zdroji provozního napětí.

Retěz Zenerových diod ZD_A v zapojení přednostního spínání slouží k tomu, aby se zdroj ladícího napětí (33 V) zatěžoval pouze při uvádění dotekového spínače do chodu, nikoliv tedy během provozního stavu. Bude-li např. při uvádění do chodu zapnuto nejdříve napětí U_7 (33 V), bude podle obr. 144 protékat proud I asi 0,6 mA. Jakmile se připojí napětí U_8 (13,5 V) zmenší se napětí 13,5 V o 0,6 V a proud I , který zatěžuje zdroj ladícího napětí, poklesne zpět na nulovou velikost.

Pomocí údajů na obr. 144 bude vždy splněna proudová kompenzace uvnitř pracovního rozsahu napětí U_7 od 29 do 37 V. Tepřve jakmile se toto napětí zvětší nad nepřípustnou hranici 38,5 V, nastane trvalé zatížení zdroje ladícího napětí.



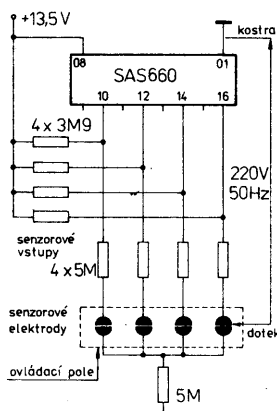
Obr. 144. Proudová a napěťová závislosti při spínání dotekového spínače SAS660

Integrovaný obvod SAS670 má vnitřní elektrické zapojení shodné s obvodem SAS660, nemá však stupeň přednostního spínání prvního stupně. Používá se převážně pro rozšíření počtu spinaných kanálů vždy o 4 kanály (na 8, 12 apod.).

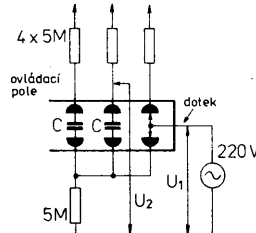
Vnější zapojení senzorových vstupů

Jestliže se použijí dotekové senzorové integrované obvody v přístrojích napájených přímo ze sítě bez síťového oddělovacího transformátoru, což je v televizorech běžný způsob napájení, může se stát, že na kostře přístroje bude fáze ze síťového rozvodu. V tomto případě se musí použít podle platných bezpečnostních předpisů ochranné rezistory, které dovolují dotek lidského těla bez jakékoliv nebezpečí. Dotekem prstu pouze jedné z obou senzorových elektrod se sepne příslušný paměťový stupeň. Jak je patrné z obr. 145, leží střídavé síťové napětí 220 V mezi kostrou a senzorovou elektrodou. Příslušný senzorový vstup se řídí v rytme střídavého napětí. Integrovanou Zenerovou diodou (ZD) je zabezpečen paměťový stupeň, takže řízení střídavým napětím nemá rušivý vliv na funkci integrovaného obvodu.

Dotýkáme-li se současně jak senzorové elektrody, tak též protielektrody (obr. 146), bude působit síťové střídavé napětí přes

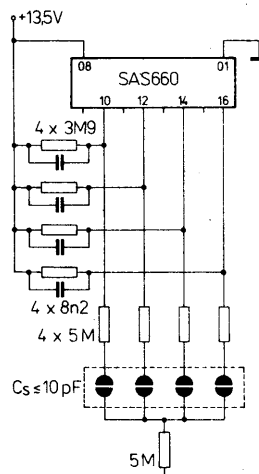


Obr. 145. Zapojení dotekových ploch dotekového spínače SAS660



Obr. 146. Působení při doteku senzorových elektrod dotekového spínače SAS660

nikoliv zanedbatelné kapacity C ovládacího pole na senzorové elektrody, kterých se právě nedotýkáme. Odpor téhoto kapacit ($C \approx 10 \text{ pF} \approx 320 \text{ M}\Omega$) je podstatně větší než reálný odpor senzorového vstupu (asi $8 \text{ M}\Omega$ včetně ochranného rezistoru $5 \text{ M}\Omega$). Důsledkem je předělání napětí U_2 vůči napětí U_1 o 90° . Tím bude v dobré, v níž dosáhne síťová fáze své nejkladnější hodnoty, jeden z nedotknutých senzorových stupňů tak dlouho zapnut, až síťová fáze bude opět záporná. Popsané rušení se potlačí kondenzátorem $8,2 \text{ nF}$ připojeným podle obr. 147. Rozdělení napětí kapacitně přenášeného střídavého napětí bude pak pod aktivní spínací velikostí senzorových vstupů.



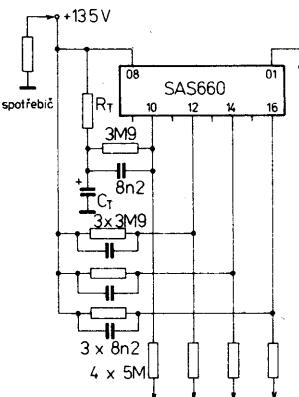
Obr. 147. Způsob odstranění rušení posuvem napětí U_2 vůči napětí U_1 u obvodu SAS660

Přídavná vnější uspořádání obvodu SAS660

Síťové zdroje televizních přijímačů zpravidla nevytvářejí monotonní napájecí napětí ihned po zapnutí do sítě. Často vznikají spolu s napájecím napětím napěťové skoky

nebo vrcholy. Přestože dotekové senzorové spínače mají integrováno přednostní spínání prvního kanálu, může se uvedenými napěťovými impulsy sepnout jiný kanál než první. Tomuto nedostatku může odporu celkem nenáročné vyhlašovací zapojení napájecího napětí 13,5 a 33 V podle obr. 148.

Kombinace členu RC ($3,9 \text{ M}\Omega \cdot 8,2 \text{ pF}$) prvního přednostního spínání paměťového stupně (vývod 10) obvodu SAS660 se připojí k časovému členu $R_T C_T$. Při odpojeném přístroji má kondenzátor C_T nulový potenciál, protože ke zdroji napájecího napětí 13,5 V je paralelně připojen spotřebič. Jakmile se přístroj zapne, nabije se kondenzátor přes rezistor R_T . Pokud je napětí na kondenzátoru C_T menší než 12 V, protéká zapínací proud kombinací vstupních tranzistorů prvního stupně a udržuje jej v zapnutém stavu. Jestli-



Obr. 148. Vyhlašení napájecího napětí obvodu SAS660

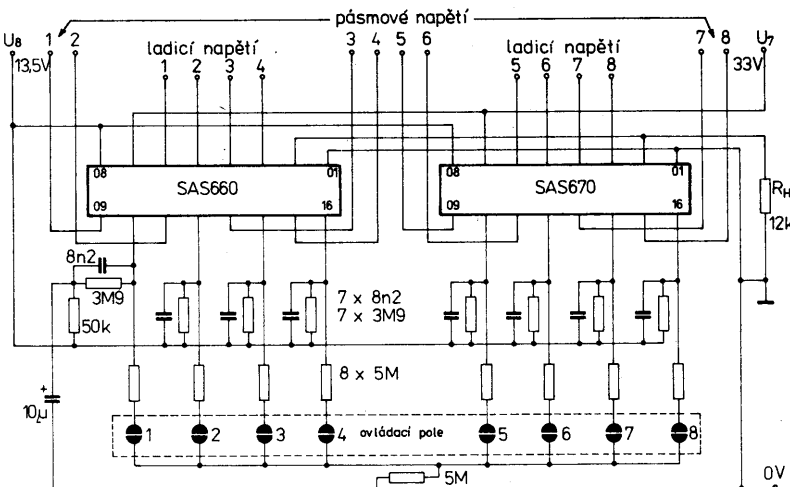
že se zvolí časová konstanta členu $R_T C_T$ poněkud delší než přístroj potřebuje k plnému náběhu provozního napětí, nemají napěťové skoky nebo vrcholy, které vznikají při náběhu napájecího napětí, žádný vliv na nabíhání prvního kanálu. Přidržnou dobu asi 3 s určí součástky členu $C_T = 10 \text{ }\mu\text{F}$, $R_T = 50 \text{ k}\Omega$.

Na obr. 149 je návrh zapojení s integrovanými obvody SAS660 a SAS670, které slouží k elektronickému přepínání osmi programových kanálů. Dotykem prstu senzorové plochy 1 se sepne elektronický spínač pásmového napětí (vývod 08 s vývodem 09 obvodu SAS660) a spínač ladícího napětí (vývod 07 s vývodom 06). Na výstupu, označeném pásmové napětí 1, je napětí asi 12,3 V, které se může využít jako provozní napětí pro pásmo III kanálového voliče VKV a pro indikační žárovku „program 1“ při maximálním přípustném trvalém proudu 55 mA.

Na výstupu označeném „ladicí napětí 1“ je napětí U_7 asi 90 mV, které se přivádí na bod pro program 1 určeného ladícího potenciometru přes předřadný rezistor asi $5 \text{ k}\Omega$. Odpor potenciometru může být asi $30 \text{ k}\Omega$.

Spojením vývodu 02 obvodu SAS660 s vývodem 02 obvodu SAS670 jsou oba integrované obvody funkčně svázány pomocí odporu R_H , takže při doteku např. senzorové plošky 7 v ovládacím poli se nejdříve zapnuty kanál 1 vypne a pásmovým napětím 7 (vývod 13 obvodu SAS670) a ladícím napětím 7 (vývod 04) zapne označený výstup.

K tomu je třeba dodat, že připojením dalších integrovaných obvodů SAS670 se může senzorový spínač rozšířit o další čtyři stupně, tedy o další čtyři programové kanály, aniž by se zvětšilo zatížení zdroje ladícího



Obr. 149. Elektronický přepínač osmi programových kanálů s integrovanými obvody SAS660 a SAS670

nebo pásmového napětí. Zatížení je zcela nezávislé na počtu použitých integrovaných obvodů a je pro ladící napětí

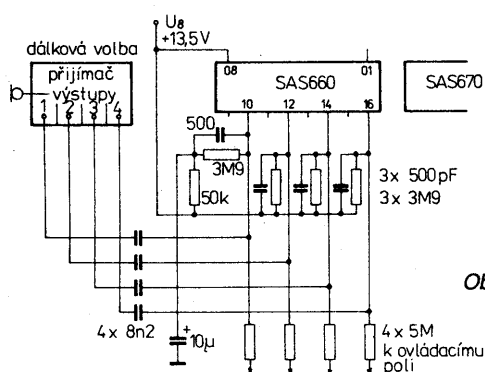
2 až 3 mA plus proud, protékající potenciometrem, a

2 až 3 mA plus proud, který odebírá ladící volič a indikační žárovka (může být max. 55 mA).

Dálková volba programu

Při dálkovém ovládání volby programu se používají různých kódovacích postupů, které jsou přenášeny z přístroje pro dálkové ovládání na televizor pomocí ultrazvuku nebo infračerveným zářením. Na straně přijímače se musí přijímané signály upravit tak, aby se mohlo využít k ovládání kanálového voliče se senzorovými integrovanými obvody jedné ze dvou dále uvedených podmínek:

- K dispozici musí být tolik výstupů přijímače dálkového ovládání, kolik programů se má volit, přičemž výstupy přijímače jsou spojeny se senzorovými vstupy. Volba programu je simultánní.



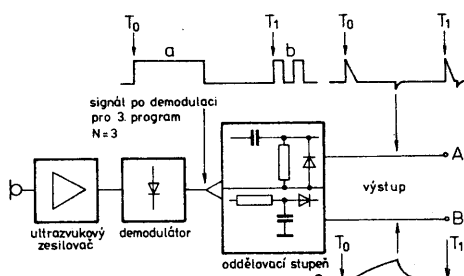
Obr. 150. Funkční skupinové zapojení přijímače dálkové volby přijímaného kanálu ve spolupráci s obvodem dotekového spínání SAS660

Výstup přijímače před každou volbou programu musí vyslat nulovací impuls pro senzorové integrované obvody, zapojené jako kruhový čítač, který vynuluje a vrátí zpět na přednostně spínaný kanál 1 (odpovídá programu 1). Po provedeném nulování, které odpovídá pořadovému číslu N zvoleného programu $N - 1$, odevzdá čítací impulsy, které nastaví sekvenční paměťové obvody na volený stupeň N .

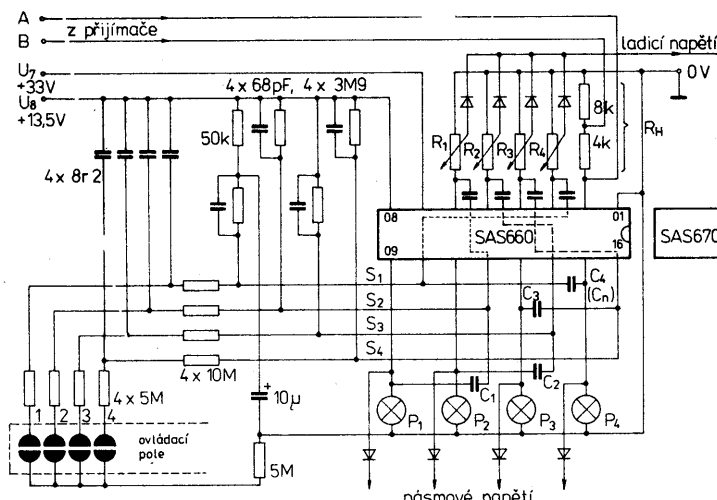
ukončení vyslaného impulsu z potenciálu L na H vytvoří pozitivní impuls na vstupu senzorového obvodu, který však sepnutý stav paměťového stupně neovlivní.

Funkční skupinové zapojení přijímače, které odpovídá podmínce podle druhého bodu je znázorněno na obr. 151 rovněž pro příklad volby programu 3. Sled impulsů za demodulátorem se skládá z nulovacího impulsu (a) a čítacích impulsů (b). Protože má být zvolen program s pořadovým číslem $N = 3$, vyšle se počet čítacích impulsů $N - 1 = 2$ impulsy. Sled impulsů se přivede na výstup A přes diferenční stupeň s potlačením negativních impulsů. Na výstupu A vznikne v tomto okamžiku T_0 rozdílový nulovací impuls, od doby T_1 , pak oba čítací impulsy. Na výstupu B je sled impulsů integrován pomocí potenciálové bariéry. Krátké po okamžiku T_0 se vytvoří nulovací impuls, který si podrží svou amplitudu podstatně déle než diferencující nulovací impuls na výstupu A. V okamžiku T_1 se přivedené čítací impulsy na výstupu B potlačí potenciálovou bariérou.

Na obr. 152 znázorněném zapojení ukazuje způsob rozšíření spínacího zapojení s obvodem SAS660 pomocí dalších vnějších součástek pro použití jako kruhový čítač. Přidáním jednoho nebo několika obvodů SAS670 se může rozšířit počet programových spínačů vždy o další čtyři. Výstup pásmového napětí (vývod 09) prvního paměťového stupně je spojen přes kondenzátor C_1 se vstupem senzoru (vývod 12) druhého paměťového stupně. Výstup druhého paměťového stupně (vývod 11) je spojen přes C_2 se vstupem třetího stupně (vývod 14) atd. až do spojení výstupu posledního stupně se vstupem prvního stupně. Místo výstupu pásmového napětí se mohou spojovat pomocí kondenzátorů též výstupy ladícího napětí (vývody 06, 05, 04, 03), jak je v obrázku vyznačeno čárkovaně. Všechny senzorové vstupy mají potlačenou vazbu pomocí rezistoru $10\text{ M}\Omega$ z příslušného kondenzátoru 8.2 nF .



Obr. 151. Funkční skupinové zapojení přijímače dálkové volby s ultrazvukovým zesilovačem



Obr. 152. Zapojení pro rozšíření spínacího obvodu SAS660 jako kruhový čítač

(slouží k potlačení brumu), čímž mohou účinně působit impulsy na senzorových vstupech.

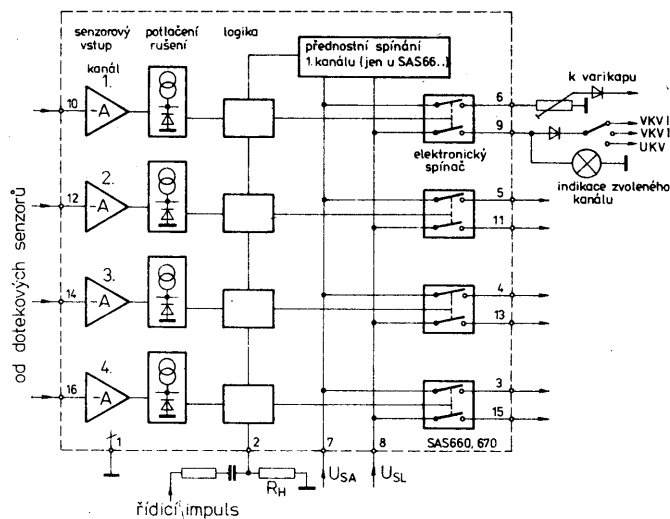
Na příkladu zapnutého druhého paměťového stupně popíšeme další funkci spínače. Na přídřzném odporu R_H (vývod 02), jak již bylo uvedeno, vznikne stejnosměrné napětí asi 5,1 V, na výstupu (vývod 11) pásmové napětí +12,3 V. Kladný impuls z výstupu přijímače A zvětší napětí na přídřzném odporu, takže se sepnutý druhý stupeň vypne. Pásmové napětí na vývodu 11 poklesne zpět na nulový potenciál, přičemž se přenese záporný impuls na senzorový vstup (vývod 14) třetího stupně a sepne tento stupeň. Podmínkou pro spolehlivou činnost je správné nastavení časového členu. Správnou volbou velikosti součástek se musí zajistit, aby kladný impuls I_H na přídřzném odporu odpojil zapnutý paměťový stupeň. Jakmile kladný impuls přestane působit, záporný impuls I_S , vzniklý při odpojení pásmového napětí na senzorovém vstupu následujícího stupně, má ještě tak velké množství energie, že sepne následující stupeň. Zapínací postup se tím ukončí, anž by se dostal další kladný impuls na přídřzný rezistor. Uvedené kapacity kondenzátorů $C_1 = C_2 = C_3 = 7,5 \text{ pF}$, ostatní součástky v zapojení podle obr. 152 jsou voleny pro spínací kmitočet do 3 kHz, amplitudu spínacího impulsu I_H asi 10 V s dobou poklesu t_{\max} 10 μs .

Má-li se dálkovým ovládáním přepnout např. zapnutý první stupeň na třetí stupeň, jsou na vývodech A a B přijímače dálkového ovládání impulsy podle obr. 151. Výstup přijímače A je podle obr. 152 spojen rezistorem 6,2 k Ω a kondenzátorem 3,3 nF s vývodem 02 obvodu SAS660. Diferencující nulovací impuls v okamžiku T_0 vypne (jak bylo popsáno) první paměťový stupeň a přes kondenzátor C_1 zapne druhý stupeň. Na výstupu B je integrující nulovací impuls, který se přivede na dělicí bod rozděleného přídřzného rezistoru R_H (4 k Ω a 8 k Ω). Doba trvání nulovacího impulsu je podstatně delší, takže druhý stupeň bude opět odpojen. S poklesem nulovacího impulsu klesne napětí na vývod 02 na velmi malou velikost (max. 1,2 V), takže zapojení přednostního spínání prvního paměťového stupně v obvodu SAS660 se uvede do chodu a sepne tento stupeň. Postup skončí před časovým okamžikem T_1 . Nyní následují dva impulsy na výstupu A, které sepnou sekvenční třetí paměťový stupeň. Protože postup přepínání probíhá v praxi během krátké doby, dálková volba probíhá kvazimultitánně.

Amplituda napěťového impulsu na výstupu A (a B) přijímače může dosáhnout až +15 V. Při daných součástkách v zapojení na obr. 152 a napěťovém impulsu do 15 V je provoz spínače naprostě spolehlivý a nemohou se poškodit žádné součástky či integrované obvody SAS660 a SAS670. Všechny uvedené funkční činnosti platí rovněž pro dotekové senzorové integrované obvody SAS6600 a SAS6700.

Elektronické dotekové spínače SAS660, SAS670, SAS6600, SAS6700, SAS6610, SAS6710

Výrobci integrovaných elektronických dotekových spínačů pro použití ve spotřební elektronice pro přepínání kanálů je v Evropě několik. Vyrábí jich v podstatě tři základní řady spínačů, z nichž jsou nejnájemší spínače s typovým označením SAS660 a SAS670. Jejich funkce byla již popsána. Vyznačují se velkou vstupní citlivostí, provozní spolehlivostí a velkou odolností proti rušení. Spinaci tranzistory, použité na čipu k vytvoření spínačů, mají malé saturační napětí a teplotně jsou velmi stálé. Výstupy spínačů se mohou zatěžovat proudem až do 55 mA, který posloužuje k rozsvícení kontrolní žárovky nebo diody LED k indikaci sepnutého stavu.



Obr. 153. Funkční skupinové zapojení dotekových spínačů SAS660, SAS670, SAS6600, SAS6700, SAS6610, SAS6710

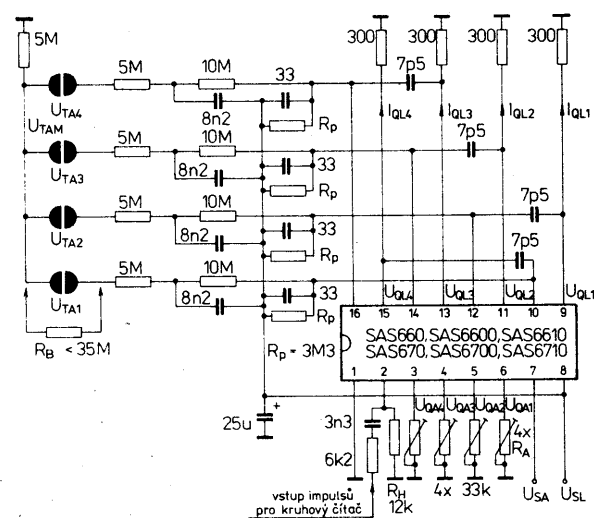
Integrované obvody SAS660 a SAS670 jsou v plastovém pouzdru DIL-16 s 2 × osmi vývody ve dvou řadách v rastru 2,54 mm a odstupem řad 7,6 mm. Funkce vývodů (viz funkční skupinové zapojení na obr. 153): 1 – zemníci bod; 2 – vstup řídícího signálu (impulsů) logiky k řízení všech čtyř kanálů; 3 a 15 – výstupy kanálu 4; 4 a 13 – výstupy kanálu 3; 5 a 11 – výstupy kanálu 2; 6 a 9 – výstupy kanálu 1; 7 – připoj řídícího napětí U_{SA} (U_7); 8 – připoj napětí pro indikátor U_{SL} (U_8); 10 – vstup kanálu 1; 12 – vstup kanálu 2; 14 – vstup kanálu 3; 16 – vstup kanálu 4. Úplné elektrické údaje těchto spínacích obvodů jsou obsaženy v tabulce 10.

Funkční skupinové zapojení obvodů SAS660 a SAS670 je na obr. 153, praktické provozní zapojení na obr. 154. Pomoci vnějších součástek se může funkce spínacích obvodů rozšířit na funkci kruhového čítače. Funkční rozsah kmitočtu kruhového čítače je v uvedeném zapojení od 0 do 3 kHz. Mezi vrcholové napětí řídících impulsů je 10 V, strmost hran impulsů je max. 10 μs . Při dotece senzorové dotekové plošky, která je spojena s fází sítě, se vyvolá rušivé napětí na příslušném výstupu menší než 8 mV (při kostře přístroje na zemním potenciálu). Při současném doteku několika senzorových kontaktů najednou zůstává zapojen vždy jen

jeden program. Při zapnutí napájecího napětí nepůsobí rozdílné siťové konstanty škodlivě na integrovaný obvod.

Integrovaný obvod SAS660 obsahuje stupeň přednostního spínání prvního ze čtyř spínacích kanálů. Obvod SAS670 obsahuje čtyři přesně stejné spínací stupně. Společně s obvodem SAS660 je možné vytvořit osmikanálový dotekový programový spínač s přednostním spínáním prvního kanálu. Toto uspořádání se může rozšířit o další obvody SAS670, kterými se rozšíří počet spínacích kanálů vždy o další čtyři. U všech takto použitých obvodů se musí navzájem propojit vývod 2, čímž se zajistí jejich funkce.

V podstatě stejnou funkci jako popsáne obvody SAS660 a SAS670 mají dotekové spínače SAS6600 a SAS6700. Rozdíl mezi nimi je ve vylepšených elektrických vlastnostech, především v širším rozsahu maximálně dovoleného napětí indikátoru a širším rozsahu přípustných teplot okolí v provozu. Jejich elektrické údaje jsou v tabulce 10. Zapojení a funkce vývodů jsou shodné s SAS660, popříp. SAS670, rovněž stejné je funkční skupinové a doporučené provozní zapojení. Zvolený program dotekovými spínači SAS6600 zůstává zapnut při odpojení napětí U_{SL} (U_8 na vývodu 8), jestliže napětí U_{SA} na vývodu 7 je v rozsahu 17 až 36 V. Tato úprava vyhovuje podmínkám pro poho-



Obr. 154. Doporučené provozní zapojení dotekových spínačů SAS660, SAS670, SAS6600, SAS6700, SAS6610, SAS6710

Tab. 10. Elektrické údaje SAS660, SAS670, SAS6600, SAS6700

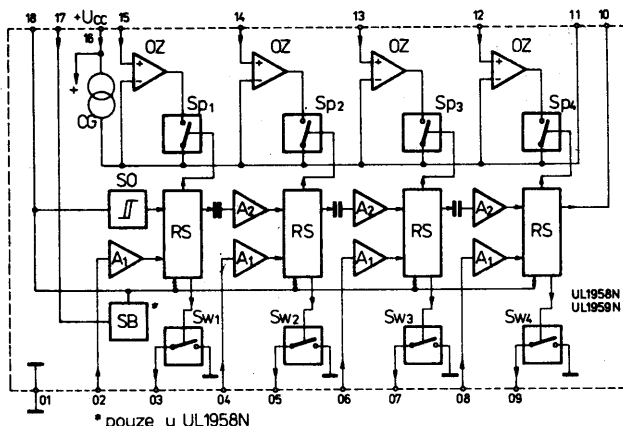
Mezní údaje	
Ladicí napětí SAS660, SAS670 SAS6600, SAS6700	$U_7 = 29 \text{ až } 37$ V
Napětí pro indikátor SAS660, SAS670 SAS6600, SAS6700	$U_8 = 11 \text{ až } 15$ V
Ladicí proud SAS660, SAS670 SAS6600, SAS6700	$I_7 \leq 7$ mA
Ladicí proud vrcholový ²⁾ Proud výstupu indikátoru naprázdno	$I_7 \leq 5$ mA
Proud výstupu indikátoru	$I_{7M} \leq 8$ mA
$U_8 = 13,5 \text{ V}$	$I_8 \leq 6$ mA
Proud výstupu indikátoru nárazový $t \leq 100 \text{ ms}$	$I_{8M} \leq 250$ mA
Ztrátový výkon celkový	$P_{\text{tot}} \leq 440$ mW
$\vartheta_a = 25^\circ \text{C}$	
Rozsah pracovních teplot okolí SAS660, SAS670 SAS6600, SAS6700	$\vartheta_a = 0 \text{ až } +55^\circ \text{C}$
Rozsah skladovacích teplot SAS660, SAS670 SAS6600, SAS6700	$\vartheta_{\text{stg}} = -20 \text{ až } +150^\circ \text{C}$
Tepevný odpor přechod-okolí	$\vartheta_{\text{thja}} \leq 200$ K/W
Charakteristické údaje	
Platí při $\vartheta_a = 25^\circ \text{C}$, SAS660, SAS670 SAS6600, SAS6700	$R_H = 12 \text{ k}\Omega \pm 10\%$
	$R_H = 15 \text{ k}\Omega \pm 10\%$
Proud jednoho uzavřeného ladicího výstupu $U_7 = 33 \text{ V}$, $R_A = 33 \text{ k}\Omega$	$I_3, I_4, I_5, I_6 \text{ OFF} \leq 5$ μA
Proud jednoho uzavřeného výstupu indikátoru $U_L = 13,5 \text{ V}$, $R_L = 50 \Omega^5)$	$I_9, I_{11}, I_{13}, I_{15} \text{ OFF} \leq 100$ μA
Spínací citlivost pro sepnutý senzor $U_7 = 33 \text{ V}$, $U_8 = 13,5 \text{ V}$, $R_p = 3,9 \text{ M}\Omega$	$I_2 \leq 250$ nA
SAS660, SAS670 SAS6600, SAS6700	$I_2 = 20 \text{ až } 250$ nA
Příderné napětí při dotečku senzoru po dotečku senzoru	$U_{RH} = 6 \text{ až } 7$ V
Změna ladicího proudu I_7 v příderném stavu při dotečku senzoru	$U_{RH} = 5 \text{ až } 5,6$ V
Napájecí proud v příderném stavu	$I_7 \leq 0,3$ mA
Rozptyl napájecího proudu jednotlivých integrovaných obvodů	$I_7H = \text{jmen. } 3,5; 2,8 \text{ až } 5,0$ mA
Saturační napětí ladicího spínače $I_3, I_4, I_5, I_6 = 1 \text{ mA}$	$\Delta I_7 \leq 1$ mA
Tepevná závislost saturačního napětí spínače ladicího napětí	$U_7 - U_{QA} \leq 250$ mV
$\vartheta_a = 10 \text{ až } 55^\circ \text{C}$	$\Delta(U_7 - U_{QA}) \leq 0,5$ mV/K
Saturační napětí spínače napětí pro indikátor $I_{QL} = 55 \text{ mA}$	$U_8 - U_{QL} \leq 1,35$ V
Rozdíl napětí mezi jednotlivými výstupy pro indikátory $I_9, I_{11}, I_{13}, I_{15}$	$\Delta U_{QL} \leq 0,6$ V
Šumová odolnost proti rušení sítovými vlivy $f_{Br} = 50 \text{ Hz}$	$\Delta U_{N3}, \Delta U_{N4}, \Delta U_{N5}, \Delta U_{N6} \leq 8$ mV
$U_{TA1}, U_{TA2}, U_{TA3}, U_{TA4} = 220 \text{ V}$	$\Delta U_{N3}, \Delta U_{N4}, \Delta U_{N5}, \Delta U_{N6} \leq 8$ mV
$U_{TAM} = 220 \text{ V}$	

- 1) Platí v doporučeném zapojení. Napětí se vztahuje vůči vývodu 1.
- 2) Definováno vybitím kondenzátoru $1 \mu\text{F}$ přes rezistor $5 \text{ k}\Omega$.
- 3) Dvojice kontaktů senzoru sepnutého senzorového stupně se musí přemostit rezistorem $R_B \leq 35 \text{ M}\Omega$.
- 4) Použije-li se k montáži integrovaného obvodu objímka, smí se zasunout nebo vyjmout obvod jen při vypnutém napájecím napětí.
- 5) U obvodů SAS6600, SAS6700 platí $R_L = 300 \Omega$.

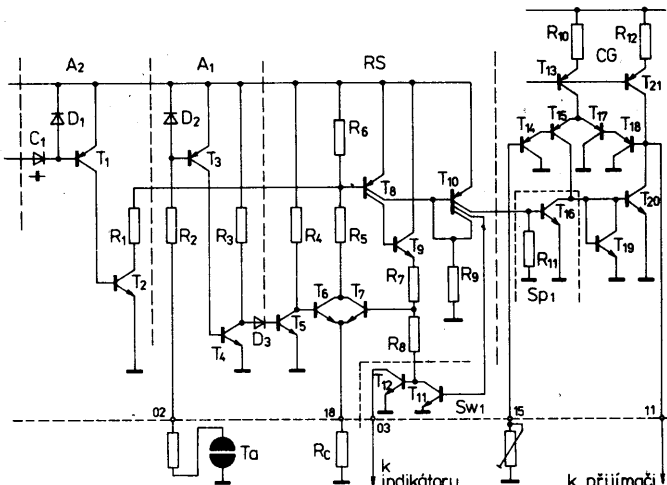
tovorní stav přijímače, v němž má spínač pracovat.

Firma Telefunken electronic vyrábí elektro

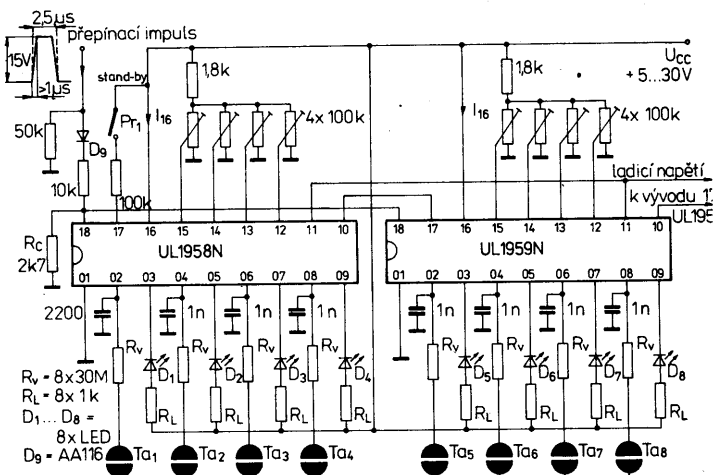
tricky a mechanicky stejné dotekové spínače SAS6610 a SAS6710 s obvody SAS6600 a SAS6700 jako jejich spolehlivější verze. Jsou určeny k volbě programů nejen v elektronicky laděných rozhlasových a televizních přijímačích, ale i pro elektronické řízení výtažů, kontrolních a zkušebních zařízení a ji-



Obr. 155. Funkční skupinové zapojení dotekových spínačů UL1958N, UL1959N



Obr. 156. Vnitřní elektrické zapojení jedné sekce přepínání obvodu UL1958N



Obr. 157. Základní zapojení spínacích obvodů UL1958N a UL1959N jako senzorový přepínač osmi programů

ných přístrojů. Součástky jsou vhodné pro přístroje napájené zdrojem s můstkovým usměrňovačem přímo z osvětlovacího napájecího sítě bez oddělovačového transformátoru. Senzorové vstupy obvodů jsou ošetřeny ochrannými diodami. Funkční skupinové zapojení je shodné s obr. 153, provozní doporučené zapojení podle obr. 154. Elektrické vlastnosti jsou shodné s SAS6600 a SAS6700 podle tabulky 10.

Integrované obvody SAS660, SAS670 vyrábí firma Telefunken electronic, SRN, obvo

dy SAS6600 a SAS6700 firmy Telefunken electronics a MEV (dříve Tungsram), MLR, obvody SAS6610 a SAS6710 firma Telefunken electronic, SRN.

Bezkontaktní dotekové čtyřkanálové spínače UL1958N a UL1959N

Integrované spinaci obvody UL1958N a UL1959N jsou bipolární součástky pro spínání čtyř programových kanálů v elektronický laděných programových voličích pro televizní a rozhlasové přijímače. Jeden ze čtyř spínacích stupňů obvodu se volí dotečkem prstu na příslušnou plošku senzoru, umístěnou na přední straně přijímače. Každý spínací stupeň je vybaven samostatným výstupem pro řízení optoelektronického indikátoru, který trvale indikuje zvolený programový kanál. Ladicí napětí varikapů je vnitřně propojeno na společný výstup. Integrovaný obvod UL1958N je základní součástka, která slouží k volbě prvních čtyř kanálů. Obvod UL1959N slouží pro libovolné rozšíření dotečkového spínače vždy o čtyři další kanály. Výrobcem obou popsaných obvodů je polský výrobce polovodičových součástek Unitra-CEMI.

Oba integrované dotečkové spínače se vyznačují velkou vstupní citlivostí, malým zbytkovým napětím budicích výstupů, malou teplotní závislostí ladícího spínače předvolby, budicí výstupy každého kanálu se mohou použít k řízení žárovkového, diodového či doutnaváho indikátoru nebo doutnaváho číslicového elektronkového zobrazovače např. typu ZM1180 apod. Obvody mohou pracovat rovněž ve stavu provozní přípravy, vestavěný kruhový čítač pracuje s kmitočtem do 10 kHz. K provozu obvodů není nutná vnější diodová matica. K napájení se používá pouze jedno kladné napětí doporučené velikosti 30 V.

Funkční skupinové zapojení obou typů obvodů UL1958N, UL1959N je uvedeno na obr. 55. Součástky jsou v plastovém pouzdru LIL-18 s 2x devíti vývody ve dvou řadách. Zapojení vývodů je patrné z funkčního skupinového zapojení. Funkce vývodů: 01 – zemníci bod; 02, 04, 06, 08 – vstupy pro připojení dotečkových senzorů; 03, 05, 07, 09 – vstupy pro buzení indikátorů sepnutého kanálu; 10 – výstup kruhového čítače; 11 – výstup ladícího napětí varikapů; 12, 13, 14, 15 – vstupy pro připojení napětí pro varikapy z potenciometrů předvolby; 16 – připoj kladného napájecího napětí; 17 – u obvodu UL1958N: vstup blokovací funkční skupiny, u UL1959N: vstup kruhového čítače; 18 – vstup sekvenčních přepínacích impulsů. Elektrické údaje mezní a charakteristické obou integrovaných obvodů jsou stejné a jsou uvedeny v tabulce 11.

V přijímači nebo jiném elektronickém přístroji, v němž se použije popisovaný elektronický senzorový spínač, se podstatně zvýší stupeň miniaturizace a současně se zlepší spolehlivost provozu. Použití spínače dovoluje sekvenční přepínání (funkce přepínače je podobná jako funkce kruhového přepínače), přičemž je počet vnějších součástek omezen na minimum (a to především druhých mechanických dílů). Přepínač umožňuje dálkové ovládání i při přepínání kanálů v pásmu ultrakrátkých vln.

Předvolba přijímaného kanálu v daném pásmu je možná pomocí otočných potenciometrů, kterými se lepší přesnost nastavení ladícího napětí. Vnitřní integrované operační zesilovače, které pracují jako napěťové sledovače (oddělovače) dobře oddělují vnější potenciometry, proto není nutné používat přidavných oddělovacích diod.

Integrované obvody se mohou napájet napětím v rozmezí 10 V až 36 V. Prakticky to znamená, že se napájecí napětí může značně zmenšit během klidového provozního

Tab. 11. Elektrické údaje UL1958N, UL1959N

Mezní údaje ($\theta_a = +25^\circ C$)		
Napájecí napětí (bez předřadového odporu)	$U_{CC} (U_{16}) = 10 \text{ až } 36$	V
Napájecí proud ³⁾	$I_{CC} (I_{16}) \leq 15$	mA
Proud výstupu pro buzení indikátoru trvalý	$I_3, I_5, I_7, I_9 \leq 55$	mA
vrcholový, $t \leq 2 \text{ s}$	$I_{3M}, I_{5M}, I_{7M}, I_{9M} \leq 100$	mA
Teplota přechodu	$\theta_j \leq 150$	°C
Rozsah pracovních teplot okolí	$\theta_a = 0 \text{ až } 70$	°C
Rozsah skladovacích teplot	$\theta_{stg} = -40 \text{ až } 125^\circ C$	°C
Teplotní odpor přechod–okolí	$R_{thja} \leq 90 \text{ k}\Omega$	
Charakteristické údaje		
Platí při $\theta_a = +25^\circ C$, $U_{CC} = 30 \text{ V}$, v doporučeném zapojení.		
Napájecí proud při zapnuté sekci při vypnuté sekci	$I_{CC} = \text{jmen. } 7,0; 4,5 \text{ až } 9,5$ $I_{CC} = \text{jmen. } 5,0; 2,9 \text{ až } 8,5$	mA
Přepínací napětí na vývodu 18 $R_K = 2,7 \text{ k}\Omega$, při dotyku tlačítka T_1 až T_8	$U_{18S} = \text{jmen. } 3,7; 3,25 \text{ až } 4,2$	V
Přídružné napětí na vývodu 18 po dotyku tlačítka T_1 až T_8	$U_{18H} = \text{jmen. } 2,9; 2,6 \text{ až } 3,2$	V
Saturační napětí tranzistorů pro buzení indikátorů $R_L = 1 \text{ k}\Omega$ $R_L = 30 \text{ k}\Omega$	$U_3, U_5, U_7, U_9 \text{ sat} = \text{jmen. } 0,8; \leq 1,5$ $U_3, U_5, U_7, U_9 \text{ sat} = \text{jmen. } 30; \leq 60$	V mV
Průrazné napětí tranzistorů pro buzení indikátorů $I_{CE} = 100 \mu A$ $I_{CE} = 5 \mu A$	$U_{(BR)T1}, U_{(BR)T2}, U_{(BR)T3}, U_{(BR)T4} \geq 60$ $U_{(BR)T1}, U_{(BR)T2}, U_{(BR)T3}, U_{(BR)T4} \geq 50$	V V
Rozsah programovacích (ladicích) napětí	$U_{12}, U_{13}, U_{14}, U_{15} = 0,3 \text{ až } U_{CC}-2$	V
Vstupní proud programovacích vstupů	$I_{12}, I_{13}, I_{14}, I_{15} = \text{jmen. } 150; \leq 300$	nA
Rozdílové napětí mezi jednotlivými programovacími vstupy a výstupem pro napájení varikapů v kanálovém voliči	$U_{12} - U_{11} = \pm 100$ $U_{13} - U_{11} \leq \pm 100$ $U_{14} - U_{11} \leq \pm 100$ $U_{15} - U_{11} \leq \pm 100$	mV mV mV mV
Vstupní proud spínacího zesilovače pro sepnutí	$I_{12}, I_{14}, I_{16}, I_9 = \text{jmen. } 80; 20 \text{ až } 200$	nA
Teplotní závislost výstupního napětí po varikape v kanálovém voliči $\theta_a = +20 \text{ až } +50^\circ C$	$TKU_{OT} \leq 5$	mV
Vlastnosti přepínacího impulsu		
Přepnouti zpět na kanál 1: Napětí přepínacího impulsu ¹⁾	$U_{18M/M} = \text{jmen. } 15$	V
Doba trvání přepínacího impulsu ¹⁾	$t_{ip\ 18} \geq 70$	μs
Přepnout na další stupeň:: Napětí přepínacího impulsu ²⁾	$U_{18\ M/M} = \text{jmen. } 15$	V
Doba trvání přepínacího impulsu	$t_{ip\ 18} = \text{jmen. } 2,5$	μs
Doba náhrnu přepínacího impulsu ²⁾	$t_{18} \leq 1$	μs
Průrazné napětí Zenerovy diody I_6 při $U_{CC} = 30 \text{ V} + 3 \text{ V}$	$U_Z = 34 \text{ až } 39$	V

1) Při spínání první sekce. Měřeno mezi spinaným vstupem a vývodom 11.

2) Při přepínání dalších sekcí.

3) Při napájení větším napětím se musí použít předřadný rezistor s příslušně zvoleným odporem.

stavu (během příjmu programu na zvoleném kanálu), kdy je zvolený spínač trvale sepnut a ostatní kanály jsou zablokovány.

Zádané sekce spínače se volí buď dotečkem senzorového pole nebo pomocí miniaturního mechanického tlačítka. V obou případech se vytvoří elektrický signál na příslušném vstupu, který sepnuté nastavené vstupní přepínací napětí a současně přepínací stupň sepnuté žádaný kanál. Výstup pro indikátor bude signalizovat zapnutý kanál. Je třeba dodat, že každý integrovaný obvod je vybaven pamětí zvoleného kanálu.

Z funkčního skupinového zapojení (obr. 155) jsou patrné čtyři spínací sekce jako základní funkční skupiny integrovaného

bezkontaktního spínače. Každá sekce má vlastní klopný obvod R-S, který se může spouštět vstupem (vstupním dotečkovým senzorem či tlačítkem T_a) přes vstupní zesilovač A_1 nebo A_2 v době sekvenčního přepínání kladnými impulsy, přiváděnými na vstup 18. K tomuto vstupu je paralelně připojen rezistor R_C , společný pro všechny sekce, který tvoří trvalou zátěž vstupu.

Klopný obvod R-S pracuje se dvěma transistorovými přepínači Sp a Sw. Přepínač Sp přepíná ladící napětí, jehož velikost je pře-

dem nastavena potenciometrem P, na výstup 11. Přepínač Sw přivádí signál na výstup, který je spojen s indikátorem zvolené sekce a voličem vlnového pásma.

U integrovaného obvodu UL1958N je v první sekci použit místo zesilovače A₂ kruhový přepínací obvod SO, který je nastaven tak, aby při prvním připojení napájecího napětí samočinně sepnul první sekci přepínače. Integrovaný obvod dále obsahuje pomocné zapojení SB, pomocí něhož se mohou zablokovat všechny vstupy (tzv. stav připravenosti) a dále proudový zdroj CG, který spolupracuje s oddělovacím zesilovačem OP právě sepnuté sekce. Obvod UL1959N přednostní spínání první sekce nemá.

Na obr. 156 je znázorněno vnitřní elektrické zapojení jedné sekce přepínačového obvodu UL1958N. Zesilovače A₁ a A₂ jsou dvoustupňové, tvoří je tranzistory T₁, T₂ a T₃, T₄. Zesílení zesilovače A₁ je přitom nastaveno tak, aby bylo možno volit sekce buď pomocí mechanického tlačítka nebo dotečkem senzoru T_a. Po volbě jedné ze čtyř sekcí se přivede příslušný impuls na bázi tranzistoru T₆ přes proudový zesilovač, který je vytvořen tranzistory T₃, T₄ a T₅. Impuls otevře tranzistory T₆ a T₈ (klopny obvod se překlopí). Tranzistor T₉ se rovněž vybudí, T₇ se stane vodivým, výsledkem toho je stabilní stav klopnyho obvodu.

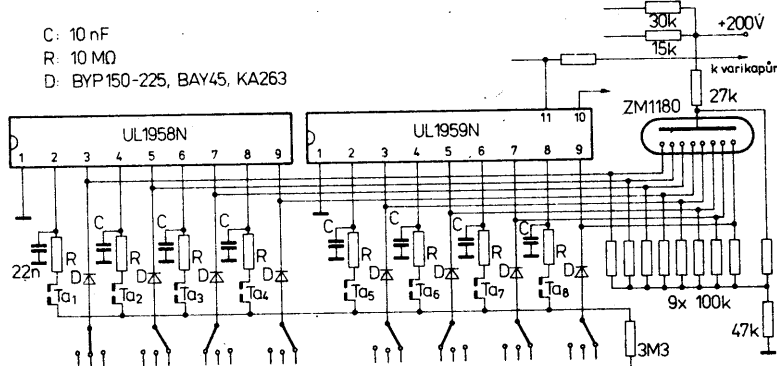
Klopny obvod sepnne do pracovního stavu rovněž způsobením signálu ze zesilovače A₂. Tento zesilovač je řízen z výstupu předchozího klopnyho obvodu. Využívá se v době sekvenčního přepínání sekcí.

Spuštění klopnyho obvodu a otevření tranzistoru T₈ a sériově zapojeného tranzistoru T₉ způsobí vybuzení tranzistoru T₁₂ a následné sepnutí indikátoru Sw, signalizujícího sepnuté programové sekce. Během činnosti přepínače pásem se náhle zvýší proud protékající klopnym obvodem R-S sepnuté sekce, který způsobí zvětšení napětí na rezistoru R_c. Toto náhle zvětšení napětí má za následek vypnutí dříve sepnuté sekce.

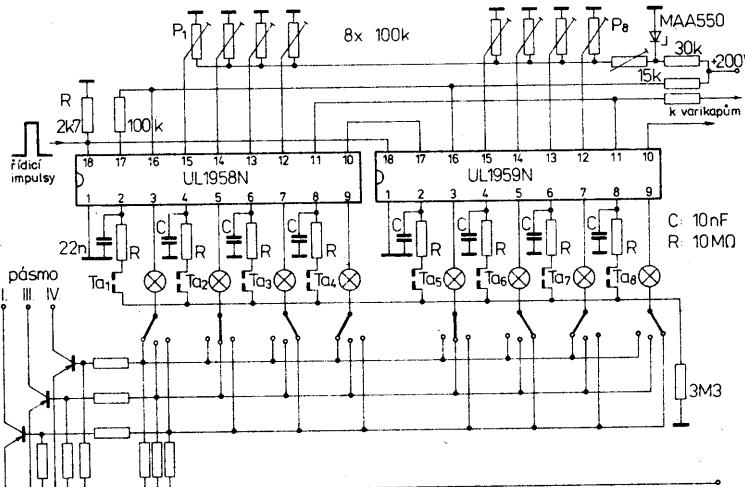
Napěťový sledovač, složený z tranzistorů T₁₃ až T₂₁, tvoří operační zesilovač se zápornou zpětnou vazbou. Napětí na výstupu zesilovače, jež se rovná napětí na jeho vstupu, se používá pro předpětí kapacitních diod v ladící části televizního či rozhlasového přijímače. Velikost tohoto napětí se může měnit potenciometrem P, čímž se přijímač přeladuje v rámci jednoho vlnového pásma. Výstupy všech čtyř sledovačů jsou uvnitř obvodu propojeny přes přepínače Sp a pak společně vyvedeny na vývod 11. Darlingtonovo zapojení tranzistorů T₁₄, T₁₅ a T₁₇, T₁₈ je zvoleno pro zvětšení vstupního odporu sledovače.

Na obr. 157 je naznačen způsob zapojení integrovaných obvodů UL1958N a UL1959N ve funkci osmikanálového senzorového spínače. Integrovaný obvod UL1958N může pracovat samostatně jako čtyřkanálový spínač, UL1959N samostatně pracovat nemůže, jeho činnost je možná pouze jako doplňková k obvodu UL1958N. Po připojení napájecího napětí k vývodu 16 přepínací obvod SO v obvodu UL1958N přednostně sepnne první programovou sekci. Ladící napětí, nastavené potenciometrem P₁, se z vývodu 15 dostává přes sepnutý přepínač sekce na vývod 11. Současně je sepnut rovněž výstup pro připojení indikátoru (vývod 03).

Zvolená programová sekce zůstává trvale zapnutá, což zajišťuje blokovací zapojení SB integrované v obvodu UL1958N, které blokuje výběr jiné sekce. Změna programové sekce je možná teprve po sepnutí spínače S.



Obr. 158. Typické zapojení osmikanálového spínače s obvody UL1958N a UL1959N pro volbu jednoho televizního programu, indikace volby je provedena doutnavou číslicovou výbojkou



Obr. 159. Zapojení osmikanálového dotekového spínače s obvody UL1958N a UL1959N a indikací žárovkou nebo světelnou diodou

Při sekvenčním přepínání se přivádějí příslušné impulsy na vývod 18 integrovaného obvodu. Přepnutí na následující programovou sekci se provádí pomocí impulu s amplitudou 15 V, jehož doba nárůstu je nejvýše 1 μs a doba trvání 2,5 μs.

Typické zapojení obvodů UL1958N a UL1959N pro volbu jednoho z osmi programových kanálů v televizním přijímači je na obr. 158. Každá sekce přepínače se může pomocí vhodného přepínače pásma použít k volbě kteréhokoli televizního kanálu v pásmu I. až V. Zvolenou sekci přepínače indikuje číslicová doutnavá výbojka typu Nixie (např. ZM1182). Sekvenční přepínání z jedné sekce na druhou se provádí kladnými impulsy přiváděnými na vývod 18 integrovaného obvodu.

Příklad typického zapojení osmikanálového dotekového spínače, pracujícího se žárovkovými indikátory nebo luminiscenčními diodami, je uveden na obr. 159. Indikátory jsou připojeny sériově s přepínači pásem, takže diody použité v zapojení podle obr. 158 nejsou potřebné.

Zajímavé zapojení elektronického dotekového přepínače programů, který je použit v rozhlasovém přijímači typu RPC 500 Hi-Fi firmy Grundig, je na obr. 160. V přepínači je použito jednoho obvodu UL1958N a dvou UL1959N, které slouží k volbě jednoho z deseti programů v pásmu dlouhých, středních a velmi krátkých vln. Číslo zvoleného programu signalizuje jedna z deseti žárovek, vlnový rozsah jedna ze tří elektroluminiscenčních diod. Po sepnutí jednoho z tlačitek 2, 4, 6, 8 se spne příslušný vybraný program. Na výstupu 11 integrovaného obvodu je k dispozici stejnospěrné napětí, jehož velikost je nastavena příslušným potenciometrem. Současně se rozsvítí žárovka signali-

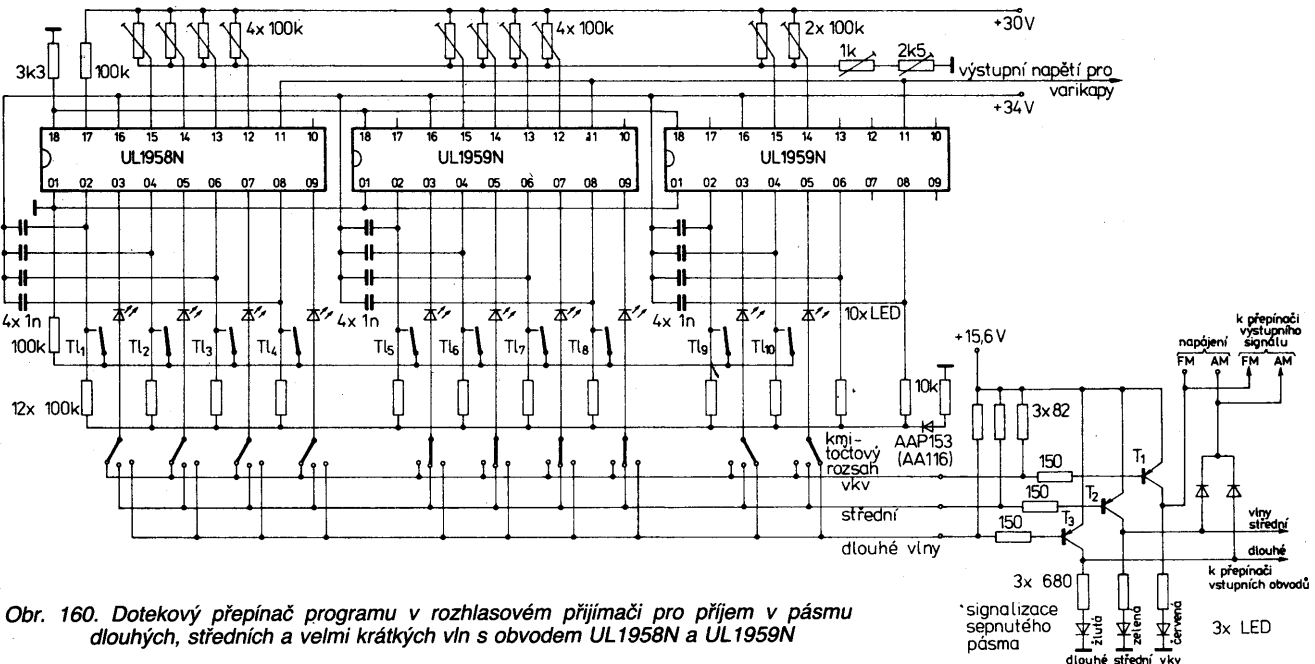
zující číslo zvoleného programu. K výběru vlnového rozsahu slouží třípolohové přepínače, které se nacházejí v obvodech se žárovkami. Těmito přepínači se spínají tranzistory T₁, T₂ a T₃, které budí diody LED signalizující zapnutý vlnový rozsah.

Signalizace čísla zvolené programové sekce se může realizovat též pomocí sedmisegmentového číslicového zobrazovače LED v zapojení podle obr. 161. Sepnutí zvolené programové sekce způsobí vznik logického signálu s úrovní 0, který se přivádí na vstupy logických členů NAND dvou integrovaných obvodů MH7420, které plní funkci dekódéra a převádějí kód 1 z osmi na kód sedmisegmentového zobrazovače 8 4 2 1.

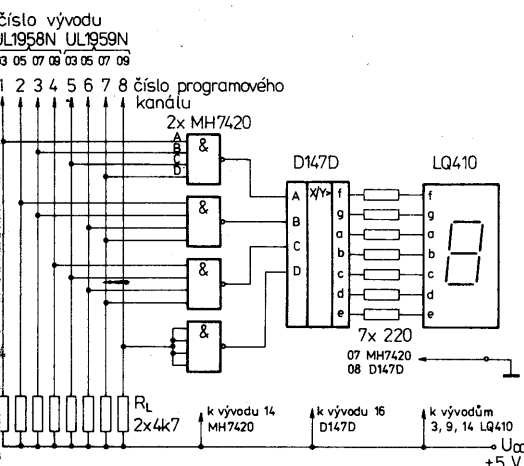
Informace, udávající číslo sepnuté sekce v kódu 8 4 2 1 se přivádí na vstupy A, B, C, D obvodu D147D, který řídí jednotlivé segmenty zobrazovače LED tak, aby rozsvícená číslice odpovídala číslu zvoleného kanálu. Popsané zapojení v podstatě navazuje na zapojení podle obr. 157, kde jsou použity rezistory R_L ve vývodech 03, 05, 07, 09 stejně velikosti (4,7 kΩ).

Popsaný způsob signalizace zvoleného kanálu číslicovým zobrazovačem LED je jedním z různých možností signalizace ve spojení s integrovanými obvody senzorových spínačů. Proti zapojení na obr. 158 má tento způsob přednost v jednoduchosti zapojení a možnosti nákupu dostupných součástek na tuzemském trhu (plyněm plněné výbojky typu ZM1182 jsou spíš jen výjimečně v prodeji). Místo dvou integrovaných obvodů MH7420 se může použít jeden obvod SN74147N, který plní stejnou funkci jako obvod MH7420. Uvedený obvod se však na našem trhu nevyskytuje.

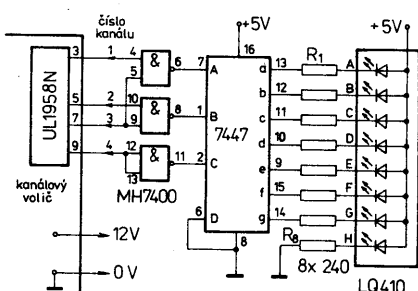
U jednoduššího indikátoru čtyř přijímačů televizních kanálů, který pracuje s ob-



Obr. 160. Dotekový přepínač programu v rozhlasovém přijímači pro příjem v pásmu dlouhých, středních a velmi krátkých vln s obvodem UL1958N a UL1959N



Obr. 161. Zapojení indikátoru zvoleného programu sedmisegmentovým zobrazovačem se světelnými diodami ve spojení s dotekovým čtyřkanálovým spínačem UL1958N

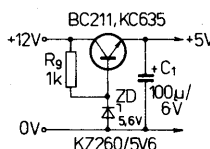


Obr. 162. Indikace zvoleného kanálu sedmisegmentovým zobrazovačem ve spojení s dotekovým spínačem UL1958N pro volbu jednoho ze čtyř kanálů

v obvodem UL1958N, postačí jako dekodér logický obvod MH7400 v zapojení podle obr. 162. Tři logické členy NAND obvodu slouží jako dekodér kódu 1 ze čtyř na kód BCD. Druhý dekodér D147D, stejně jako v předcházejícím případě, plní funkci převodníku BCD na kód sedmissegmentového zobrazovače. Zobrazovač ze světelných diod může

být typu LQ410 nebo jakýkoliv jiný zobrazovač se společně vyvedenou anodou (zobrazovač se řídí v katodách jednotlivých segmentů). Obvod se napájí kladným napětím 5 V.

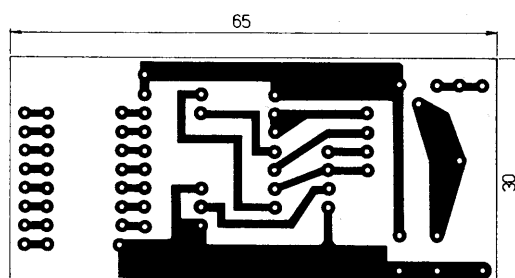
Pokud v přijímači není možnost odběru napájecího napětí 5 V, může se použít převážně používané napětí 12 V, které se upraví stabilizačním obvodem podle obr. 163.



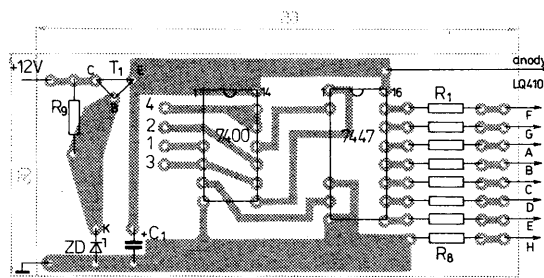
Obr. 163. Stabilizovaný napájecí zdroj s výstupním napětím +5 V pro napájení zobrazovače LED

Toto jednoduché zapojení využívá nf tranzistoru n-p-n BC211 (může se použít jakýkoliv jiný tranzistor se středním ztrátovým výkonem okolo 1 W, např. KC635 Tesla). V obvodu báze je vložena Zenerova dioda s napětím 5,6 V, která udržuje na výstupu stabilizátoru napětí 5 V. Pokud je v přijímači rozvod napájecího napětí jiné velikosti, je snadné stabilizační zapojení upravit změnou Zenerovy diody s jiným napětím na výstupních 5 V.

Ke zhotovení popsaného zapojení indikátoru podle obr. 162 se může použít malá deska s plošnými spoji podle obr. 164a, na které jsou umístěny všechny použité součástky včetně stabilizátoru napětí mimo číslicový zobrazovač LQ410, který je umístěn na čelní straně přijímače a spojen s deskou plošných spojů osmipramenným kabelem



Obr. 164a. Deska s plošnými spoji indikátoru zvoleného kanálu podle obr. 162, které obsahuje i napájecí zdroj +5 V podle obr. 163



Obr. 164b. Rozmístění součástek na desce s plošnými spoji podle obr. 164a

nebo plochým vodičem. Rozmístění součástek na desce s plošnými spoji je na obr. 164b.

U obou integrovaných obvodů nejsou využity všechny vývody logických členů. Nevyužité vstupy a výstup dekódéra MH7420 se musí připojit přes rezistory 4,7 kΩ ke kladnému pólu napájecího napětí. Po připojení napájecího napětí k hotovému zobrazovači, který je již spojen s obvodem dotečkového spínače UL1958N se musí rozsvítit číslice, která odpovídá zvolenému programovému kanálu.

Integrované obvody UL1958N a UL1959N jsou dobrou elektronickou a mechanickou obdobou bezkontaktních spínacích obvodů firmy Siemens SAS580 a SAS590.

Bezkontaktní dotečkové spínače SAS580, SAS590

Bipolární bezkontaktní dotečkové spínače čtyř kanálů SAS580, SAS590 jsou určeny pro přepínání vlnových pásem v kanálových volných televizních a rozhlasových přijímačů. Dotykem prstu na senzorovou dotečkovou plochu se zvolí jeden ze čtyř volitelných kanálů. Každý kanál je vybaven vlastním výstupem pro indikaci stavu jeho zvolení. Ladící napětí pro variaky se vnitřně propojuje na společný výstup. Integrovaný obvod SAS580 je základní součástka pro volbu prvních čtyř kanálů. Počet volitelných kanálů je možné rozšířit vždy o další čtyři kanály připojením integrovaného obvodu SAS590.

Integrované obvody SAS580 a SAS590 se vyznačují velkou vstupní citlivostí, malým zbytkovým napětím budicích výstupů, spínač ladidloho napětí je jen málo citlivý na teplotu v provozu. Budicí výstupy mohou být žárovkové, diodové, doutňakové indikátory nebo plynové číslicové výbojky. V zapojení jako kruhový čítač činí kruhový kmitočet max. 10 kHz. Obvody dovolují provoz ve stavu provozní připravenosti. K provozu spínacích obvodů postačuje pouze jedno napájecí napětí, vnější diodová maticce není potřebná.

Oba integrované obvody SAS580 a SAS590 jsou v plastovém pouzdru DIP-18 s 2× devíti vývodech ve dvou řadách v rastrovi 2,54 mm a odstupem řad vývodů 7,6 mm. Funkce vývodů je stejná jako vývodů spínačů UL1958N a UL1959N. Elektrické údaje jsou v tabulce 12.

Funkční skupinové zapojení obvodů SAS580 a SAS590 je na společném obr. 155. Funkce celého obvodu je obdobná jako u polských spínačů UL1958N a UL1959N. Po připojení napájecího napětí U_{16} k obvodu SAS580 se sepne vždy kanál 1, tzn. ladící napětí z vývodu 15 se vnitřně propojí na vývod 11, indikační žárovka se na vývodu 3 vyděl a rozsvítí. Změnu kanálu způsobuje přebití zatěžovacího kondenzátoru, který je připojen k výstupu 11, proud přibližně $\pm 50 \mu\text{A}$.

Stav provozní připravenosti je dán napětím U_7 maximálně 0,7 V, tzn. při volbě libovolného kanálu při tomto napětí zůstává původně sepnutý kanál zachován. Volba nového kanálu není možná. Nově zvolený kanál se musí znova projevit po sepnutí spínače P_1 . Doporučené provozní zapojení dotečkových spínačů je stejně se zapojením na obr. 157.

Bezkontaktní dotečkové spínače SAS560S, SAS570S

Bipolární integrované obvody SAS560S, SAS570S jsou bezkontaktní dotečkové spínače pro volbu jednoho ze čtyř kanálů, dotečkem na senzorové plošky připojené ke vstupům obvodu. Každý spínací stupeň má vý-

Tab. 12. Elektrické údaje dotečkových spínačů SAS580, SAS590

Mezní údaje		
Napájecí napětí (bez přeřadného rezistoru)	$U_{16} \leq 36$	V
Spotřeba napájecího proudu při napájení vyšším napětím přes předřadný rezistor	$I_{16} \leq 15$ $I_3, I_5, I_7, I_9 \leq 55$ $I_3, I_5, I_7, I_9 \leq 100$ $\theta_j \leq 150$	mA
Výstupní proud budičů $t \leq 2\text{s}$	$\dot{I}_a = 0$	mA
Teplota přechodu	$\theta_j \leq 150$	°C
Rozsah skladovací teploty	$\dot{\theta}_{stg} = -40 \text{ až } +125$	°C
Teplotní odpor systém—okolí	$R_{thsa} \leq 90$	K/W
Doporučené provozní údaje		
Napájecí napětí	$U_{16} = 10 \text{ až } 36$	V
Teplota okolí v provozu	$\theta_a = 0 \text{ až } 70$	°C
Charakteristické údaje		
Platí při $U_{16} = 30 \text{ V}$, $\theta_a = 25 \text{ °C}$, není-li uvedeno jinak.		
Spotřeba napájecího proudu sepnutý kanál	$I_{16} = \text{jmen. } 7,0; 4,5 \text{ až } 9,5$	mA
nesepnutý kanál	$I_{16} = \text{jmen. } 5,0; 2,9 \text{ až } 8,5$	mA
Přepínací napětí při dotece tlačítek $T_1, \text{ až } T_8$	$U_{18S} = \text{jmen. } 3,7; 3,25 \text{ až } 4,2$	V
Přidržné napětí po doteku tlačítek $T_1, \text{ až } T_8$	$U_{18H} = \text{jmen. } 2,9; 2,6 \text{ až } 3,2$	V
Saturační napětí budiče žárovky	$R_L = 1 \text{ k}\Omega$ $R_L = 30 \text{ k}\Omega$	
$I_{1av} = 100 \mu\text{A}$	$U_3, U_5, U_7, U_9 = \text{jmen. } 0,8; \leq 1,5$	V
$I_{2av} = 5 \mu\text{A}$	$U_3, U_5, U_7, U_9 = \text{jmen. } 30; \leq 60$	mV
Ladící napětí sepnuté	$U_{12}, U_{13}, U_{14}, U_{15} = 0,3 \text{ až } U_{16} - 2$	V
Vstupní proud ladících vstupů	$I_{12}, I_{13}, I_{14}, I_{15} = \text{jmen. } 150; \leq 300$	nA
Napětí nesymetrie ladidloho spínače 1)	$U_{12/11}, U_{13/11} \leq \pm 100$	mV
$U_{14/11}, U_{15/11} \leq \pm 100$		mV
Tepelná závislost ladidloho spínače $\theta_a = 20 \text{ až } 50 \text{ °C}$	$U_T \leq 5$	mV
Vnitřní odpor výstupu ladění $I_1 \leq \pm 30 \mu\text{A}$	$R_{011} = \text{jmen. } 3$	kΩ
Vstupní proud spínacího zesilovače pro přepnutí	$I_2, I_4, I_6, I_8 = \text{jmen. } 80; 20 \text{ až } 200$	nA
Vstupní prahové napětí spínacího zesilovače	$I_2, I_4, I_6, I_8 = \text{jmen. } 5,5$	V
$I_2, I_4, I_6, I_8 = 80 \text{ nA}$		
Kmitočet postupného spinání kruhového čítače...	$f = \text{jmen. } 10$	kHz
Přepnouti zpět na kanál 1: napětí spínacího impulsu doba spínacího impulsu doba vzestupné hrany spínacího impulsu	$U_{SI \ 18} = \text{jmen. } 15$ $t_{SI \ 18} \geq 70$ $t_{SI \ LH \ 18} \leq 1$	V μs μs
Přepnouti na následující kanál: napětí spínacího impulsu doba spínacího impulsu doba vzestupné hrany spínacího impulsu	$U_{SI \ 18} = \text{jmen. } 15$ $t_{SI \ 18} = \text{jmen. } 2,5$ $t_{SI \ HL \ 18} \leq 1$	V μs μs
Charakteristické údaje Zenerovy diody		
Zenerovo napětí $I_{16} (30 \text{ V}) + 3 \text{ mA}$	$U_Z + 34 \text{ až } 39$	V

1) Měřeno mezi sestupným vstupem a vývodem 11.

stup ladění a výstup pro optickou indikaci zvoleného kanálu. Velká vstupní citlivost každého kanálu dovoluje použití v rozhlasových nebo televizních přijímačích, napájených přímo ze sítě bez oddělovacího transformátoru. Pro zvětšení počtu spínacích kanálů se může spojit několik integrovaných obvodů.

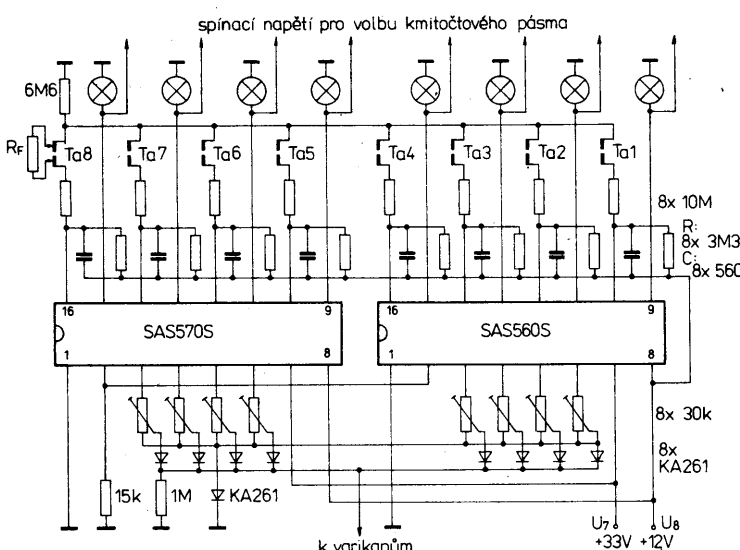
Integrované obvody SAS560S, SAS570S jsou v plastovém pouzdru DIL-16 s 2× osmi vývody v rastrovi 2,54 mm ve dvou řadách s odstupem řad vývodů 7,6 mm. Funkce vývodů: 1 – zemnický bod; 2 – vývod pro funkční propojení několika obvodů SAS560S, SAS570S; 3, 4, 5, 6 – vývody pro připojení regulacích potenciometrů kanálů 4, 3, 2, 1; 7 – přístroj kladného napájecího napětí U_7 ; 8 – přípoj kladného napájecího napětí U_8 ; 9, 11, 13, 15 – výstup kanálu 1, 2,

3, 4; pro připojení indikační světelné diody nebo žárovky volby pásm; 10, 12, 14, 16 – výstup pro připojení senzorových ploch kanálů 1, 2, 3, 4. Elektrické údaje obou spínacích obvodů jsou v tabulce 13.

Funkční skupinové zapojení obou integrovaných obvodů je na obr. 165. Spínací kanály jsou na sobě zcela nezávislé. Vnitřní zdroj stabilizovaného napětí dodává napájecí napětí pro všechny stupně, proto může obvod pracovat s napájecím napětím v širokém rozsahu od 5 V do 25 V. Obvod SAS560S spiná samočinně pro připojení napájecího napětí U_7 vždy první kanál, obvod SAS570S po připojení napětí U_7 nespíná žádný kanál. Při současném doteku několika senzorových plošek zůstane zapnut pouze jeden kanál. Platí to i pro několik spojených integrovaných obvodů. Po odpojení napětí U_8

Tab. 14. Elektrické údaje dotekového spínače SAS6800, SAS6804

Mezní údaje		
Napájecí napětí 1	$U_7 \leq 20$	V
Napájecí napětí 2	$U_8 \leq 33$	V
Vstupní napětí vstupů 2, 3, 4, 5	$U_2 \text{ až } U_6 \leq U_8 + 5$	V
Vstupní proud vstupů 2, 3, 4, 5	$I_2 \text{ až } I_6 \leq 0,5$	mA
Výstupní proud	$-I_a \leq 35$	mA
Teplota přechodu	$\vartheta_i \leq 150$	°C
Rozsah skladovací teploty	$\vartheta_{stg} = -40 \text{ až } +125$	°C
Teplní odpor systém-okolí	$R_{Thsa} \leq 90$	°C
Doporučené provozní údaje		
Napájecí napětí 1	$U_7 = 5 \text{ až } 18$	V
Napájecí napětí 2	$U_8 = 10 \text{ až } 30$	V
Teplota okolí v provozu	$\vartheta_a = 0 \text{ až } 70$	°C
Charakteristické údaje		
Platí při $U_7 = 12 \text{ V}$, $U_8 = 30 \text{ V}$, $\vartheta_a = 25 \text{ °C}$		
Spotřeba napájecího proudu 1	$I_7 = \text{jmen. } 13; \leq 18$	mA
Spotřeba napájecího proudu 2 bez zatěžovacího proudu	$I_8 \leq 16$	mA
Saturační napětí výstupů vztaženo k napětí U_8	$U_Q = \text{jmen. } 1,8; \leq 2,4$	V
Závěrný proud výstupů	$-I_Q = \text{jmen. } 1,0; \leq 50$	μA
Vstupní proud spínacího zesilovače pro přepnutí	$-I_{2/3} = \text{jmen. } 200; \leq 400$	nA



Obr. 166. Doporučené provozní zapojení osmikanálového dotekového spínače s obvody SAS560S a SAS570S

spínacími kanály je uvedeno na obr. 169. Prakticky totéž zapojení platí pro použití obvodu SAS6804 se čtyřmi spínacími kanály, respektují-li se vlastnosti jednotlivých vývodů.

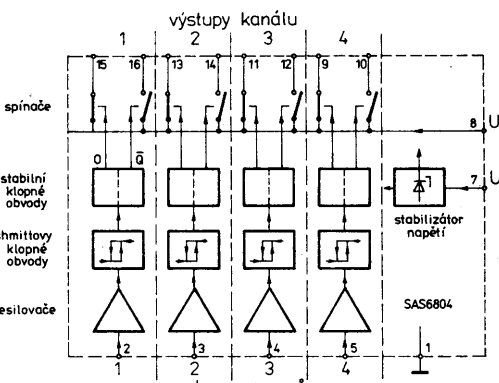
Integrované obvody SAS6800 vyrábějí podnik Siemens, SRN, a rumunský výrobce IPRS, Beneasa, obvody SAS6804 pouze IPRS, Beneasa.

Bezkontaktní dotekový spínač SAS6810

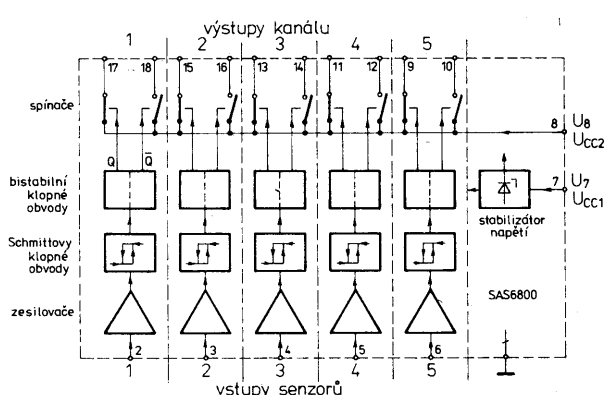
Bipolární integrovaný obvod SAS6810 je konstrukčně odvozen od základního obvodu SAS6800. Obsahuje pouze jeden spínací stupeň, který se aktivuje dotekem prstu na senzorové plošce, připojené ke vstupu obvodu. Při každém aktivování obvodu dotekem prstu se mění stav výstupů. Obvod SAS6810 je vhodný pro použití v rozhlasových přijímačích, kde mohou zapínat a vypínat jednu funkci, např. šumový filtr nebo automatické řízení zesiření apod.

Integrovaný obvod SAS6810 je v plastovém pouzdru DIL-6 s 2x třemi vývody v rastrovi 2,54 mm ve dvou řadách s odstupem řad 7,6 mm. Funkce vývodů: 1 – výstup Q; 2 – zemní bod; 3 – vstup pro připojení dotekového senzoru; 4 – přípoj kladného napájecího napětí U_4 (U_{CC1}); 5 – přípoj kladného napájecího napětí U_5 (U_{CC2}); 6 – výstup Q. Elektrické údaje tohoto obvodu jsou v tabulce 15.

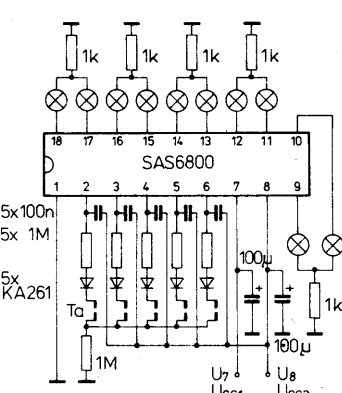
Funkční skupinové zapojení obvodu SAS6810 je na obr. 170, doporučené provozní zapojení na obr. 171. Popis funkce obvodu je shodný se základním obvodem SAS6800. Výrobcem popsaného obvodu je firma Siemens, SRN.



Obr. 168. Funkční skupinové zapojení dotekového spínače SAS6804



Obr. 167. Funkční skupinové zapojení dotekového spínače SAS6800

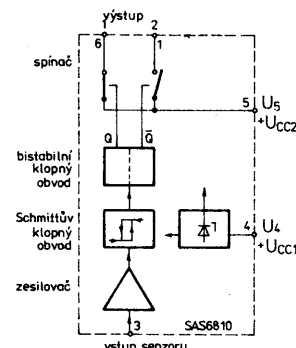


Obr. 169. Doporučené provozní zapojení pětikanálového dotekového spínače s obvodem SAS6800

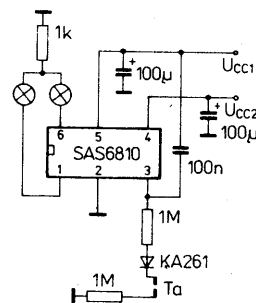
Tab. 15. Elektrické údaje dotekového spínače SAS6810

Mezní údaje		
Napájecí napětí 1	$U_4 \leq 20$	V
Napájecí napětí 2	$U_5 \leq 33$	V
Vstupní napětí	$U_3 \leq U_5 + 5$	V
Vstupní proud	$I_3 \leq 0,5$	mA
Teplota přechodu	$-I_a \leq 35$	mA
Rozsah skladovací teploty	$\vartheta_{stg} = -40 \text{ až } +125$	°C
Teplný odpor systém-okolí	$R_{thja} \leq 120$	K/W
Doporučené provozní údaje		
Napájecí napětí 1	$U_4 = 5 \text{ až } 18$	V
Napájecí napětí 2	$U_5 = 10 \text{ až } 30$	V
Teplota okolí v provozu	$\vartheta_a = 0 \text{ až } 70$	°C
Charakteristické údaje		
Platí při $U_4 = 12 \text{ V}$, $U_5 = 30 \text{ V}$, $\vartheta_a = 25 \text{ °C}$		
Spotřeba napájecího proudu 1	$I_4 = \text{jmen. } 3,5; \leq 5$	mA
Spotřeba napájecího proudu 2 bez zatěžovacího proudu	$I_5 \leq 2$	mA
Saturační napětí výstupů	$U_Q = \text{jmen. } 1,8; \leq 2,4$	V
vztázeno k napětí U_5	$-I_Q = \text{jmen. } 1,0; \leq 50$	μA
Závěrný proud výstupů	$-I_3 = \text{jmen. } 200; \leq 400$	nA
Vstupní proud spínacího zesilovače pro přepnutí		

Obr. 171. Doporučené provozní zapojení jednokanálového dotekového spínače s obvodem SAS6810



Obr. 170. Funkční skupinové zapojení dotekového spínače SAS6810



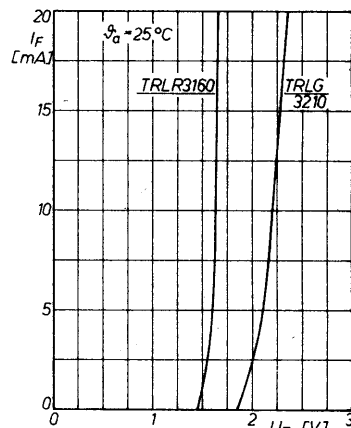
Světelné diody jako zdroj malého referenčního napětí

Červené svítící diody TRLR3160, vyroběné na bázi GaAsP na galium arzenidové podložce, a zelené svítící diody TRLG3210 na bázi GaP na galliumfosfidové podložce vyrábí Telefunken electronic speciální technologií s velkou strmostí propustného napětí. Obě diody se proto mohou používat jako zdroj velmi malého referenčního napětí.

Dioda TRLR3160 má při propustném proudu 5 mA propustné napětí 1,6 V ± 0,1 V, dioda TRLG3210 propustné napětí

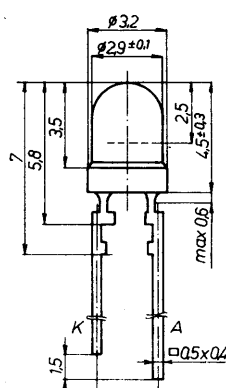
2,1 V ± 0,2 V. Závislost propustného proudu (od 0 do 20 mA) obou diod na propustném napětí je uvedena na obr. 1. Z průběhu obou křivek je patrná jen velmi nepatrná změna propustného napětí při změně propustného proudu. Proto doporučuje výrobce používat obě diody jako velmi stabilní zdroje referenčního napětí, které se mění s teplotou velmi málo (typicky 0,12 %/K u TRLR3160; 0,10 %/K u TRLG3210). Úplné elektrické údaje obou diod jsou v tabulce 1.

Obě popsané diody jsou v typizovaném pouzdro pro světelné diody s průměrem pouzdra 2,9 mm ± 0,1 mm. Provedení a vnější rozměry pouzdra jsou na obr. 2. Katoda diody je vyvedena na kratší vývod.



Obr. 1. Graf $I_F = f(U_F)$

Mezní údaje:		
Závěrné napětí	$U_R \leq 6$	V
Propustný proud ($\vartheta_a \leq 60^\circ$) TRLR3160 TRLG3210	$I_F \leq 50$ $I_F \leq 30$	mA
Propustný proud nárazový $t_p \leq 10 \text{ s}$	$I_{FSM} \leq 1$	A
Ztrátový výkon ($\vartheta_a \leq 60^\circ \text{ C}$)	$P_D \leq 100$	mW
Teplota přechodu	$\vartheta_j \leq 100$	°C
Rozsah skladovací teploty	$\vartheta_{stg} = -55 \text{ až } +100$	°C
Teplota vývodů při pájení		
$t \leq 5 \text{ s}, 2 \text{ mm od pouzdra}$	$\vartheta_L \leq 260$	°C
Tepelný odpor přechod – okolí	$R_{thja} \leq 400$	K/W
Charakteristické údaje:		
Platí při $\vartheta_a = 25^\circ \text{ C}$		
Propustné napětí $I_F = 5 \text{ mA}$ TRLR3160 TRLG3210	$U_F = \text{jmen. } 1,6; 1,5 \text{ až } 1,7$ $U_F = \text{jmen. } 2,1; 1,9 \text{ až } 2,3$	V
Teplotní součinitel propustného napětí $I_F = 5 \text{ mA}$ TRLR3160 TRLG3210	$-TK_{UF} = \text{jmen. } 0,12$ $-TK_{UF} = \text{jmen. } 0,10$	%/K
Závěrečný proud $U_R = 6 \text{ V}$	$I_R \leq 10$	μA
Diferenční odpor v propustném směru $I_F = 5 \text{ mA}$ TRLR3160 TRLG3210	$r_F = \text{jmen. } 10; \leq 20$ $r_F = \text{jmen. } 20; \leq 30$	Ω



Obr. 2. Rozměry pouzdra

Druhou, neméně význačnou předností obou součástek je jejich nízká cena.

Vít. Stržíž

Křemíkové diody PIN

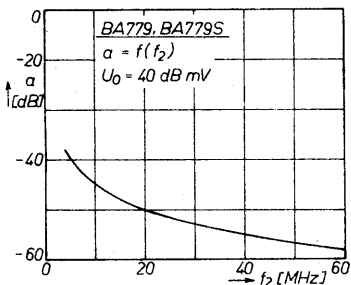
BA779, BA779S

Pro proudově řízené vysokofrekvenční rezistory v nastavitelných děličích vyvinula firma Telefunken electronic křemíkové diody PIN typu BA779 a BA779S. Jejich předností je široký rozsah provozního kmitočtu od 10 MHz do 1 GHz. Mezní údaje diod: Závěrné napětí max. 30 V, propustný proud max. 50 mA, teplota přechodu max. 125 °C, rozsah skladovacích teplot je povolen od -55 do +125 °C.

Charakteristické údaje diod (platí při teplotě 25 °C):

Při propustném napětí max. 1 V je propustný proud diody 20 mA. Při závěrném napětí 30 V je závěrný proud max. 50 nA. Diferenční odpor diod v propustném směru je max. 50 Ω při propustném proudu 1,5 mA a kmitočtu měřicího signálu 100 MHz. Vlastní kapacita diody bez napětí je max. 0,5 pF na kmitočtu 100 MHz. Rozdíl mezi oběma diodami je v impedanci v závěrném směru. Dioda BA779 má impedanci min. 5 kΩ, BA779S min. 9 kΩ (měřeno na kmitočtu 100 MHz bez přivedeného napětí).

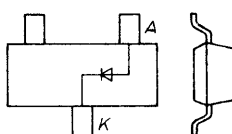
Dynamické vlastnosti diod bliže specifikuje závislost typického zkreslení křížovou modulací na provozním kmitočtu (obr. 1). Závis-



Obr. 1. Typická hodnota zkreslení křížovou modulací diod BA779, BA779S v závislosti na provozním kmitočtu, který je modulován signálem 200 kHz s úrovni modulace 100 %

lost platí v obvodu II s děličem po 10 dB. Měřicí kmitočet $f_1 = 100$ MHz nemodulovaný, napětí $U_0 = 40$ dB mV. Měřicí kmitočet f_2 je modulován signálem 200 kHz, hloubka modulace 100 %.

Obě diody jsou v miniaturním pouzdru SOT-23 (JEDEC TO-236) (obr. 2). Zapojení vývodů je uvedeno na obr. 2. Protože na



Obr. 2. Zapojení vývodů diod BA779, BA779S, BA885

pouzdro je málo místa pro označení typového znaku, je uveden jen typový kód: BA779 je označen PN, BA779S znakem +PN. Maximální tepelný odpor přechodu diody k okolí je max. 500 K/W za podmínky připájení diody na desku s plošnými spoji s plochou 50 × 50 mm a tloušťkou 1,6 mm.

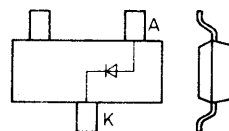
Tab. 1. Elektrické údaje diody PIN BA885

Mezní údaje:		
Závěrné napětí	$U_R \leq 50$	C
Propustný proud	$I_F \leq 50$	mA
Rozsah pracovní teploty	$\theta_a \leq 100$	°C
Rozsah skladovací teploty	$\theta_{stg} = -65$ až $+150$	°C
Tepelný odpor přechod - okolí ¹⁾	$R_{thja} \leq 450$	K/W
Charakteristické údaje:		
Napětí v propustném směru $I_F = 50$ mA	$U_F \leq 1,1$	V
Závěrný proud $U_R = 30$ V	$I_R \leq 50$	nA
Kapacita diody	$C_D = \text{jmen. } 0,3$	pF
$U_R = 10$ V, $f = 1$ MHz	$C_D = \text{jmen. } 0,23; \leq 0,5$	pF
$U_R = 0$ V, $f = 100$ MHz		
Odpor diody v propustném směru $I_F = 1,5$ mA	$r_F = \text{jmen. } 22; \leq 40$	Ω
$I_F = 10$ mA	$r_F = \text{jmen. } 5; \leq 7$	Ω
Vodivost dílody v závěrném směru $U_R = 0$ V, $f = 100$ MHz	$g_R = \text{jmen. } 70$	μS

1. Při montáži na keramickém substrátu Al_2O_3 s rozměry 16,7 × 15 mm a tloušťkou 0,7 mm.

BA885

Křemíkovou diodu PIN BA885 (obr. 2) vyvinula firma Telefunken electronic pro přepínače polarizátoru.



Obr. 3. Zapojení vývodů diody BA885

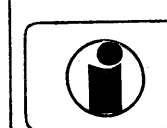
Je určena pro použití v užitečném kmitočtovém pásmu od 1 MHz do 2 GHz jako:

- proudově řízený vysokofrekvenční rezistor,
- přepínač polarizátoru v kanálových voličích přijímačů pro družicovou televizi.

Pouzdro: plastové miniaturní SOT-23 pro povrchovou montáž.
Znak na pouzdra: PA.
Všechny elektrické údaje jsou v tab. 1. Charakteristiky jsou na ob. 3, 4.

Vít. Stříž

INZERCE



Inzerci přijímá osobně a poštou Vydavatelství Magnet-Press inzertní oddělení (inzerce ARB), Vladislavova 26, 113 66 Praha 1, tel. 26 06 51-9 linka 295. Uzávěrka tohoto čísla byla 25. 3. 1991, do kdy jsme museli obdržet úhradu za inzerát. Neopomítejte uvést prodejnou cenu, jinak inzerát neuveřejníme. Text pište čitelně, aby se předešlo chybám vznikajícím z nečitelnosti předloh.

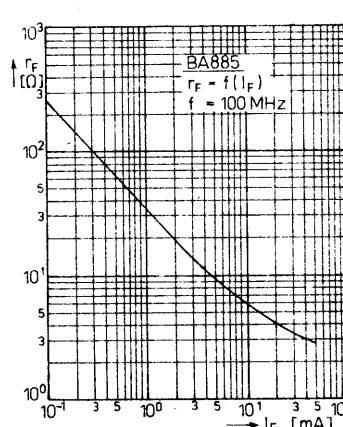
Prodej

BFR90, 91, 96 (24, 26, 30), BFG65 (100), BB405 (29), TL 082, 084, 074, 072 (35, 45, 45, 30), BFT66 (130), SO42 (85), BF961 (20), BF199 (20), celá řada CMOS. D. Cienciala, 739 38 Soběšovice 181.

Trafo na nabíječku (120), trafo 9 V / 0,8 A (68), skříňku na zdroj 120 × 130 × 160 (86), relé různé (15), LUN 6 V (25). J. Forejt, Nad úpadem 439, 149 00 Praha 4.

C520D (80), VQE24 (90), VQE14 (80), VQE22 (60), VQE12 (50), A. Bošek, Tyršova 611, 251 64 Mnichovice.

IO TTL, ECL, rozné aktívne i pasívne elektronické prvky a materiál až so 60 % zľavou. Zoznam za známkou (0,50 + 590). ELKO, Vojenská 2, 040 01 Košice.



Obr. 4. Odpor diody BA885 v. propustném směru